

Prins Maurits Laboratorium TNO

TNO-Defensieonderzoek

Lange Kerkweg 137
Postbus 45
2280 AA Rijswijk

Fax 015 - 84 39 91
Telefoon 015 - 84 28 42

TNO-rapport
PML 1992-114

March 1993
Exemplaar nr.: 15

Een 27-kanaals, 1 MHz optisch meetsysteem

AD-A266 943



S DTIC
ELECTE:
JUL 14 1993
A D

TDCK RAPPORTENCENTRALE
Frederikkazerne, gebouw 140
v/d Burchlaan 31 MPC 16A
TEL. : 070-3166394/6395
FAX. : (31) 070-3166202
Postbus 90701
2509 LS Den Haag 

Alle rechten voorbehouden.
Niets uit deze uitgave mag worden
vermenigvuldigd en of openbaar gemaakt
door middel van druk, fotokopie, microfilm
of op welke andere wijze dan ook, zonder
vooraafgaande toestemming van TNO.

Indien dit rapport in opdracht werd
uitgebracht, wordt voor de rechten en
verplichtingen van opdrachtgever en
opdrachtnemer verwezen naar de
Algemene Voorwaarden voor Onderzoeks-
opdrachten aan TNO, dan wel de
betreffende te zake lussen partijen
gesloten overeenkomst.

Het ter inzage geven van het TNO-rapport
aan direct belanghebbenden is toegestaan

TNO

Auteur(s):

M.A.M. Kaanders

OO-opdrachtnummer:

A87/K/045

Rubriceringen

Rubricering bepaald door:

Drs. Mw. P.J. Bartels

Original contains color
plates: All DTIC reproductions
will be in black and white.

Rubriceringsdatum:

25-02-1993

Rapport:

ONGERUBRICEERD

Titel:

ONGERUBRICEERD

Samenvatting:

ONGERUBRICEERD

Bijlage(n):

ONGERUBRICEERD

Oplage:

27

Aantal pagina's:

(incl. bijlagen, excl. distr. lijst en RDP)

108

Aantal bijlagen:

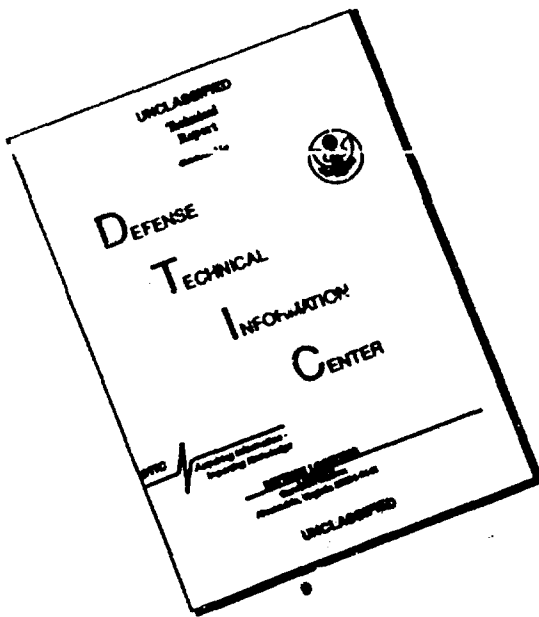
13

This document has been approved
for public release and sale; its
distribution is unlimited.

93-15887



DISCLAIMER NOTICE



**THIS DOCUMENT IS BEST
QUALITY AVAILABLE. THE COPY
FURNISHED TO DTIC CONTAINED
A SIGNIFICANT NUMBER OF
PAGES WHICH DO NOT
REPRODUCE LEGIBLY.**

Samenvatting

De Kapitza opstelling is een pulsvormend netwerk bestaande uit een energiebron, een halfgeleider verbreek-schakelaar, een pulstransformator en een belasting. Teneinde de Kapitza opstelling te karakteriseren, bestaat de behoefte aan een meetsysteem waarbij de meetsensoren elektrisch totaal gescheiden dienen te zijn van het Data Acquisitie Systeem (DAS). Een optisch gekoppeld meet-systeem bleek uiteindelijk de juiste keuze. Dit meetsysteem met een bandbreedte van 1 MHz werkt volgens het FM-principe; de meetsignalen worden in de zender FM-gemoduleerd waarna deze gedigitaliseerd over een glasvezelkabel kunnen worden verstuurd. De ontvanger demoduleert het FM-signaal, waarna het oorspronkelijke meetsignaal aan de uitgang beschikbaar komt. De werking van het optisch meetsysteem, de componenten die gebruikt zijn en het inregelen van de zenders/ontvangers zijn ondermeer de onderwerpen die uitvoerig aan de orde komen in dit rapport. In de bijlagen worden onder andere elektrische schema's, print layouts, componentenlijsten, grafieken en specificatiebladen gegeven.

Summary

The Kapitza facility is a pulse forming network consisting of an energy source, semiconductor opening switch, pulse transformer and a load. To characterize the Kapitza facility, there is a need for a measurement system where the sensors are completely separated electrically from the Data Acquisition System. A measurement system based upon fiber-optic data transmission was finally chosen. This fiber-optic system, with a bandwidth of 1 MHz, uses FM transmission techniques; the data input is used to frequency modulate the optical carrier that is coupled to the fiber, and subsequently demodulated at the receiver to recover the analog signal.

In this report the operation of the optical measurement system, the components that have been used and the calibration of the transmitter/receiver units are some of the subjects that are discussed.

In the appendix, schematics, print layouts, lists with the used components, wave forms of the input/output signals and specifications are given.

INHOUDSOPGAVE

	SAMENVATTING/SUMMARY	2
	INHOUDSOPGAVE	3
1	INLEIDING	5
2	SYSTEEMBESCHRIJVING	6
3	HET 4E ORDE BESEL LAAGDOORLAAT FILTER	12
4	INREGELPROCEDURE	15
5	BESCHRIJVING VAN DE MEETOPSTELLING	18
6	MEETRESULTATEN VAN HET OPTISCHE MEETSystEEM BIJ HET BEPALEN VAN DE DOORSLAG-SPANNING VAN EEN SPARKGAP	21
7	CONCLUSIE EN AANBEVELINGEN	25
8	ONDERTEKENING	26
9	REFERENTIES	26

FIGURE 5

Accession For	
NTIS GRA&I	
DTIC TAB	
Unpublished	
Justification	
By	
Distribution	
Availability Codes	
Dist	Aval. & Other Special
A-1	

BIJLAGE 1 MEETVERZWAKKERS

BIJLAGE 2 SCHEMATISCHE WEERGAVE VAN EEN OPTISCH MEETPUNT

BIJLAGE 3 DATA SHEET PMI OP 16EJ

BIJLAGE 4 SPECIFICATIESHEET DYMEC 5711/5712

BIJLAGE 5 DATA SHEET CALEX DC/DC CONVERTER 12T5.15UW

BIJLAGE 6 FRONT LAYOUT OPTICAL TRANSMITTER UNIT (SCHAAL 1:1)

BIJLAGE 7 BATTERY CHARGER (PRINT LAYOUTS)

BIJLAGE 8 OPTICAL TRANSMITTER UNIT (ELEKTRISCH SCHEMA, PRINT LAYOUT EN COMPONENTENLIJST)

BIJLAGE 9 OPTICAL RECEIVER UNIT (ELEKTRISCHE SCHEMA'S, PRINT LAYOUTS EN COMPONENTENLIJSTEN)

BIJLAGE 10 POWER SUPPLY RECEIVER UNITS (ELEKTRISCH SCHEMA, PRINT LAYOUT EN COMPONENTENLIJST)

BIJLAGE 11 MEETRESULTATEN VAN HET OPTISCHE MEETSysteem

BIJLAGE 12 AMPLITUDEKARAKTERISTIEK 4E ORDE BESEL FILTER

BIJLAGE 13 PSPICE SIMULATIE 4E ORDE BESEL FILTER

1 INLEIDING

Het meten aan opstellingen waarbij hoogspanning optreedt brengt de nodige gevaren met zich mee, zeker als de meersignalen hierna verwerkt dienen te worden door gevoelige data acquisitie apparatuur (DAS). Hoge piekspanningen ten gevolge van elektrische- en magnetische velden kunnen de apparatuur onherstelbaar beschadigen. Een galvanische scheiding met behulp van zogenaamde isolatieversterkers biedt geen uitkomst omdat de bandbreedte en de isolatiespanning te beperkt zijn. Verschilversterkers zijn bij hoge spanningen ook niet erg bruikbaar; zowel de common- als differential mode spanningen dienen tot een voor de versterker veilige waarde te worden teruggebracht. Kleine differential mode spanningen worden op deze manier nagenoeg onmeetbaar. Een manier om al deze problemen op te lossen is het toepassen van een optisch meetsysteem dat door middel van een 'zwevende' power supply wordt gevoed; de zwevende voeding is noodzakelijk om de common mode problemen op te lossen.

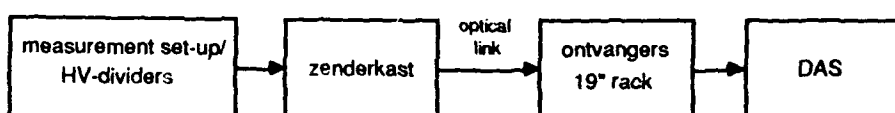
De spanningen die aan de zenderkant worden aangeboden mogen de +/- 1 V niet overschrijden. Hiertoe zijn meetverzwakkers ontworpen waarmee de (hoog-)spanning tot een veilige waarde kan worden teruggebracht.

Het totale meetsysteem bestaat momenteel uit 27-kanalen, dat in een later stadium nog verder uitgebreid kan worden.

2

SYSTEEMBESCHRIJVING

De weg die een meetsignaal moet afleggen naar een DAS-kanaal wordt weergegeven in figuur 1.



Figuur 1 Algemeen blokschema van een optisch meetpunt in de Kapitza opstelling

In bijlage 2 wordt een optisch meetpunt meer gedetailleerd weergegeven. Meetsignalen die de +/- 1 V overschrijden moeten eerst verzwakt worden alvorens deze kunnen worden aangesloten op de zenderingang. Voor de hele Kapitza opstelling zijn een viertal meetverzwakkers (zie bijlage 1) ontwikkeld:

- 1 passieve meetverzwakker -66 dB (verzwakking met een factor 2000);
- 2 passieve meetverzwakker -76 dB (verzwakking met een factor 5500);
- 3 passieve meetverzwakker -26 dB (verzwakking met een factor 20);
- 4 passieve meetverzwakker -80/-88 dB (verzwakking met een factor 10000/25000).

De meetverzwakkers zijn in kunststof kastjes ingebouwd en worden dicht bij de meetpunten opgesteld. De verzwakking kan eventueel nog worden bijgeregeld; via een opening in het kastje kan met behulp van een kleine schroevendraaier de potentiometer op het printje worden afgesteld (gebruik voor het afstellen de Keithley digitale multimeters). De meetverzwakkers onder 1 en 2 zijn geschikt voor meetspanningen tot en met 10 kV, die onder 3 tot 2 kV en de meetverzwakkers onder 4 tot zeker 15 kV (deze kastjes zijn met epoxyhars volgegoten).

De -66 dB en de -76 dB meetverzwakkers worden toegepast om de anode-kathode spanningen van de thyristoren (14 meetpunten) te kunnen meten, met behulp van de -26 dB meetverzwakkers worden de gatestromen van de hoofdthyristoren gemeten (12 meetpunten). De -80/-88 dB verzwakkers worden toegepast om respectievelijk de spanning over een hoogspanningscondensator en een pulstransformator te meten (max. spanning 15 kV). In bijlage 1 zijn de elektrische schema's en de printlayouts van bovengenoemde meetverzwakkers weergegeven.

Men dient er voor te zorgen, als het enigszins mogelijk is, dat de passieve meetverzwakkers zo dicht mogelijk worden geplaatst bij de meetopstelling. Men dient er tevens zorg voor te dragen dat de kastjes waarin de meetverzwakkers zijn gebouwd goed zijn afgeschermd tegen hoogfrequente elektrische stoorvelden. Door een goede, elektrisch geleidende afscherming aan de binnenzijde van het kastje aan te brengen (bijvoorbeeld een nikkel-coating) kan capacitieve koppeling met dit soort velden voorkomen worden. De getwiste, tweeaderige signaalkabel van de verzwakker naar de zender moet een aardscherm hebben.

Het twisten van de aders voorkomt inductieve koppeling met stoorsignalen. Het aardscherm van de kabel, dat aan de massa van de zender moet worden aangesloten, beperkt de invloed van capacitieve storingen.

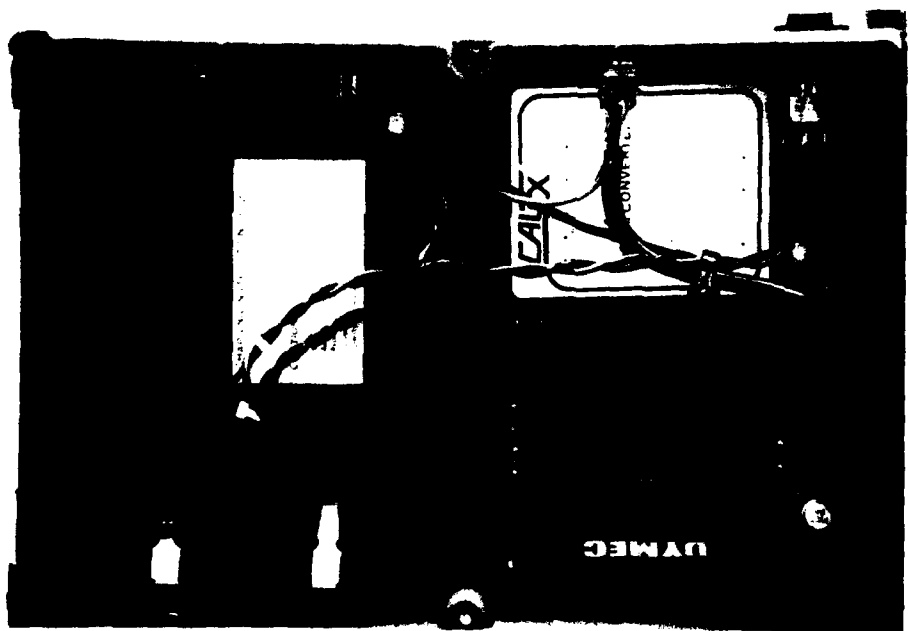
Het optisch meetsysteem bestaat hoofdzakelijk uit een tweetal componenten: de DYMECT zender unit 5711 en de DYMECT ontvanger unit 5712. De 'OPTICAL TRANSMITTER UNIT' (schema's en print layouts te vinden in bijlage 8) waar de zender 5711 deel van uitmaakt is een mobiele kast, waardoor deze bijzonder gemakkelijk bij de meetopstelling te plaatsen is (zie figuur 2).

De kunststof behuizing van de kast is aan de binnenzijde voorzien van een elektrisch geleidende nikkel laag; dit om stoorsignalen zoveel mogelijk buiten het zendgedeelte te houden. De geleidende laag is verbonden met de massa van het meetsignaal (en dus met het aardscherm van bovengenoemde signaalkabel).

Intern is de kast opgebouwd uit een print van Eurokaart formaat waarop een DC/DC converter (zie specificatiesheet in bijlage 5), de zender 5711 en de batterij conditie elektronica zijn gemonteerd. Tevens is een oplaadbare 12 V loodaccu met een capaciteit van 3 Ah in de kast gemonteerd (zie figuur 3).

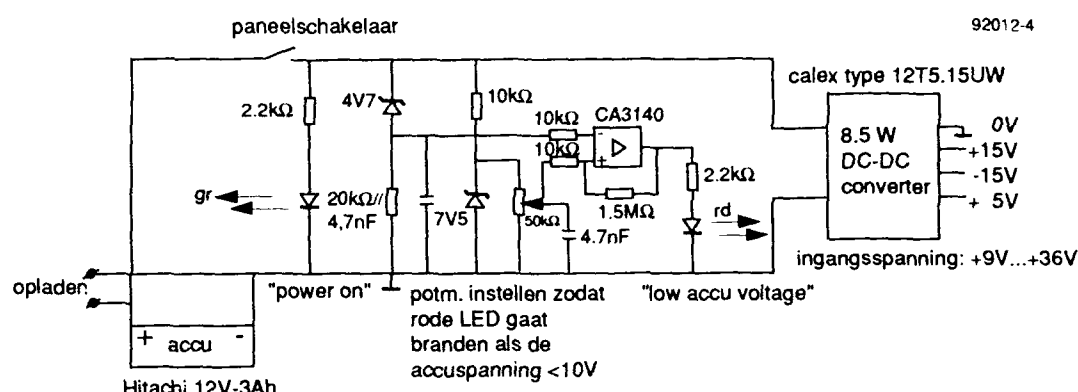


Figuur 2 De zenderkast, met aan de achterzijde de aansluiting voor de optische kabel



Figuur 3 De interne opbouw van de zenderkast

In figuur 4 is het elektrisch schema van de batterij conditie elektronica weergegeven.

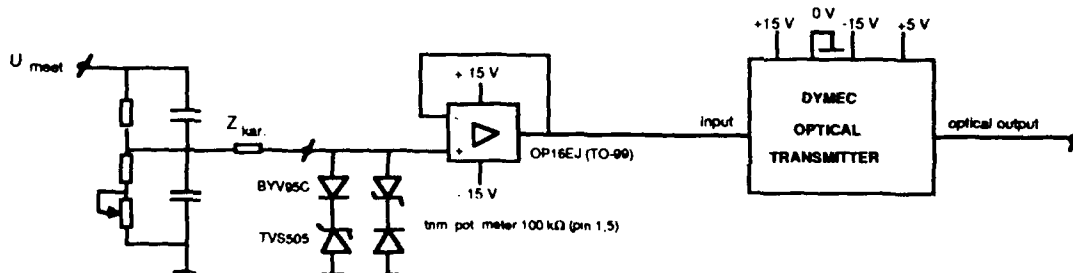


Figuur 4 De batterij conditie elektronica

Zoals in het schema staat aangegeven zal op het frontpaneel een rode LED gaan branden als de batterijspanning onder de 10 V komt. Hiermee wordt een optische melding gegeven dat de batterijen leeg zijn en deze moeten worden opladen.

Voor het opladen van de batterijen is een laadapparaat gebouwd dat tegelijkertijd 10 loodaccu's van 12 V, 3 Ah kan opladen (voor de print layouts van dit laadapparaat zie bijlage 7).

Via een BNC aansluiting op het frontpaneel van de 'OPTICAL TRANSMITTER UNIT' kunnen de loodaccu's worden opladen. Om de ingestelde deling van de meetverzwakkers niet te beïnvloeden wordt het ingangssignaal van de zender eerst gebufferd (de ingangsimpedantie van de zender 5711 heeft een nominale waarde van 7 kΩ), zoals te zien is in figuur 5 (in bijlage 3 is een specificatiesheet van de operationele versterker OP 16EJ opgenomen).



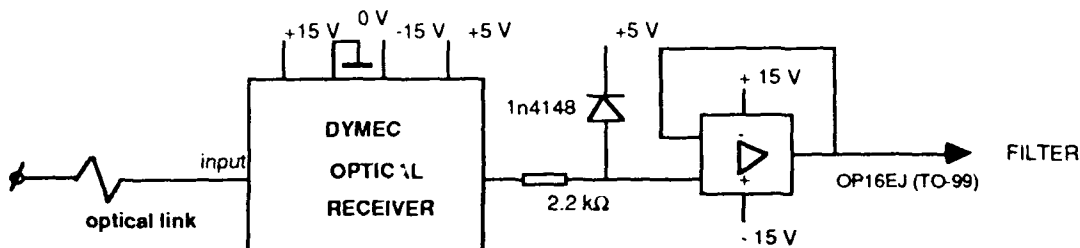
Figuur 5 De ingangstrap van de zender

Voor hoge frequenties is de signaalkabel tussen meetverzwakker en zender aan de meetzijde karakteristiek ($Z_{kar} = 62 \Omega$) afgesloten. Het ingangssignaal van de operationele versterker wordt begrensd met behulp van een zogenaamde TVS (Transient Voltage Suppressor) op ongeveer ± 6 V (de ingangscapaciteit van de zender komt hierdoor op 140 pF bij $f = 1$ kHz). Het plaatsen van transient voltage suppressors is noodzakelijk om te voorkomen dat het zendgedeelte overlijdt door overspanningen die veroorzaakt worden door een defect geraakte weerstand of condensator in de meetverzwakker.

Het uitgangssignaal van de operationele versterker is het ingangssignaal van de zender. Door de interne elektronica van de zender wordt het ingangssignaal frequentie gemoduleerd. Deze FM techniek is noodzakelijk om het signaal uiteindelijk gedigitaliseerd over een glasvezelkabel te kunnen versturen naar de ontvanger. Een ingangssignaal van +1 V wordt gemoduleerd naar 8 MHz, 0 V ingangssignaal komt overeen met 9 MHz en -1 V wordt naar 10 MHz gemoduleerd.

Nadat het optische signaal over een 40 m lange glasvezelkabel is verzonden (belangrijk is dat de lengte van de kabels voor alle kanalen gelijk is omdat er anders meetfouten worden geïntroduceerd ten gevolge van looptijdverschillen in de glasvezelkabels) wordt deze gedemoduleerd in de ontvanger 5712.

De spanning van de analoge uitgang van de ontvanger wordt begrensd op 5 V, dit om de DAS kanalen te beschermen tegen overspanning (de minimale 'damage level' van een DAS kanaal is 5 V). Als de regelelektronica van de ontvanger zich instelt na het inschakelen van de voedingsspanningen is de uitgangsspanning ~ 11 V. Deze spanning verschijnt ook op de uitgang als de glasvezelkabel wordt losgekoppeld van de ontvanger. Als de DAS kanalen in het gevoeligste bereik staan ingesteld kunnen deze spanningen de ingangstrappen van het DAS beschadigen. De protec-tie-schakeling, figuur 6, voorkomt een te hoge spanning op de ingangen van het DAS. Belangrijk is de juiste keuze van de diode; er dient een diode gekozen te worden met een zo klein mogelijke capaciteit. De diode 1n4148 met een capaciteit van ~ 4 pF verplaatst het kantelpunt naar de veilige waarde van 18 MHz.



$$\text{kantelpunt overspan. bev. : } f_{-3\text{dB}} = \frac{1}{2\pi RC_{\text{diode}}} = \frac{1}{2\pi \times 2200 \times 4 \times 10^{-12}} = 18 \text{ MHz}$$

Figuur 6 De uitgangstrap van de ontvanger

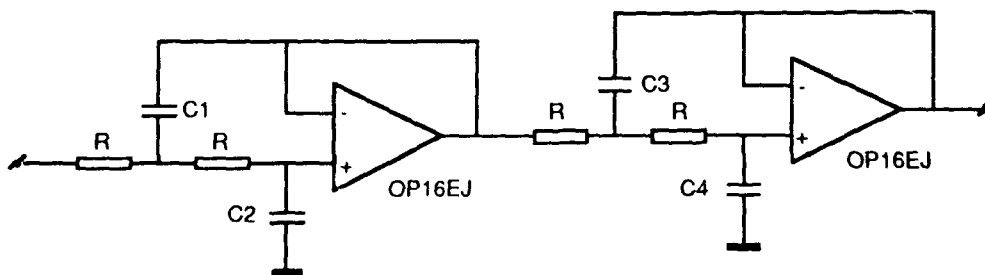
De ontvangers zijn elk op een printkaart van het Eurokaart formaat gemonteerd (zie bijlage 9 en 10 voor schema's en print layouts). Acht van deze kaarten zijn samen met een lineaire voeding met een vermogen van 35 W (+/-15 V, 1 A; +5 V, 1 A) in een 19" rack geplaatst. Een totaal van vier kasten is nodig om alle ontvangers te herbergen; er is hierbij tevens rekening gehouden met een uitbreiding van 5 kanalen (totaal 32 kanalen). Alle analoge uitgangen moeten met behulp van een korte BNC kabel (< 2 m) op een DAS ingang worden aangesloten.

3

HET 4E ORDE BESSEL LAAGDOORLAAT FILTER

De hoge schakelfrequentie waarmee het analoge ingangssignaal wordt gemoduleerd/gedemoduleerd (8 - 10 MHz), alsmede stoorsignalen die afkomstig zijn van de DC/DC converter en de grote gevoeligheid van de ingang van de zender veroorzaakt op het uitgangssignaal van het optisch meetstelsel nogal wat hoogfrequente ruis. Als we een signaal met een kleine waarde niet ten onder willen laten gaan in ruis, dan zal er gefilterd moeten worden. Voorwaarde bij het ontwerp van een geschikt (laagdoorlaat-) filter is dat de bandbreedte van het meetstelsel (1 MHz) niet beïnvloed mag worden. De kantelfrequentie van het filter moet daarom ver genoeg voorbij het - 3 dB punt van het meetstelsel liggen. Als kantelpunt van het laagdoorlaat filter is uiteindelijk een frequentie van 3,6 MHz gekozen; deze waarde blijkt optimaal te zijn als we rekening houden met een tweetal tegenstrijdige parameters, te weten: het faseverschil tussen het analoge ingangs- en uitgangssignaal en een effectieve ruisverzwakking binnen de bandbreedte van het optisch meetstelsel.

Gekozen is voor een laagdoorlaat filter van het type Bessel met een steilheid van -24 dB/octaaf (-80 dB/dekade). Een 4e orde Bessel filter blijkt een ideaal filter voor pulsvormige signalen te zijn; de overshoot bedraagt slechts 0,8% tegen 12% voor een 4e orde Butterworth filter. Een ander groot voordeel van het Bessel filter is dat deze binnen het doorlaatgebied een constante looptijd heeft; dit in tegenstelling tot het Butterworth filter waarbij de looptijd met de frequentie toeneemt. Dit veroorzaakt een niet-lineaire toename van het faseverschil tussen het ingangs- en het uitgangssignaal van het Butterworth filter. Een nadeel van het Bessel filter is dat de amplitude-karakteristiek minder vlak is dan bij het Butterworth filter. In figuur 7 is het 4e orde Bessel filter weergegeven zoals deze is opgebouwd op de ontvangerprinten van het optisch meetstelsel.



Figuur 7 4e orde aktief laagdoorlaat filter met een steilheid van -24 dB/okt.

Voor het berekenen van een 4e orde Bessel filter kan gebruik worden gemaakt van de volgende formules:

$$C_1 = \frac{0,1162}{fR} \quad (1)$$

$$C_2 = \frac{0,1066}{fR} \quad (2)$$

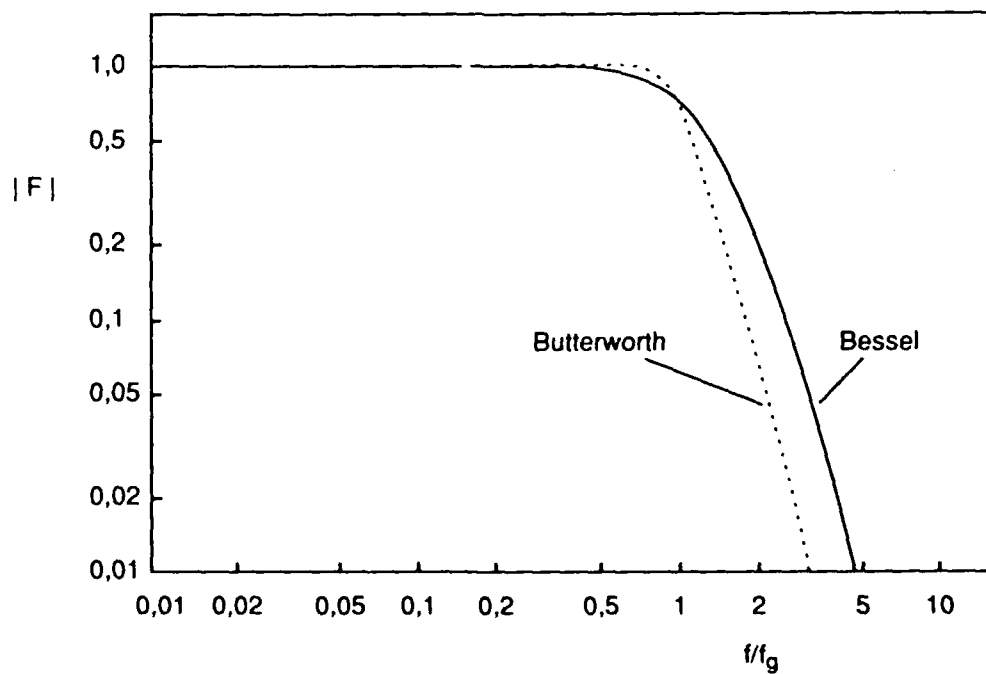
$$C_3 = \frac{0,1599}{fR} \quad (3)$$

$$C_4 = \frac{0,06162}{fR} \quad (4)$$

Met een kantelfrequentie $f_{3dB} = 3,6$ MHz en $R = 1200 \Omega$ wordt:

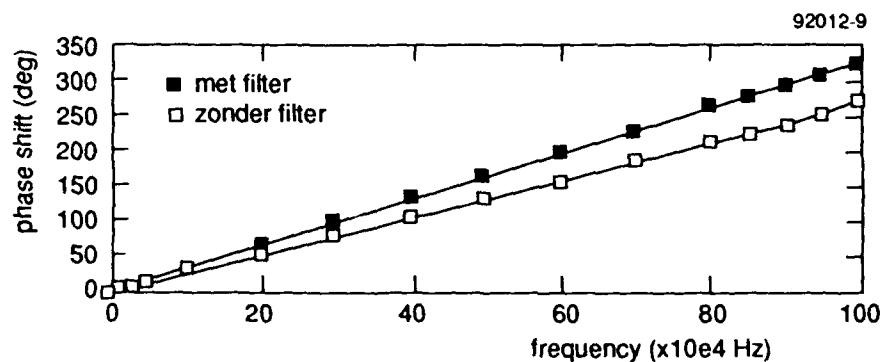
$C_1 = 26,8$ pF (27 pF); $C_2 = 24,7$ pF (27 pF); $C_3 = 37$ pF (47 pF) en $C_4 = 14,3$ pF (18 pF).

In figuur 8 is de amplitudekarakteristiek van een 4e orde Bessel filter en een 4e orde Butterworth filter weergegeven.



Figuur 8 Amplitudekarakteristiek van het 4e orde Butterworth/Bessel filter

Het 4e orde Bessel filter veroorzaakt een extra faseverschuiving tussen het ingangs- en uitgangssignaal van het optisch meetstelsel. De faseverschuiving neemt lineair met de frequentie toe (constante looptijd Bessel filter). De faseverschuiving tussen ingangs- en uitgangssignaal is gemeten in een testopstelling, waarbij de zender en ontvanger via een 20 m lange optische kabel met elkaar verbonden waren. In figuur 9 zijn de meetresultaten weergegeven: de bovenste curve is een weergave van de faseverschuiving met uitgangsfilter, de onderste curve geeft de faseverschuiving weer zonder uitgangsfilter.



Figuur 9 Faseverschuiving tussen het ingangs- en uitgangssignaal

4

INREGELPROCEDURE

Alvorens met het inregelen van het optisch meetsysteem kan worden begonnen dienen alle zenderkasten, glasvezelkabels en ontvanger-units genummerd te worden. Een kanaal (zender, glasvezelkabel en ontvanger) met identieke nummering hoeft maar één keer afgeregeld te worden (offset en gain). Worden kanalen onderling verwisseld dan zullen deze opnieuw ingeregeld moeten worden.

Inregelprocedure:**A OFFSET OP16EJ OPAMPS WEGREGELEN (voor specificaties: zie bijlage 4)****ZENDERKAST**

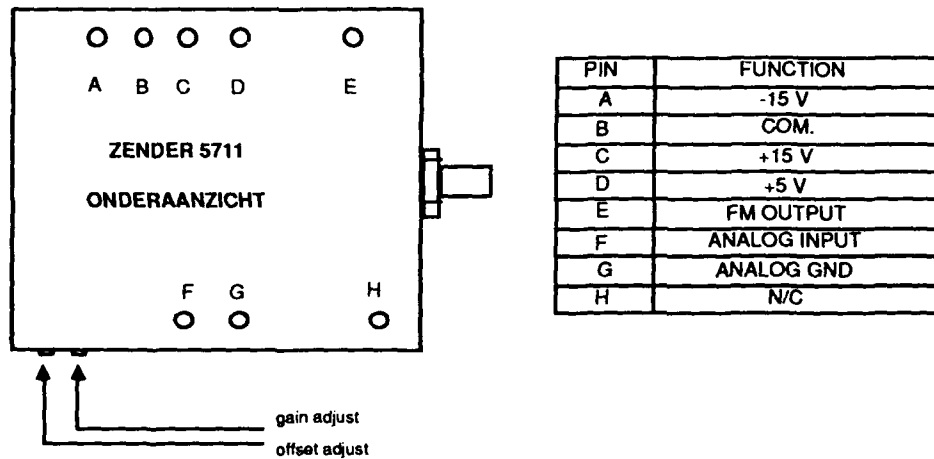
- Biedt aan de ingang van het zenderkastje een spanning van 0 V aan (nauwkeurig af te regelen met behulp van een Keithley digitale multimeter, model 175);
- Meet met een tweede Keithley multimeter de uitgangsspanning van de opamp; regel zonodig de uitgangsspanning af op de ingangsspanning (100 k Ω Bourns potentiometer).

ONTVANGERPRINT

- Biedt direct op de niet-inverterende ingang van de opamp 0 V aan (controle met behulp van de Keithley multimeter);
- Meet met een tweede Keithley multimeter de uitgangsspanning van de laatste opamp van het Butterworth filter; regel zonodig de uitgangsspanning af op de ingangsspanning (100 k Ω Bourns potentiometer).

B CALIBRATIE VAN DE DYMECT ZENDER 5711

Voor het inregelen van de DYMECT zender 5711 dient gebruik te worden gemaakt van het schema in figuur 10.



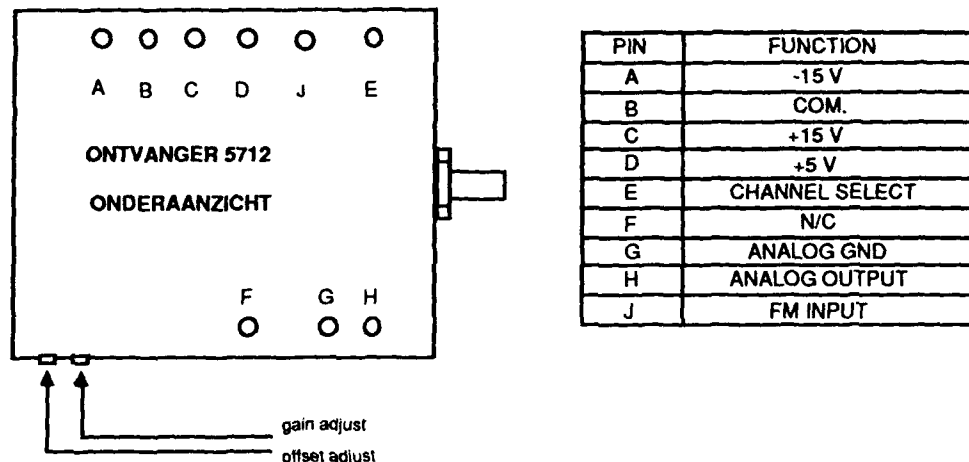
Figuur 10 Het aansluitschema van de zendermodule 5711

- Sluit een frequentieteller, die in staat is 10 MHz te meten, aan op pen E (FM Out) en pen B (Common);
- Sluit de uitgang van een nauwkeurige spanningsbron aan op pen G (Analogue Input) en pen F (Analogue GND);
- Stel de offset-potentiometer van de zender, na de spanningsbron afgeregeld te hebben op 0 V, zodanig bij dat de frequentie-teller 9,00000 MHz aangeeft;
- Regel nu de spanningsbron af op +1 V (aflezen met behulp van een Keithley multimeter); stel nu de gain-potentiometer zodanig bij totdat de frequentieteller dezelfde afwijking in frequentie (~1 MHz) aangeeft ten opzichte van 0 V (9 MHz) als wanneer -1 V op de ingang zou worden gezet (-1 V komt overeen met een frequentie van 10 MHz).

Het afregelen van de gain kan de offset instelling beïnvloeden; het kan voorkomen dat de offset opnieuw weggeregeld moet worden. Als al deze handelingen zijn verricht is de zender gecalibreerd.

C CALIBRATIE VAN DE DYMECT ONTVANGER 5712

De DYMECT ontvanger 5712 kan met behulp van het schema in figuur 11 ingeregeld worden.



Figuur 11 Het aansluitschema van de ontvangermodule 5712

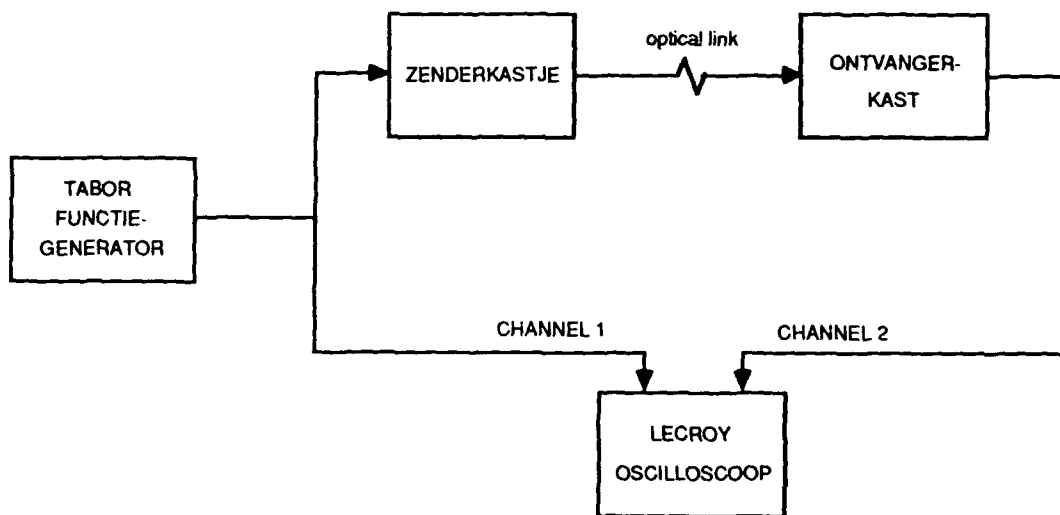
- Sluit de gecalibreerde zender met een glasvezelkabel aan op de ontvanger;
- Sluit de ingang van een Keithley multimeter aan op de uitgang van de ontvanger, pen H (Analogue Output) en pen G (Analogue GND).
- Stel met behulp van een spanningsbron een spanning van -1 V in op de ingang van de gecalibreerde zender; lees nu de spanning af op de uitgang van de ontvanger met behulp van de Keithley multimeter. Herhaal deze handeling voor een spanning van +1 V. Regel nu de offset-potentiometer zodanig bij dat de afwijking in spanning (dat wil zeggen de verhouding $\frac{U_{uitgang}}{U_{ingang}}$) gelijk is voor beide bovennoemde spanningen.
- Regel met behulp van de gain-potentiometer de uitgangsspanning van de ontvanger naar +1 V en -1 V wanneer dezelfde spanningen op de ingang van de zender worden aangesloten.

Hiermee is de inregelprocedure beëindigd en is de zender/ontvanger combinatie gecalibreerd.

5

BESCHRIJVING VAN DE MEETOPSTELLING

De meetresultaten zoals deze zijn weergegeven in de bijlage 11 zijn verkregen met behulp van de opstelling in figuur 12.



Figuur 12 Het blokschema van de experimentele meetopstelling

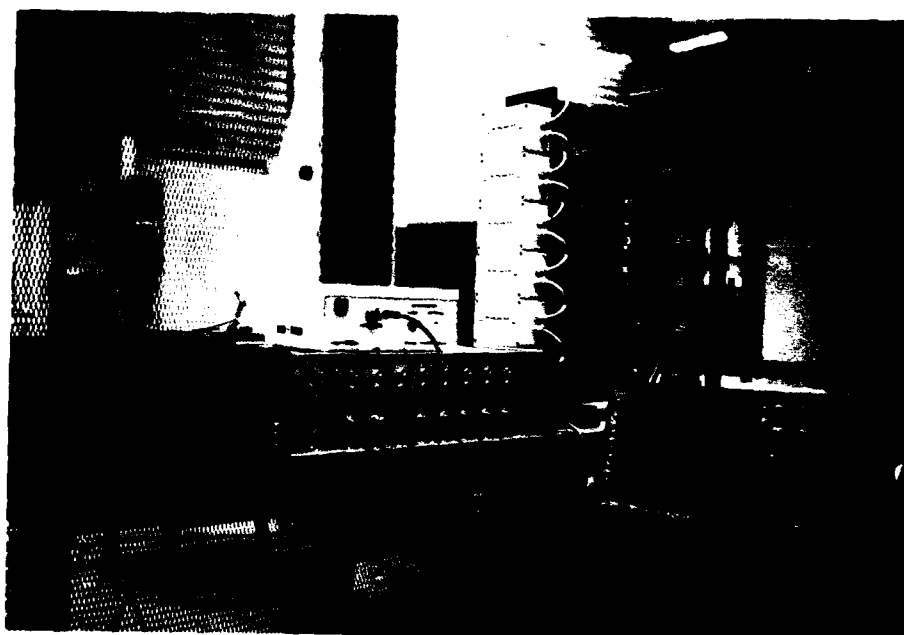
Over de gehele bandbreedte van het optisch meetsysteem zijn twee verschillende soorten metingen uitgevoerd: metingen met als ingangssignaal een pulstrein en metingen met als ingangssignaal een periodiek signaal (sinus of blokgolf).

Bij de metingen is de volgende (meet)apparatuur gebruikt:

- Tabor 20 MHz programmable function generator, serie 8200;
- Lecroy 9424, quad 350 MHz oscilloscope.

De 'optical link' tussen zender en ontvanger bestond uit een 20 m lange ABB glasvezelkabel 100/140 met SMA connectoren, type Amphenol 905-135-5000. De analoge uitgangssignalen worden gefilterd met behulp van het 4e orde laagdoorlaatfilter alvorens deze aan de oscilloscoop worden aangeboden.

Uit de meetresultaten, weergegeven in bijlage 11, blijkt dat van signalen met kleine amplitudes het hoogfrequente ruisniveau ($f > 6$ MHz) effectief wordt gefilterd (demping ruisniveau met -17 dB).



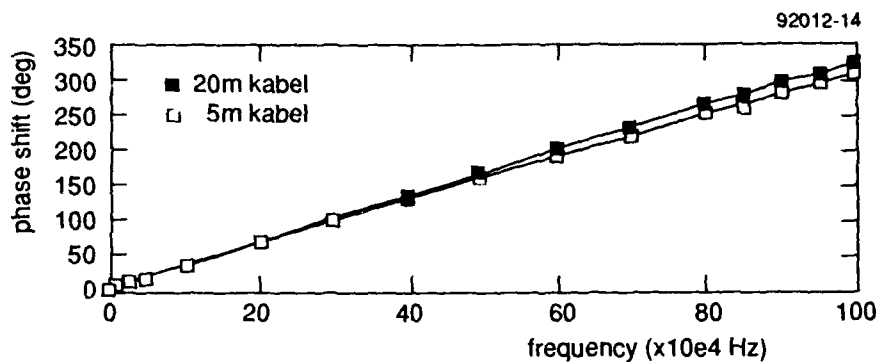
Figuur 13 Het optisch meetstelsel in de meetopstelling

In figuur 13 is de meetopstelling afgebeeld, opgesteld binnen een kooi van Faraday om zo min mogelijk last te hebben van stoorsignalen van buitenaf. De zilverkleurige 19" kast (onder het zenderkastje) bevat acht ontvangerkaarten (met op elke kaart een 4e orde Bessel laagdoorlaat filter) en een voedingskaart. De BNC-connectoren aan de voorzijde van de kast kunnen rechtstreeks met de DAS-ingangskanalen worden doorverbonden. De afgebeelde kast is één van de vier kasten die uiteindelijk in de DAS-ruimte van PML-Pulsphysica zullen worden ingebouwd.

Met dezelfde meetopstelling zijn tevens twee metingen uitgevoerd met fiberkabels van verschillende lengten. Doel van deze metingen is om experimenteel de responsietijd van een fiberkabel vast te stellen.

In de meetopstelling werd achtereenvolgens een fiberkabel met een lengte van 5 m en een fiberkabel met een lengte van 20 m gebruikt. Met behulp van de Tabor functiegenerator werden sinusvormige signalen tot 1 MHz optisch verstuurd.

Van de twee fiberkabels zijn in figuur 14 de curves weergegeven die elk het faseverschil tussen het ingangs- en uitgangssignaal voorstellen. De bovenste curve geeft het faseverschil weer van de 20 m lange fiberkabel.



Figuur 14 Faseverschuiving tussen het ingangs- en uitgangssignaal bij gebruik van fiberkabels met verschillende lengten

Voor het bepalen van de responsietijd van de (glas)fiberkabels kan de volgende formule gebruikt worden:

$$\frac{n_{lucht}}{n_{glas}} = \frac{c_{glas}}{c_{lucht}} \quad (5)$$

met $n_{lucht} = 1$; $n_{glas} = 1.5$ en $c_{lucht} = 3e8$ m/s

$c_{glas} = 2e8$ m/s

De responsietijd van één meter glasvezelkabel wordt dan: $\frac{1}{2e8} = 5$ ns.

Deze waarde kan ook experimenteel worden bepaald:

$$\text{responsietijd/m} = \frac{\frac{1}{f} \times \frac{\Delta \text{phase shift}}{360 \text{ deg}}}{\Delta l_{\text{fiberkabel}}} \quad (6)$$

Bepalen we de responsietijd/m bij $f = 800$ kHz dan krijgen we:

$$t_r = \frac{1.25e-6 \times \frac{(265 - 247)}{360}}{(20 - 5)} = 4,2 \text{ ns}$$

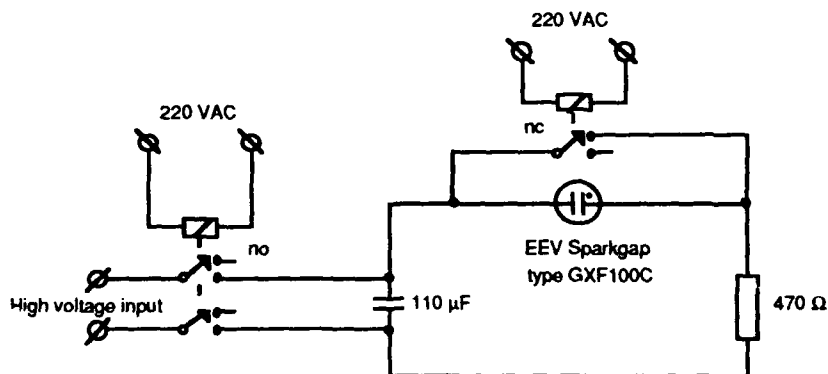
Een veertig meter lange glasfiberkabel zal hierdoor bij een signaalfrequentie van 1 MHz een extra faseverschuiving tussen ingangs- en uitgangssignaal veroorzaken van:

$$\text{phase shift} = \frac{40 \times 4}{2e-9; 1e-6} \times 360 \text{ deg} = 60,5 \text{ deg.}$$

6

MEETRESULTATEN VAN HET OPTISCHE MEETSystEEM BIJ HET BEPALEN VAN DE DOORSLAG-SPANNING VAN EEN SPARKGAP

Om experimenteel vast te stellen of de verhouding tussen de uitgangssignalen van twee verschillende meetsystemen een lineair verloop heeft, zijn een tweetal metingen uitgevoerd met de meetopstelling die is weergegeven in figuur 15. Eén meetstelsel bestaat uit enkel een hoogspannings-verzwakker (HV-verzwakker) met een verzwakkingsfactor van 10.000. Het andere meetstelsel bestaat uit een serieschakeling van een HV-verzwakker en het optisch meetstelsel.

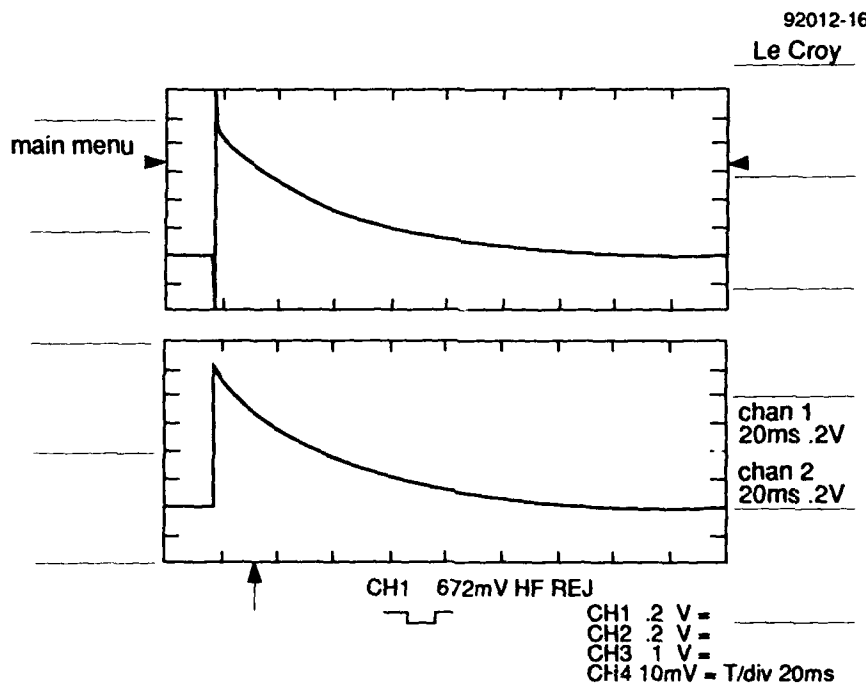


Figuur 15 Meetopstelling voor het bepalen van de 'breakdown voltage' van een sparkgap

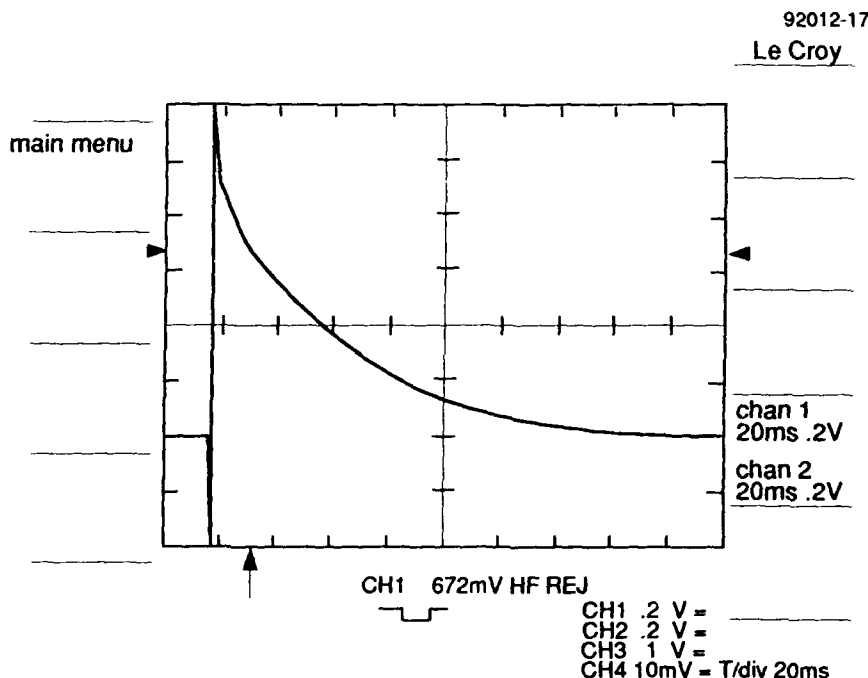
In het eerste experiment werd met behulp van het hoogspanningsrelais, dat parallel met de sparkgap is geschakeld, de hoogspanningscondensator ($110 \mu\text{F}$) ontladen. Met twee identieke HV-spanningsdelen met een verzwakkingsfactor van 10.000 kon de spanning over de 470Ω weerstand worden gemeten. De uitgang van de ene HV-verzwakker werd rechtstreeks aangesloten op kanaal 1 van een 350 MHz Lecroy oscilloscoop. De uitgang van de andere HV-verzwakker werd

aangesloten op de ingang van het optisch meetsysteem. Kanaal 2 van de Lecroy oscilloscoop was met een BNC kabel gekoppeld aan de uitgang van het optisch meetsysteem. De verbinding tussen zender en ontvanger van het optisch meetsysteem bestond uit een glasvezelkabel met een lengte van 20 m.

In figuur 16 en 17 zijn de meetresultaten van eerder genoemd experiment weergegeven. In de grafieken komt 0,2 V/div. overeen met een spanning van 2000 V/div. in de werkelijke situatie. Zoals al eerder gemeld is kanaal 1 een weergave van de uitgangsspanning van alleen de HV-verzwakker; kanaal 2 is een weergave van de uitgangsspanning van het optisch meetsysteem (HV-verzwakker en optisch meetsysteem zijn dan in een serie-schakeling met elkaar doorverbonden).



Figuur 16 De gemeten spanning over de 470Ω weerstand



Figuur 17 De spanningen van beide meetsystemen overlappen elkaar volledig

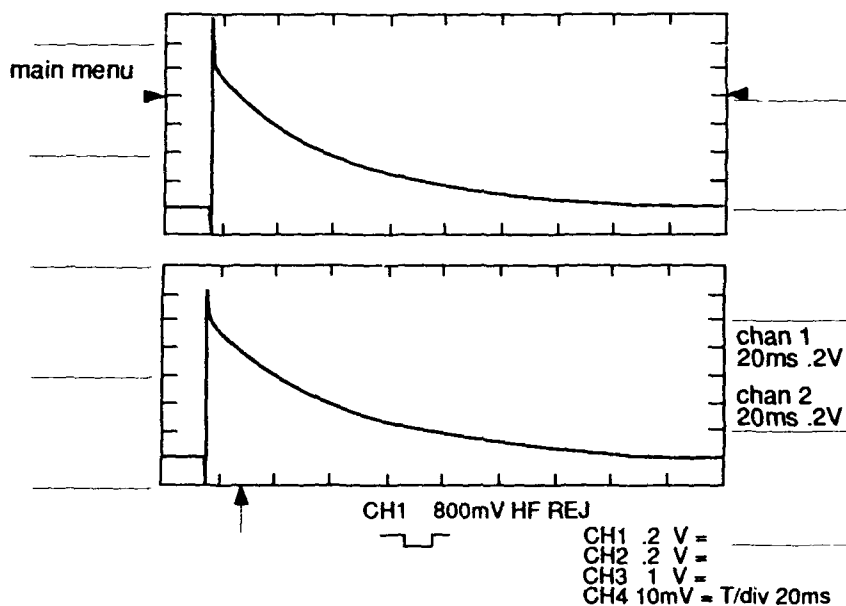
Het tweede experiment is uitgevoerd met de meetopstelling van figuur 15. In dit experiment is de 'breakdown-voltage' van de sparkgap bepaald. Een sparkgap is een hoogspanningscomponent waarin twee bollen op een zekere afstand van elkaar zijn geplaatst. Overschrijdt de spanning tussen beide bollen een door de fabrikant ingestelde waarde (breakdown-voltage), dan ontstaat er een geleidend pad tussen beide bollen. Dit geleidende pad blijft bestaan totdat de stroom een bepaalde waarde onderschrijdt. Sparkgap's worden in de hoogspanningstechniek toegepast in bijvoorbeeld overspanningsbeveiligingen.

Tijdens het experiment wordt de hoogspanning over de condensator automatisch opgeregeld tot de 'breakdown voltage' van de sparkgap. De EEV sparkgap, type GXF100C, heeft een gespecificeerd breakdown-voltage bereik van 10 kV - 10,5 kV. Uit de meetresultaten (zie figuur 18 en 19) blijkt echter dat de sparkgap pas 'doorslaat' bij een spanning van ca. 10,8 kV. De oorzaak hiervan is nog niet bekend.

Uit de meetresultaten blijkt dat de verhouding tussen de meetsignalen van beide meetsystemen een lineair verloop heeft.

92012-18

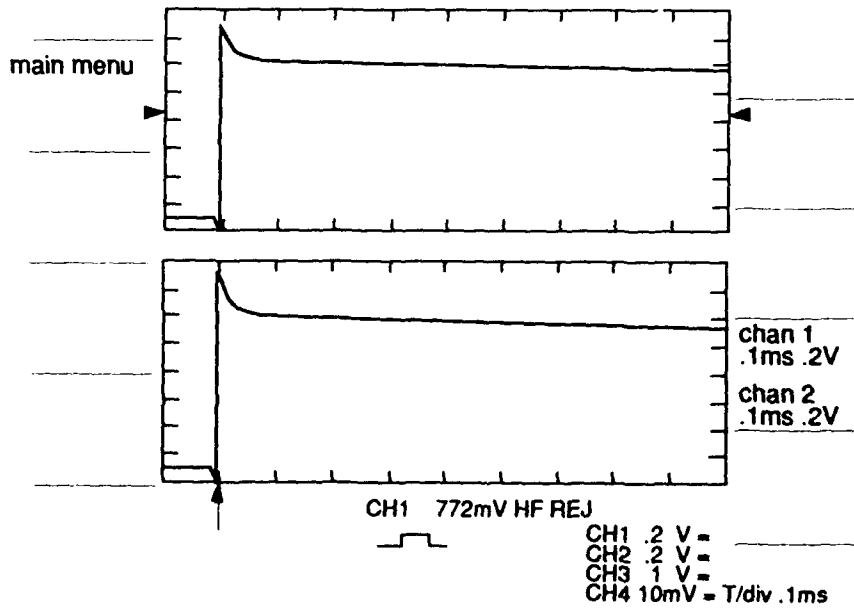
Le Croy



Figuur 18 De gemeten spanningen over de 470Ω weerstand tijdens een 'sparkgap break down' test

92012-19

Le Croy



Figuur 19 De gemeten spanningen over de 470Ω weerstand tijdens een 'sparkgap break down test'; de overshoot is duidelijk te wijten aan de HV-verzwakkers

7

CONCLUSIE EN AANBEVELINGEN

Aan het ontwerp van het 27-kanaals optisch meetsysteem, dat ingezet wordt in een omgeving waarin hoge stromen en spanningen optreden, zijn hoge eisen gesteld. Bij het ontwerp en de constructie van de zenderkast van het optisch meetsysteem is rekening gehouden met een groot aantal voorwaarden waarvan betrouwbaarheid, mobiliteit en bedieningsgemak van de zenderkast de belangrijkste zijn.

Voor de zender-elektronica is een compacte en betrouwbare printkaart ontworpen en geconstrueerd. Om de invloed van uitwendige stoorsignalen zo veel mogelijk tegen te gaan, is de binnenzijde van de zenderkast van een geleidende afscherming voorzien.

De zenderkastjes kenmerken zich door een grote mate van mobiliteit en gebruikersvriendelijkheid; ze zijn klein van formaat (24 x 16 x 9,5 cm), de optische verbinding tussen zenderkast en ontvangerkast kan snel worden aangesloten en de zenderkastjes kunnen goed worden gestapeld.

De uitgangssignalen van de ontvangers worden, alvorens op het DAS te worden aangesloten, gefilterd met een 4e orde Bessel laagdoorlaatfilter. Het hoogfrequente ruisniveau neemt hierdoor met -17 dB af.

Na een serie experimenten met de Kapitza opstelling, waarbij zowel een hoge spanning (6 kV) als stroom (135 kA) is gegenereerd, is gebleken dat het bij PML-Pulsphysica ontwikkelde 27-kanaals optisch meetsysteem voldoet aan de gestelde verwachtingen: nauwkeurige en betrouwbare overdracht van de meetsignalen binnen de bandbreedte van het meetsysteem, geen problemen met common mode spanningen doordat elke zender voorzien is van een zwevende voeding (12 V batterij) en een volledige elektrische isolatie tussen meetsensor en DAS.

De uitgangen van de 19" ontvangerkasten worden met coax-kabels aan de DAS kanalen gekoppeld. Het is aan te bevelen om coax-kabels te gebruiken die niet langer zijn dan 2 m. Lange coax-kabels moeten vanwege reflecties met een ohmse weerstand van 50Ω afgesloten worden (50Ω = karakteristieke impedantie van de kabel). Deze belasting kan echter niet worden aangestuurd door het laagdoorlaat-filter op de ontvangerprinten (maximale uitgangsstroom is ~ 5 mA).

8

ONDERTEKENING

Ing. M.A.M. Kaanders
(auteur, projectleider)

9

REFERENTIES

1 Tuinman, E.

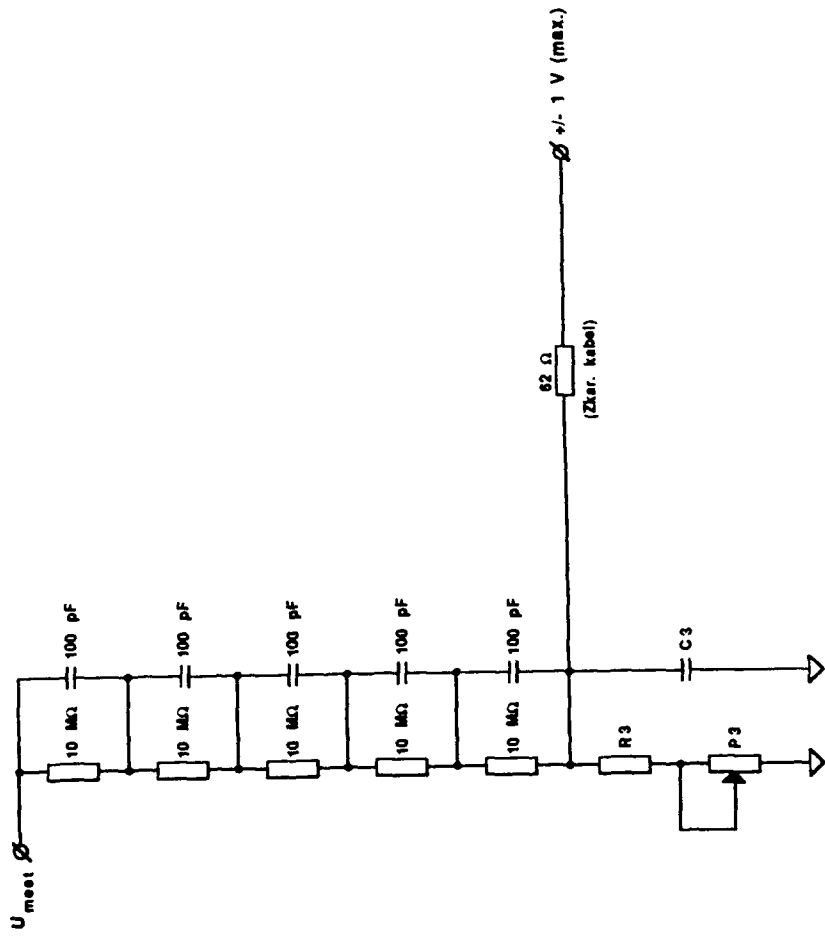
"Characterization and Optimization of the Kapitza facility at PML-Pulse Physics", Proc^s. 7th IEEE Pulsed Power Conference 1989, Monterey, Ca, p134-139

2 Walner, F.

"Tiefpaßfilter für Meßsignale", Messen + rüfen/automatik (oktober 1978) p 667-669

BIJLAGE 1 MEETVERZWAKKERS

PASSIEVE VERZWAKKER ANODE-KATHODE SPANNINGEN VAN DE THYRISTOREN

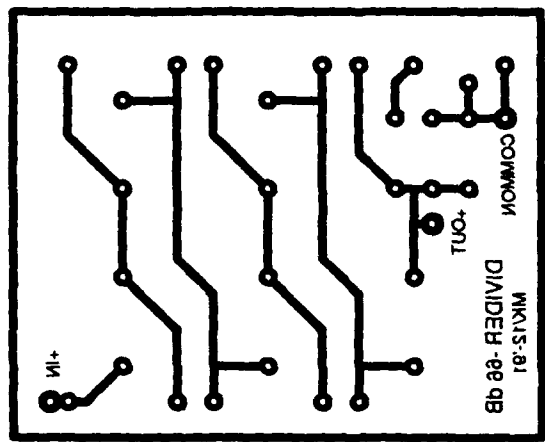


verzwakking -76 dB; potentiometer P3 (1 kΩ) instellen op 0.9 kΩ ($R_3 = 8.2 \text{ kΩ}$); $C_3 = 110 \text{ nF}$ (doof-thyristoren; U_{ak} max. = 5500 V)

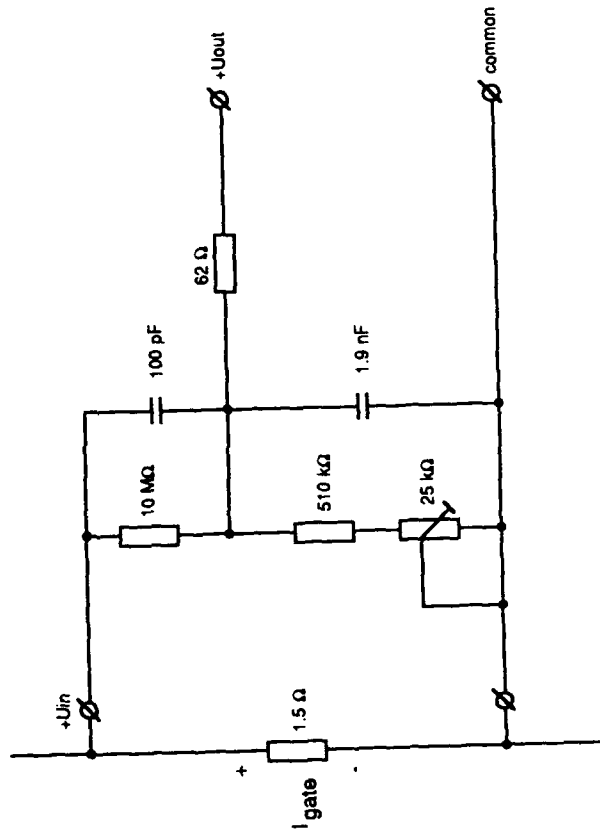
verzwakking -66 dB; potentiometer P3 (5 kΩ) instellen op 3 kΩ ($R_3 = 22 \text{ kΩ}$); $C_3 = 40 \text{ nF}$ (haald-thyristoren; U_{ak} max. = 2000 V)

$10 \text{ M}\Omega$ = Metallux, type 967.R (Nijkerk electronics)

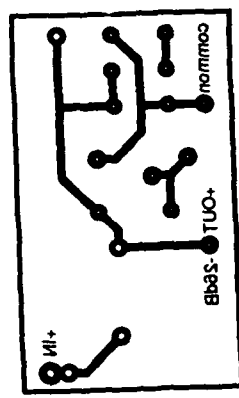
100 pF = Murata, type DHR9-B-101M-15kV (Nijkerk electronics)



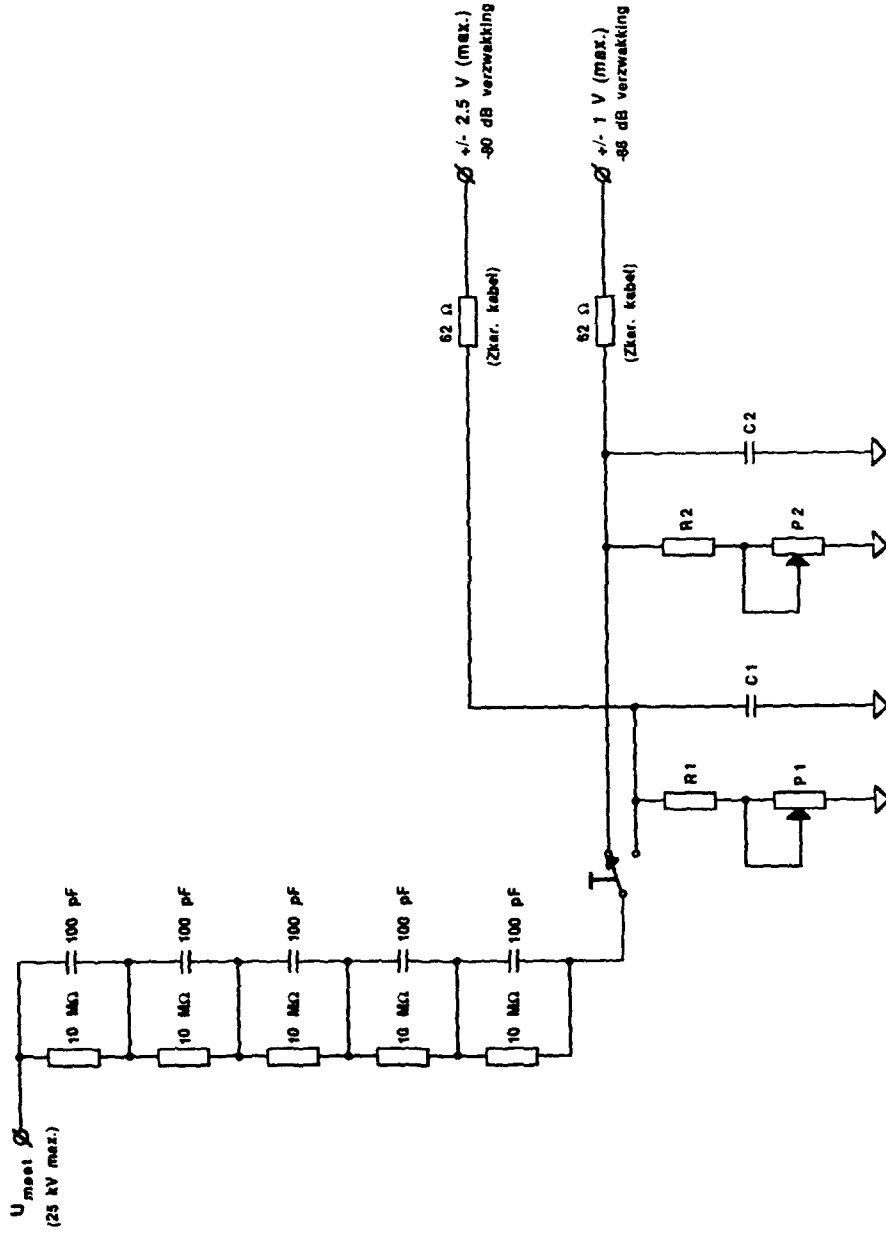
PASSIEVE VERZWAKKER GATESTROOM HFD-THYR. (-26 dB = factor 1/20; 1A :: 0.5 V)



10 MΩ = Metallux, type 967.R (leverancier: Nijkerk elektronica)
100 pF = Murata, type DH99-B-101M-15KV



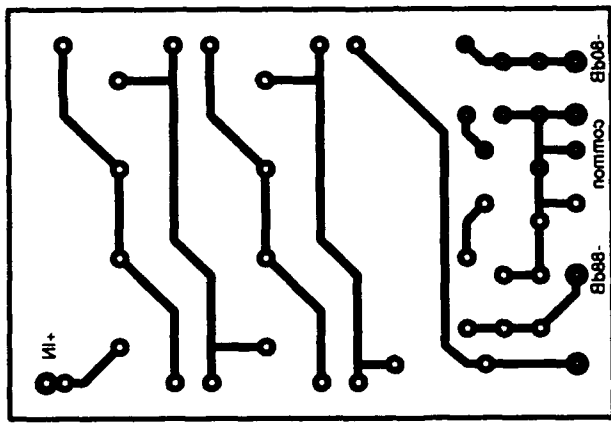
PASSIEVE VERZWAKKER SPANNING DOOFCONDENSATOR



verzwakking -80 dB: potentiometer P_1 (500 Ω) instellen op 300 Ω ($R_1 = 4.7 \text{ kΩ}$); $C_1 = 200 \text{ nF}$
 verzwakking -88 dB: potentiometer P_2 (500 Ω) instellen op 200 Ω ($R_2 = 1.8 \text{ kΩ}$); $C_2 = 500 \text{ nF}$

10 MΩ = Melitlux type 967.R

100 pF = Murata DHR9-B-101M-15KV



TNO-rapport

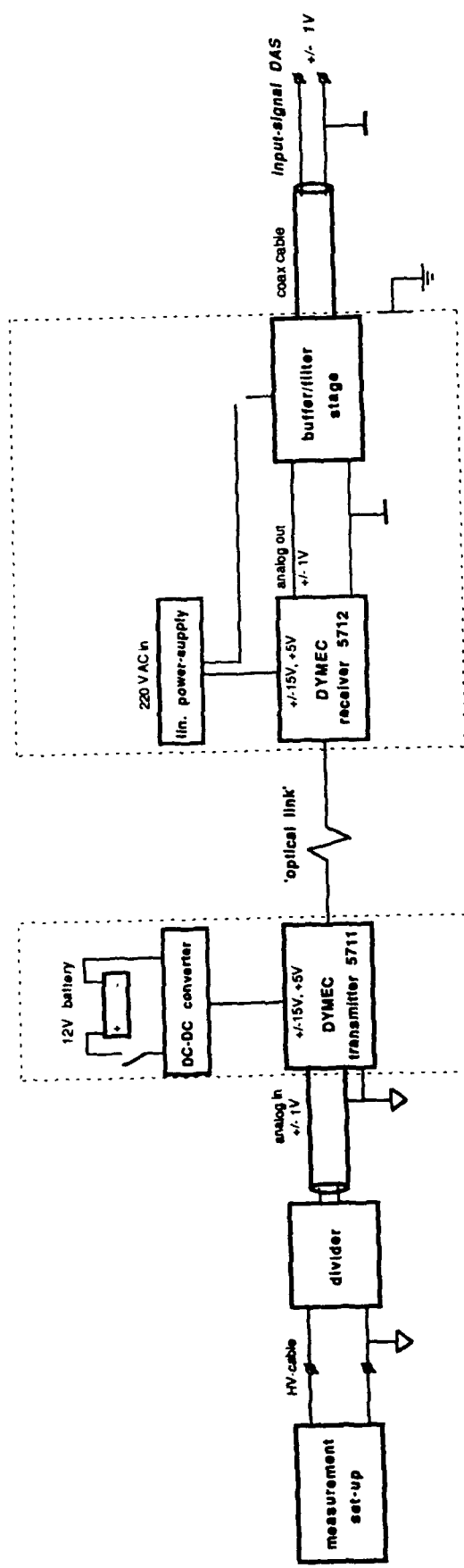
PML 233492012

BIJLAGE 2

Pagina

1

BIJLAGE 2 SCHEMATISCHE WEERGAVE VAN EEN OPTISCH MEETPUNT



TNO-rapport

PML 233492012

BIJLAGE 3

pagina

1

BIJLAGE 3 DATA SHEET PMI OP 16EJ

PMI

OP-15/OP-16/OP-17

**PRECISION JFET-INPUT
OPERATIONAL AMPLIFIERS**

Precision Monolithics Inc.

FEATURES (All Devices)

- Significant Performance Advantages over LF155, 156 and 157 Devices.
- Low Input Offset Voltage 500 μ V Max
- Low Input Offset Voltage Drift 2.0 μ V/ $^{\circ}$ C
- Minimum Slew Rate Guaranteed on All Models
- Temperature-Compensated Input Bias Currents
- Guaranteed Input Bias Current @ 125 $^{\circ}$ C
- Bias Current Specified WARMED UP Over Temperature
- Internal Compensation
- Low Input Noise Current 0.01pA/ \sqrt Hz
- High Common-Mode Rejection Ratio 100dB
- Models With MIL-STD-883 Processing Available
- 125 $^{\circ}$ C Temperature Tested DICE

OP-15

- 156 Speed With 155 Dissipation (80mW Typ)
- Wide Bandwidth 6MHz
- High Slew Rate 13V/ μ s
- Fast Settling to \pm 0.1% 1200ns
- Available in Die Form

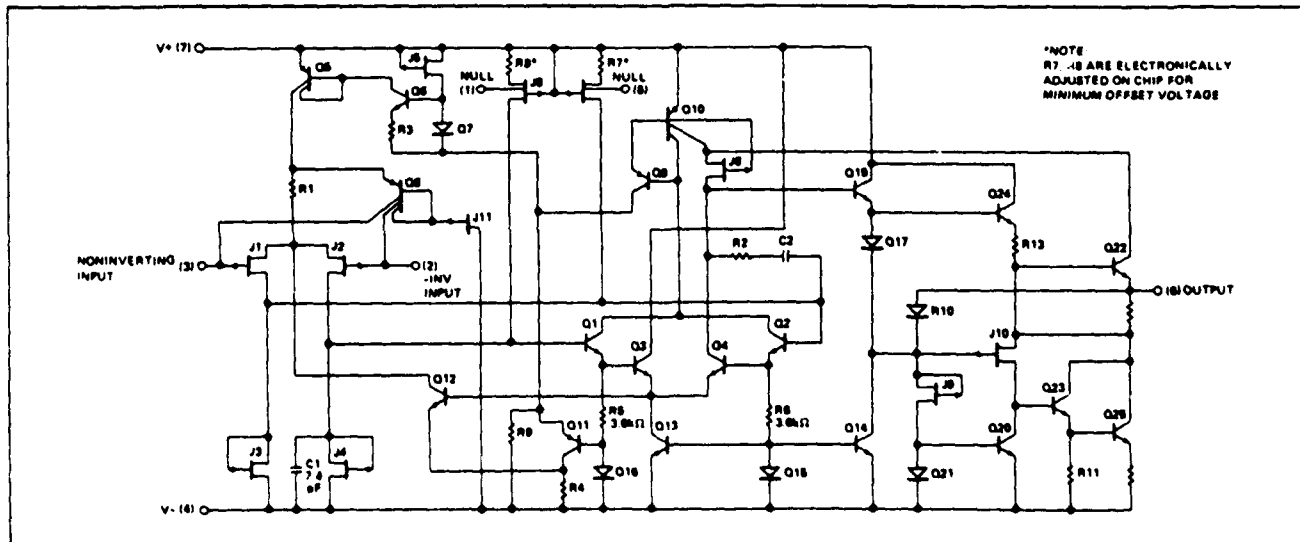
OP-16

- Higher Slew Rate 25V/ μ s
- Faster Settling to \pm 0.1% 900ns
- Wider Bandwidth 8MHz
- Available in Die Form

OP-17

- Highest Slew Rate 60V/ μ s
- Fastest Settling to \pm 0.1% 600ns
- Highest Gain Bandwidth Product (AvCL = 5 Min) 30MHz
- Available in Die Form

SIMPLIFIED SCHEMATIC



GENERAL DESCRIPTION

The PMI JFET-input series of devices offer clear advantages over industry-generic devices and are superior in both cost and performance to many dielectrically-isolated and hybrid op amps. All devices offer offset voltages as low as 0.5mV with TCV_{OS} guaranteed to 5 μ V/ $^{\circ}$ C. A unique input bias cancellation circuit reduces the I_B by a factor of 10 over conventional designs. In addition, PMI specifies I_B and I_{OS} with the devices warmed up and operating at 25 $^{\circ}$ C ambient.

These devices were designed to provide real precision performance along with high speed. Although they can be nulled, the design objective was to provide low offset-voltage without nulling. Systems generally become more cost effective as the number of trim circuits is decreased. PMI achieves this performance by use of an improved Bipolar compatible JFET process coupled with on-chip, zener-zap offset trimming.

The OP-15 provides an excellent combination of high speed and low input offset voltage. In addition, the OP-15 offers the speed of the 156A op amp with the power dissipation of a 155A. The combination of a low input offset voltage of 500 μ V, slew rate of 13V/ μ s, and settling time of 1200ns to 0.1% makes the OP-15 an op amp of both precision and speed. The additional features of low supply current coupled with an input bias current of 9nA at 125 $^{\circ}$ C ambient (not junction) temperature makes the OP-15 ideal for a wide range of applications.

The OP-16 features a slew rate of 25V/ μ s and a settling time of 900ns to 0.1% which represents a significant improvement in speed over the 156. Also, the OP-16 has all the DC features of the OP-15.

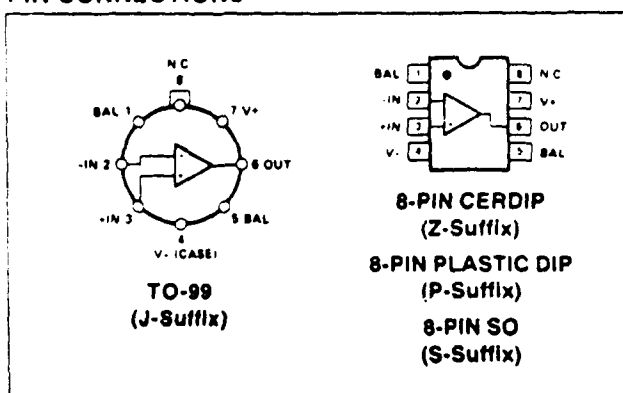
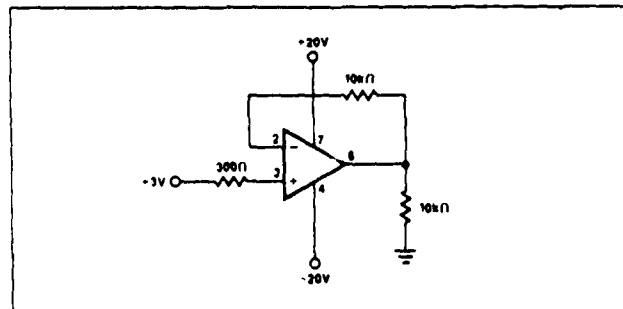
The OP-17 has a slew rate of 60V/ μ s and is the best choice for applications requiring high closed-loop gain with high speed. See the OP-42 data sheet for unity gain applications and the OP-215 data sheet for a dual configuration of the OP-15.

ORDERING INFORMATION¹

$T_A = +25^\circ\text{C}$		PACKAGE			OPERATING TEMPERATURE RANGE
V_{os} MAX (mV)	TO-99	CERDIP 8-PIN	PLASTIC 8-PIN	SO 8-PIN	
0.5	OP15AJ*	OP15AZ*	-	-	MIL
0.5	OP16AJ*	-	-	-	
0.5	OP17AJ*	OP17AZ*	-	-	
0.5	OP15EJ	OP15EZ	-	-	
0.5	OP16EJ	OP16EZ	-	-	COM
0.5	OP17EJ	OP17EZ	-	-	
1.0	OP15BJ/883	OP15BZ/883	-	-	MIL
1.0	OP16BJ/883	OP16BZ/883	-	-	
1.0	OP17BJ*	OP17BZ	-	-	
1.0	OP15FJ	OP15FZ	OP15FP	-	
1.0	OP16FJ	OP16FZ	OP16FP	-	COM
1.0	-	-	OP17FP	-	
3.0	OP17CJ/883C	-	-	-	MIL
3.0	OP15GJ	OP15GZ	OP15GP	OP15GS	
3.0	OP16GJ	OP16GZ	OP16GP	OP16GS	XIND
3.0	OP17GJ	OP17GZ	OP17GP	OP17GS	

* For devices processed in total compliance to MIL-STD-883, add /883 after part number. Consult factory for 883 data sheet.

† Burn-in is available on commercial and industrial temperature range parts in CerDIP, plastic DIP, and TO-can packages. For ordering information, see 1990/91 Data Book, Section 2.

PIN CONNECTIONS**BURN-IN CIRCUIT****ABSOLUTE MAXIMUM RATINGS (Note 1)**

Supply Voltage

All Devices Except C, G (Packaged) & GR Grades ... $\pm 22\text{V}$
C, G (Packaged) & GR Grades ... $\pm 18\text{V}$

Operating Temperature

A, B, & C Grades -55°C to $+125^\circ\text{C}$
E & F Grades 0°C to $+70^\circ\text{C}$
G Grade -40°C to $+85^\circ\text{C}$

Maximum Junction Temperature $+150^\circ\text{C}$

DICE Junction Temperature (T_j) -65°C to $+150^\circ\text{C}$

Differential Input Voltage

All Devices Except C, G (Packaged) & GR Grades $\pm 40\text{V}$
C, G (Packaged) & GR Grades $\pm 30\text{V}$

Input Voltage (Note 2)

All Devices Except C, G (Packaged) & GR Grades ... $\pm 20\text{V}$
C, G (Packaged) & GR Grades $\pm 16\text{V}$

Input Voltage

OP-15A, OP-15B, OP-15E, OP-15F $\pm 20\text{V}$
OP-15G $\pm 16\text{V}$
OP-16A, OP-16B, OP-16E, OP-16F $\pm 20\text{V}$
OP-16C, OP-16G $\pm 16\text{V}$
OP-17A, OP-17B, OP-17E, OP-17F $\pm 20\text{V}$
OP-17C, OP-17G $\pm 16\text{V}$

Output Short-Circuit Duration Indefinite

Storage Temperature Range -65°C to $+150^\circ\text{C}$

Lead Temperature Range (Soldering, 60 sec) $+300^\circ\text{C}$

PACKAGE TYPE	θ_{IA} (Note 3)	θ_{IC}	UNITS
TO-99 (J)	150	18	$^\circ\text{C}/\text{W}$
8-Pin Hermetic DIP (Z)	148	16	$^\circ\text{C}/\text{W}$
8-Pin Plastic DIP (P)	103	43	$^\circ\text{C}/\text{W}$
8-Pin SO (S)	158	43	$^\circ\text{C}/\text{W}$

NOTES:

1. Absolute maximum ratings apply to both DICE and packaged parts, unless otherwise noted.
2. Unless otherwise specified the absolute maximum negative input voltage is equal to the negative power-supply voltage.
3. θ_{IA} is specified for worst case mounting conditions, i.e., θ_{IA} is specified for device in socket for TO, CerDIP and P-DIP packages. θ_{IA} is specified for device soldered to printed circuit board for SO package.

ELECTRICAL CHARACTERISTICS at $V_S = \pm 15V$, $T_A = 25^\circ C$, unless otherwise noted.

PARAMETER	SYMBOL	CONDITIONS	CP-15A/E			OP-15B/F			OP-15G			
			OP-16A/E			OP-16B/F			OP-16C/G			
			OP-17A/E			OP-17B/F			OP-17C/G			
MIN	TYP	MAX	MIN	TYP	MAX	MIN	TYP	MAX	MIN	TYP	MAX	UNITS
Input Offset Voltage	V_{OS}	$R_S = 50\Omega$	—	0.2	0.5	—	0.4	1.0	—	0.5	3.0	mV
Input Offset Current	I_{OS}	$T_J = 25^\circ C$ Note 1 Device Operating	OP-15	—	3	10	—	6	20	—	12	50
		$T_J = 25^\circ C$ Note 1 Device Operating	OP-16/OP-17	—	5	22	—	10	40	—	20	100
	I_B	$T_J = 25^\circ C$ Note 1 Device Operating	OP-15	—	3	10	—	6	20	—	12	50
		$T_J = 25^\circ C$ Note 1 Device Operating	OP-16/OP-17	—	5	25	—	10	50	—	20	125
Input Bias Current			—	± 15	± 50	—	± 30	± 100	—	± 60	± 200	pA
Input Resistance	R_{IN}	Device Operating	OP-15	—	± 18	± 110	—	± 40	± 200	—	± 80	± 400
		$T_J = 25^\circ C$ Note 1 Device Operating	OP-16/OP-17	—	± 15	± 50	—	± 30	± 100	—	± 60	± 200
		$T_J = 25^\circ C$ Note 1 Device Operating	OP-15	—	± 20	± 130	—	± 40	± 250	—	± 80	± 500
			—	—	—	—	—	—	—	—	—	f Ω
Large-Signal Voltage Gain	A_{VO}	$R_L \geq 2k\Omega$ $V_O = \pm 10V$	100	240	—	75	220	—	50	200	—	V/mV
Output Voltage Swing	V_O	$R_L = 10k\Omega$	—	± 12	± 13	—	± 12	± 13	—	± 12	± 13	—
		$R_L = 2k\Omega$	—	± 11	± 12.7	—	± 11	± 12.7	—	± 11	± 12.7	—
Supply Current	I_{SY}	OP-15	—	2.7	4.0	—	2.7	4.0	—	2.8	5.0	mA
		OP-16/OP-17	—	4.6	7.0	—	4.6	7.0	—	4.8	8.0	mA
Slew Rate	SR	$A_{VCL} = +1$ Note 3	OP-15	10	13	—	7.5	11	—	5	9	—
		OP-16	18	25	—	12	21	—	9	17	—	V/ μ s
		$A_{VCL} = -5$ Note 3	OP-17	45	60	—	35	50	—	25	40	—
Gain Bandwidth Product	GBW	OP-15	4.0	6.0	—	3.5	5.7	—	3.0	5.4	—	MHz
		OP-16	6.0	8.0	—	5.5	7.6	—	5.0	7.2	—	MHz
		OP-17	20	30	—	15	28	—	11	26	—	MHz
Closed-Loop Bandwidth	$CLBW$	$A_{VCL} = +1$	OP-15	—	14	—	—	13	—	—	12	—
		OP-16	—	19	—	—	18	—	—	17	—	MHz
		$A_{VCL} = +5$	OP-17	—	11	—	—	10	—	—	9	—
Settling Time	t_s	to 0.01%	OP-15	—	4.5	—	—	4.5	—	—	4.7	—
		to 0.05% Note 2	OP-15	—	1.5	—	—	1.5	—	—	1.6	—
		to 0.10%	OP-15	—	1.2	—	—	1.2	—	—	1.3	—
		to 0.01%	OP-16	—	3.8	—	—	3.8	—	—	4.0	—
		to 0.05% Note 2	OP-16	—	1.2	—	—	1.2	—	—	1.3	—
		to 0.10%	OP-16	—	0.9	—	—	0.9	—	—	1.0	—
		to 0.01%	OP-17	—	1.5	—	—	1.5	—	—	1.6	—
		to 0.05% Note 4	OP-17	—	0.7	—	—	0.7	—	—	0.8	—
		to 0.10%	OP-17	—	0.6	—	—	0.6	—	—	0.7	—
			—	—	—	—	—	—	—	—	—	μs
			—	± 10.5	—	—	± 10.5	—	—	± 10.3	—	—
Input Voltage Range	V_{IN}		—	—	—	—	—	—	—	—	—	V
Common-Mode Rejection Ratio	$CMRR$	$V_{CM} = \pm 10.5V$	86	100	—	86	100	—	—	—	—	dB
		$V_{CM} = \pm 10.3V$	—	—	—	—	—	—	82	96	—	—
Power Supply Rejection Ratio	$PSRR$	$V_S = \pm 10V$ to $\pm 18V$	—	10	51	—	10	51	—	—	—	μV/V
		$V_S = \pm 10V$ to $\pm 15V$	—	—	—	—	—	—	—	10	80	—
Input Noise Voltage Density	E_n	$f_0 = 100Hz$	—	20	—	—	20	—	—	20	—	nV/ \sqrt{Hz}
		$f_0 = 1000Hz$	—	15	—	—	15	—	—	15	—	nV/ \sqrt{Hz}
Input Noise Current Density	I_n	$f_0 = 100Hz$	—	0.01	—	—	0.01	—	—	0.01	—	pA/ \sqrt{Hz}
		$f_0 = 1000Hz$	—	0.01	—	—	0.01	—	—	0.01	—	pA/ \sqrt{Hz}
Input Capacitance	C_{IN}		—	3	—	—	3	—	—	3	—	pF

NOTES:

- 1 Input bias current is specified for two different conditions. The $T_J = 25^\circ C$ specification is with the junction at ambient temperature. The Device Operating specification is with the device operating in a warmed-up condition at $25^\circ C$ ambient. The warmed-up bias current value is correlated to the junction temperature value via the curves of I_B vs T_J and I_B vs T_A . PMI has a bias current compensation circuit which gives improved bias current over the standard JFET input op amps. I_B and I_{OS} are measured at $V_{CM} = 0$.
- 2 Settling time is defined here for a unity gain inverter connection using $2k\Omega$ resistors. It is the time required for the error voltage, the voltage at the

inverting input pin on the amplifier, to settle to within a specified percent of its final value from the time a 10V step input is applied to the inverter. See settling time test circuit.

3 Sample tested

4 Settling time is defined here for a $A_V = -5$ connection with $R_F = 2k\Omega$. It is the time required for the error voltage, the voltage at the inverting input pin on the amplifier, to settle to within 0.01% of its final value from the time a 2V step input is applied to the inverter. See settling time test circuit.

PMI

OP-15/OP-16/OP-17 PRECISION JFET-INPUT OPERATIONAL AMPLIFIERS

ELECTRICAL CHARACTERISTICS at $V_S = \pm 15V$, $-55^\circ C \leq T_A \leq 125^\circ C$, unless otherwise noted

PARAMETER	SYMBOL	CONDITIONS	OP-15A			OP-15B			OP-16C		
			MIN	TYP	MAX	MIN	TYP	MAX	MIN	TYP	MAX
Input Offset Voltage	V_{OS}	$R_S = 50\Omega$	—	0.4	0.9	—	0.7	2.0	—	0.9	4.5
Average Input Offset Voltage Drift		Note 2									
Without External Trim	TCV_{OS}		—	2	5	—	3	10	—	4	15
With External Trim	TCV_{OSn}	$R_P = 100k\Omega$	—	2	—	—	3	—	—	4	—
Input Offset Current Note 1	I_{OS}	$T_J = 125^\circ C$ $T_A = 125^\circ C$ Device Operating	—	0.6	4.0	—	0.2	6.0	—	1.0	9.0
		$T_J = 125^\circ C$ $T_A = 125^\circ C$ OP-15	—	0.8	7.0	—	1.2	11	—	1.5	17
		$T_J = 125^\circ C$ $T_A = 125^\circ C$ OP-16/OP-17	—	0.6	4.0	—	0.8	6.0	—	1.0	9.0
		Device Operating	—	1.0	8.5	—	1.3	14.5	—	1.7	22
Input Bias Current Note 1	I_B	$T_J = 125^\circ C$ $T_A = 125^\circ C$ OP-15	—	± 1.2	± 5.0	—	± 1.5	± 7.5	—	± 1.8	± 10
		Device Operating	—	± 1.7	± 9.0	—	± 2.2	± 14	—	± 2.7	± 19
		$T_J = 125^\circ C$ $T_A = 125^\circ C$ OP-16/OP-17	—	± 1.2	± 5.0	—	± 1.5	± 7.5	—	± 1.8	± 10
		Device Operating	—	± 2.0	± 11	—	± 2.5	± 18	—	± 3.0	± 25
Input Voltage Range	I_{VR}		± 10.4	—	—	± 10.4	—	—	± 10.25	—	—
Common-Mode Rejection Ratio	CMRR	$V_{CM} = \pm 10.4V$ $V_{CM} = \pm 10.25V$	85	97	—	85	97	—	—	—	—
Power Supply Rejection Ratio	PSRR	$V_S = \pm 10V$ to $\pm 18V$ $V_S = \pm 10V$ to $\pm 15V$	—	15	57	—	15	57	—	—	—
Large-Signal Voltage Gain	A_{VO}	$R_L \geq 2k\Omega$ $V_O = \pm 10V$	35	120	—	30	110	—	25	100	—
Output Voltage Swing	V_O	$R_L \geq 10k\Omega$	± 12	± 13	—	± 12	± 13	—	± 12	± 13	—

NOTES:

- 1 Input bias current is specified for two different conditions. The $T_J = 25^\circ C$ specification is with the junction at ambient temperature, the Device Operating specification is with the device operating in a warmed-up condition at $25^\circ C$ ambient. The warmed-up bias current value is correlated to the junction temperature value via the curves of I_B vs T_J and I_B vs T_A . PMI has a bias current compensation circuit which gives improved bias current over the standard JFET input op amps. I_B and I_{OS} are measured at $V_{CM} = 0$.

- 2 Sample tested.

ELECTRICAL CHARACTERISTICS at $V_S = \pm 15V$, $0^\circ C \leq T_A \leq 70^\circ C$ for E and F, $-40 \leq T_A \leq +85^\circ C$ for G grade, unless otherwise noted

PARAMETER	SYMBOL	CONDITIONS	OP-15E			OP-15F			OP-15G			
			MIN	TYP	MAX	MIN	TYP	MAX	MIN	TYP	MAX	
Input Offset Voltage	V_{OS}	$R_s = 50\Omega$	—	0.3	0.75	—	0.55	1.5	—	0.7	3.8	
Average Input Offset Voltage Drift												
Without External Trim	TCV_{OS}		—	2	5	—	3	10	—	4	30	
With External Trim	TCV_{OSn}	$R_p = 100k\Omega$	—	2	—	—	3	—	—	4	—	
Input Offset Current Note 1	I_{OS}	$T_j = 70^\circ C$	—	0.04	0.30	—	0.06	0.45	—	0.08	0.65	
		$T_A = 70^\circ C$	OP-15	—	0.06	0.55	—	0.08	0.80	—	0.10	1.2
		Device Operating	—	0.04	0.30	—	0.06	0.45	—	0.08	0.65	
		$T_j = 70^\circ C$	OP-16/OP-17	—	0.07	0.70	—	0.10	1.1	—	0.15	1.7
Input Bias Current Note 1	I_B	$T_j = 70^\circ C$	OP-15	—	$\pm 0.10 \pm 0.40$	—	$\pm 0.12 \pm 0.60$	—	$\pm 0.14 \pm 0.80$	—	—	
		Device Operating	—	$\pm 0.13 \pm 0.75$	—	$\pm 0.16 \pm 1.1$	—	$\pm 0.19 \pm 1.5$	—	—	nA	
		$T_j = 70^\circ C$	OP-16/OP-17	—	$\pm 0.10 \pm 0.40$	—	$\pm 0.12 \pm 0.60$	—	$\pm 0.14 \pm 0.80$	—	—	
		Device Operating	—	$\pm 0.15 \pm 0.90$	—	$\pm 0.20 \pm 1.4$	—	$\pm 0.25 \pm 2.0$	—	—	nA	
Output Voltage Range	IVR		—	± 10.4	—	—	—	± 10.4	—	—	± 10.25	
Common-Mode Rejection Ratio	CMRR	$V_{CM} = \pm 10.4V$	85	98	—	85	98	—	—	—	—	
		$V_{CM} = \pm 10.25V$	—	—	—	—	—	—	80	94	—	
Power-Supply Rejection Ratio	PSRR	$V_S = \pm 10V$ to $\pm 18V$	—	13	57	—	13	57	—	—	—	
		$V_S = \pm 10V$ to $\pm 15V$	—	—	—	—	—	—	—	20	100	
Large-Signal Voltage Gain	Avo	$R_L \geq 2k\Omega$ $V_O = \pm 10V$	65	200	—	50	180	—	35	160	—	
Output Voltage Swing	V_O	$R_L \geq 10k\Omega$	—	± 12	± 13	—	± 12	± 13	—	± 12	± 13	
				—	—	—	—	—	—	—	v	

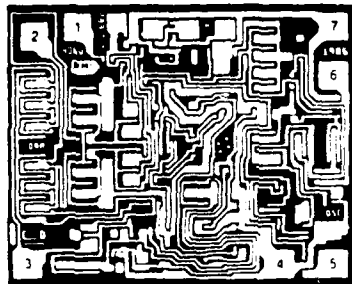
NOTES:

1. Input bias current is specified for two different conditions. The $T_j = 25^\circ C$ specification is with the junction at ambient temperature. The Device Operating specification is with the device operating in a warmed-up condition at $25^\circ C$ ambient. The warmed-up bias current value is correlated to the junction temperature value via the curves of I_B vs T_j and I_B vs T_A . PMI has a bias current compensation circuit which gives improved bias current over the standard JFET input op amps. I_B and I_{OS} are measured at $V_{CM} = 0$.

2. Sample tested.

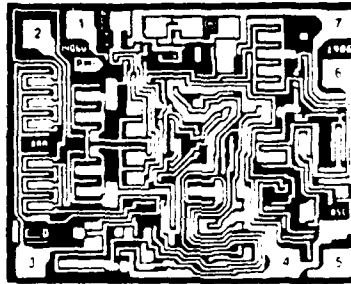
DICE CHARACTERISTICS (125°C TESTED DICE AVAILABLE)

OP-15



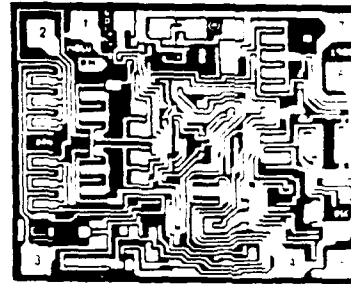
DIE SIZE 0.068 × 0.056 inch, 3808 sq. mils
(1.73 × 1.42mm, 2.46 sq. mm)

OP-16



DIE SIZE 0.068 × 0.056 inch, 3808 sq. mils
(1.73 × 1.42mm, 2.46 sq. mm)

OP-17



DIE SIZE 0.068 × 0.056 inch, 3808 sq. mils
(1.73 × 1.42mm, 2.46 sq. mm)

1. BALANCE
2. INVERTING INPUT
3. NONINVERTING INPUT
4. V-
5. BALANCE
6. OUTPUT
7. V+

1. BALANCE
2. INVERTING INPUT
3. NONINVERTING INPUT
4. V-
5. BALANCE
6. OUTPUT
7. V+

1. BALANCE
2. INVERTING INPUT
3. NONINVERTING INPUT
4. V-
5. BALANCE
6. OUTPUT
7. V+

For additional DICE ordering information, refer to 1990/91 Data Book, Section 2.

WAFER TEST LIMITS at $V_S = \pm 15V$, $T_A = 25^\circ C$ for OP-15/16/17N, OP-15/16/17G and OP-15/16/17GR devices, $T_A = 125^\circ C$ for OP-15/16/17NT and OP-15/16/17GT devices, unless otherwise noted.

PARAMETER	SYMBOL	CONDITIONS	OP-15NT	OP-15N	OP-15GT	OP-15G	OP-15GR	UP
			OP-16NT	OP-16N	OP-16GT	OP-16G	OP-16GR	
			OP-17NT	OP-17N	OP-17GT	OP-17G	OP-17GR	
Input Offset Voltage	V_{OS}	$R_S = 50\Omega$	0.9	0.5	2.0	1.0	3.0	mV
Large-Signal Voltage Gain	A_{VO}	$V_S = \pm 10V$ $R_L = 2k\Omega$	35	100	30	75	50	μV/V
Input Voltage Range	IVR		±10.4	±10.5	±10.4	±10.5	±10.3	V
Common-Mode Rejection Ratio	CMRR	$V_{CM} = \pm IVR$	85	86	85	86	82	dB
Power Supply Rejection Ratio	PSRR	$V_S = \pm 10V$ to $\pm 20V$ $V_S = \pm 10V$ to $\pm 15V$	57	51	57	51	—	μV/V
Output Voltage Swing	V_O	$R_L = 10k\Omega$ $R_L = 2k\Omega$	±12	±12	±12	±12	±12	V
Supply Current	I_{SV}	OP-15 OP-16, OP-17	—	4	—	4	5	mA
Input Bias Current	I_B	OP-15 OP-16, OP-17	±0	—	±14	—	—	nA
Input Offset Current	I_{OS}	OP-15 OP-16, OP-17	7.0	—	11.0	—	—	nA
			8.5	—	14.5	—	—	nA

NOTES:

For 25°C characteristics of OP-15/16/17NT and OP-15/16/17GT see OP-15/16/17N and OP-15/16/17G characteristics, respectively.

Electrical tests are performed at wafer probe to the limits shown. Due to variations in assembly methods and normal yield loss, yield after packaging is guaranteed for standard product dice. Consult factory to negotiate specifications based on dice lot qualification through sample lot assembly and testing.

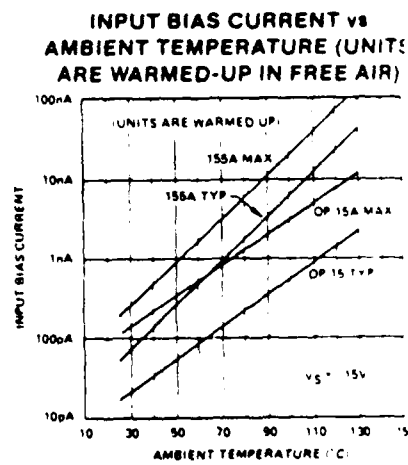
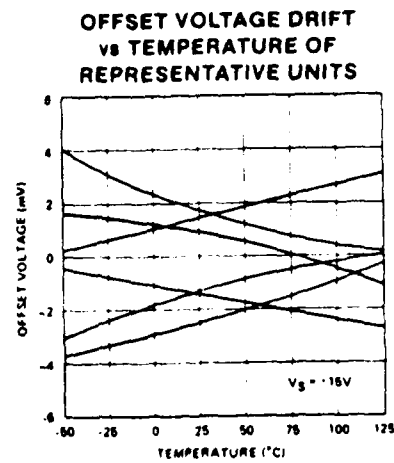
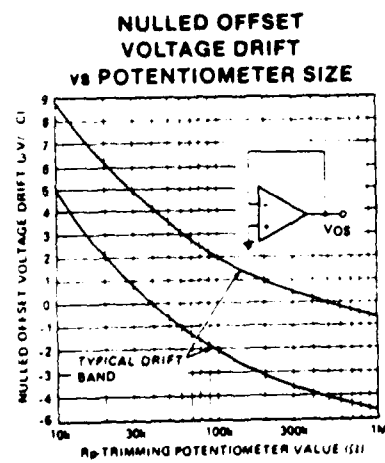
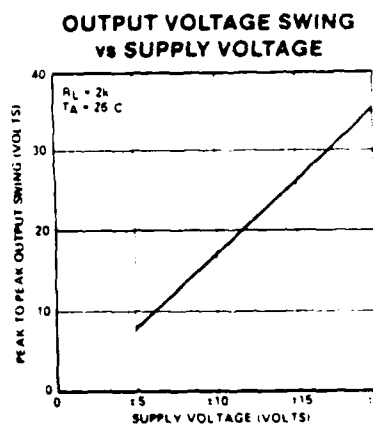
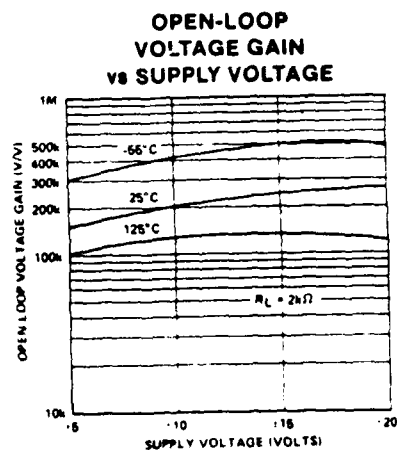
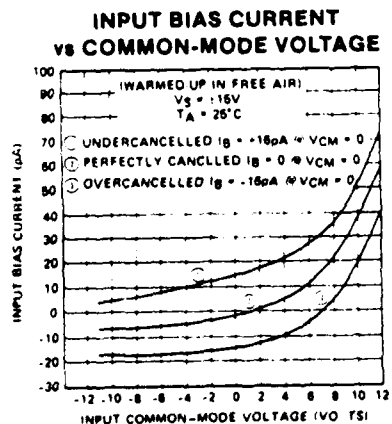
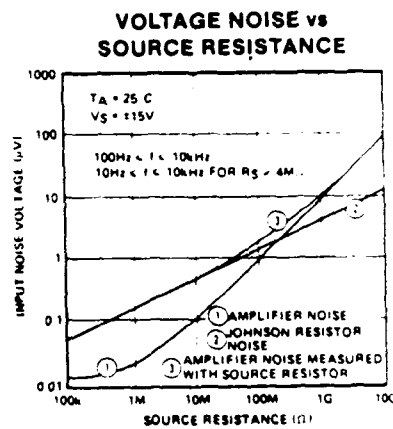
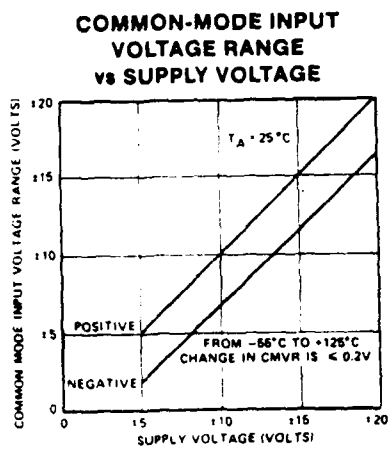
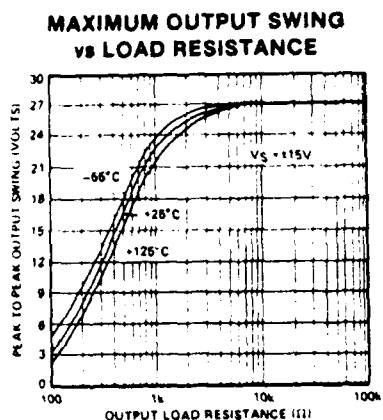
TYPICAL ELECTRICAL CHARACTERISTICS at $V_S = \pm 15V$, $T_A = +25^\circ C$, unless otherwise noted.

PARAMETER	SYMBOL	CONDITIONS	OP-15NT	OP-15N	OP-15GT	OP-15G	OP-15GR	UNITS
			OP-16NT	OP-16N	OP-16GT	OP-16G	OP-16GR	
OP-17NT	OP-17N	OP-17GT	OP-17G	OP-17GR				
		TYPICAL	TYPICAL	TYPICAL	TYPICAL	TYPICAL	TYPICAL	
Average Input Offset Drift Unnullied	TCV_{OS}		2	2	3	3	4	$\mu V^\circ C$
Average Input Offset Drift Nullied	TCV_{OSn}	$R_p = 100k\Omega$	2	2	3	3	4	$\mu V^\circ C$
Input Offset Current	I_{OS}		3	3	3	3	3	pA
Input Bias Current	I_B		± 15	pA				
Slew Rate	SR	$A_{VCL} = +1$	OP-15	13	13	11	9	
		$A_{VCL} = +5$	OP-16	25	25	21	17	W/ μs
			OP-17	60	60	50	40	
		to 0.01%		4.5	4.5	4.5	4.7	
		to 0.05%	OP-15	1.5	1.5	1.5	1.6	
		to 0.10%		1.2	1.2	1.2	1.3	
Settling Time see settling time test circuits.	t_s	to 0.01%		3.8	3.8	3.8	4.0	
		to 0.05%	OP-16	1.2	1.2	1.2	1.3	μs
		to 0.10%		0.9	0.9	0.9	1.0	
		to 0.01%		1.5	1.5	1.5	1.6	
		to 0.05%	OP-17	0.7	0.7	0.7	0.8	
		to 0.10%		0.6	0.6	0.6	0.7	
Gain Bandwidth Product	GBW		OP-15	8.0	8.0	5.7	5.4	
			OP-16	8.0	8.0	7.6	7.2	MHz
			OP-17	30	30	28	28	
Closed-Loop Bandwidth	CLBW	$A_{VCL} = +1$	OP-15	14	14	13	12	
		$A_{VCL} = +5$	OP-16	19	19	18	17	MHz
			OP-17	11	11	10	9	
Input Noise Voltage Density	E_n	$f = 100Hz$		20	20	20	20	
		$f = 1000Hz$		15	15	15	15	nV/\sqrt{Hz}
Input Noise Current Density	I_n	$f = 100Hz$		0.01	0.01	0.01	0.01	
		$f = 1000Hz$		0.01	0.01	0.01	0.01	pA/\sqrt{Hz}
Input Capacitance	C_{IN}			3	3	3	3	pF

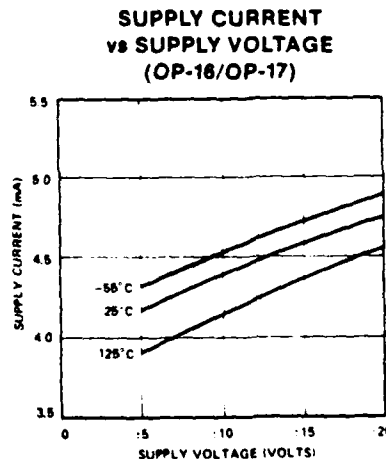
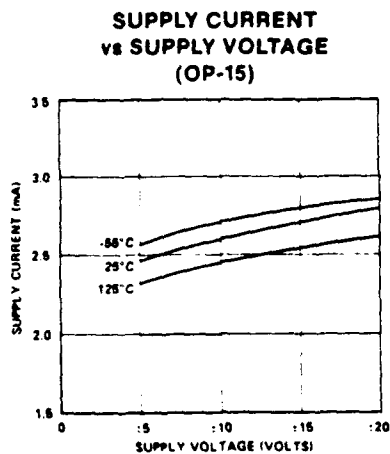
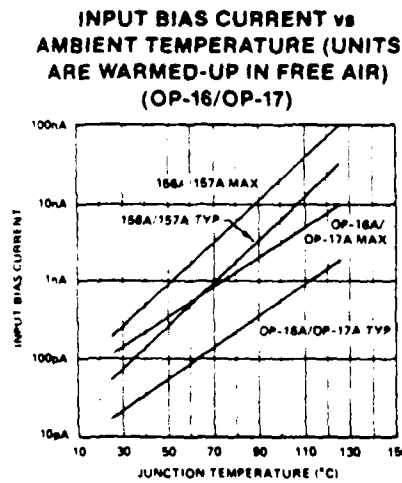
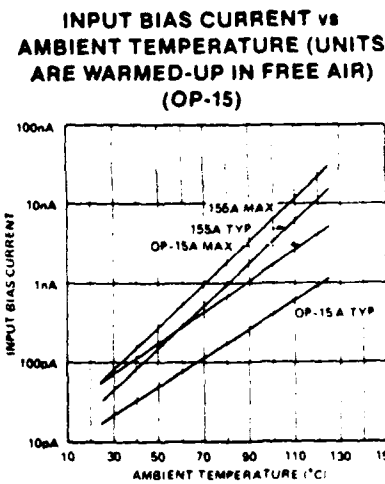
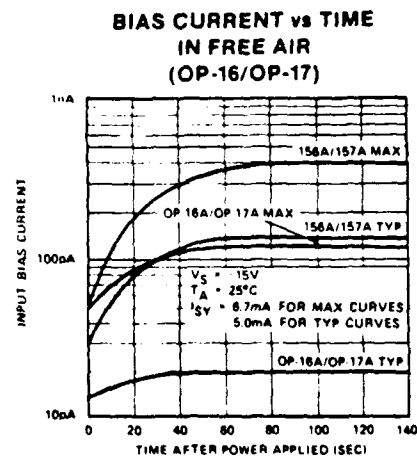
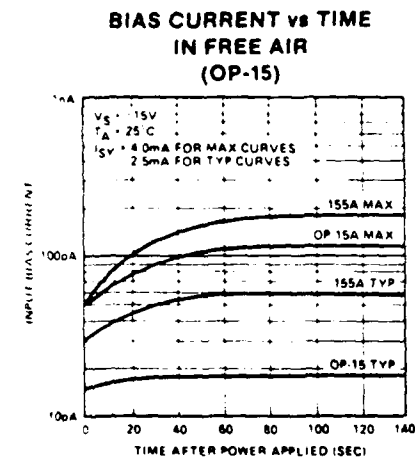
NOTES:

For $25^\circ C$ characteristics of OP-15/16/17NT and OP-15/16/17GT, see OP-15/16/17N and OP-15/16/17G characteristics, respectively.

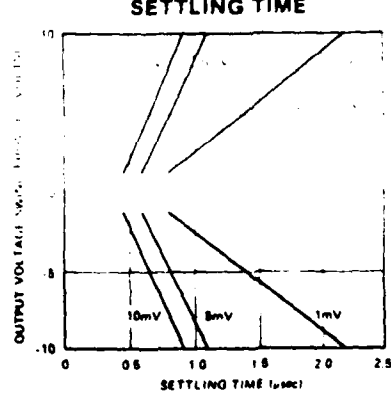
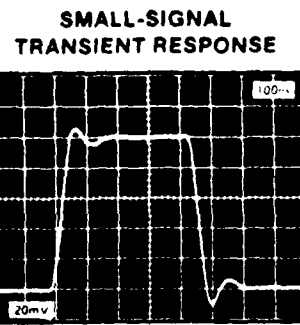
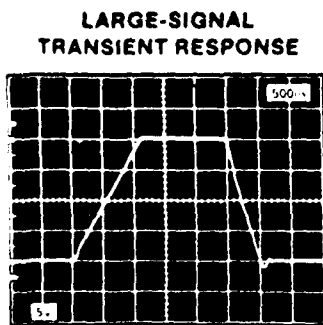
TYPICAL PERFORMANCE CHARACTERISTICS (OP-15/OP-16/OP-17)



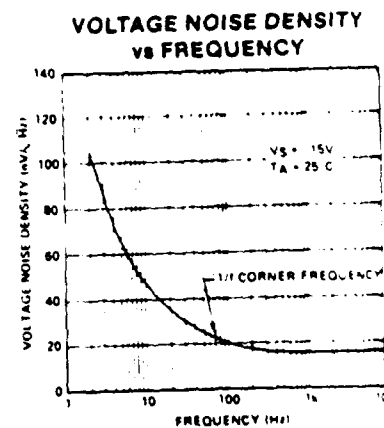
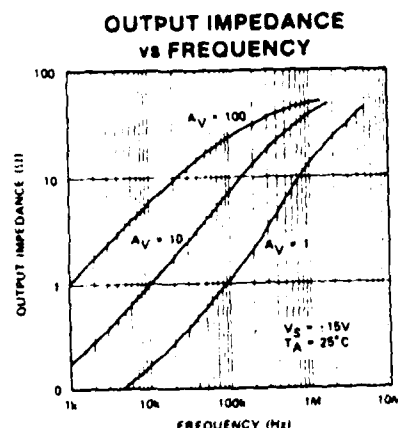
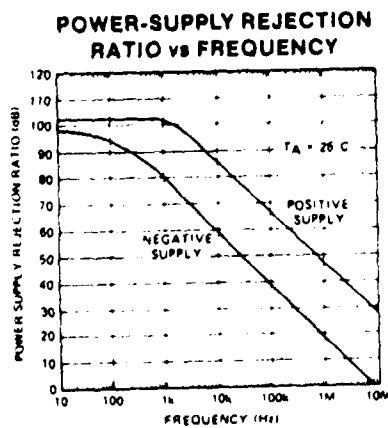
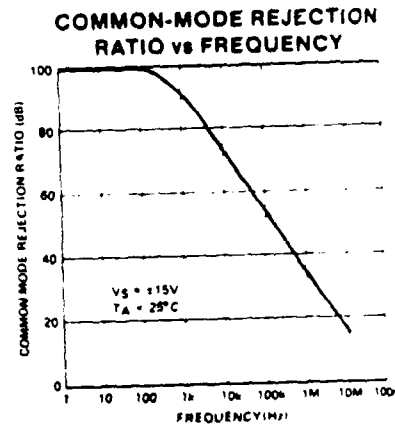
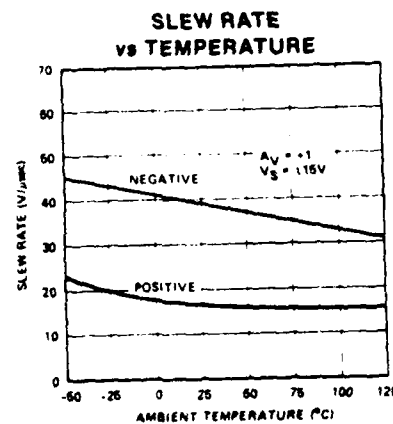
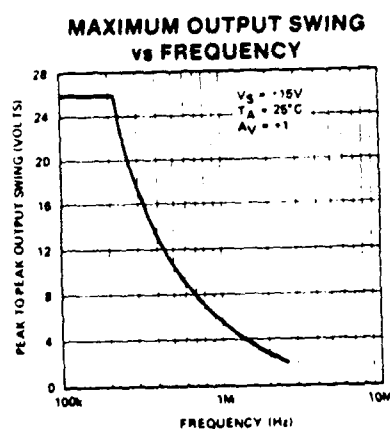
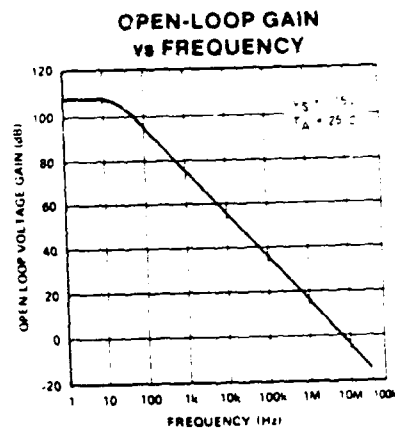
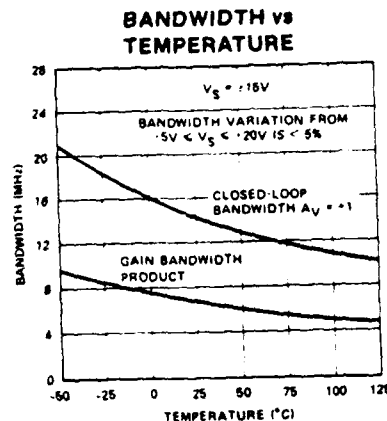
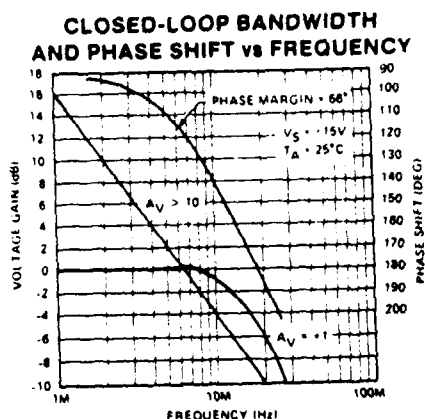
TYPICAL PERFORMANCE CHARACTERISTICS (OP-15/OP-16/OP-17)



TYPICAL PERFORMANCE CHARACTERISTICS (OP-15)

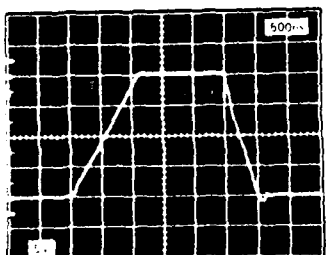


TYPICAL PERFORMANCE CHARACTERISTICS (OP-15)

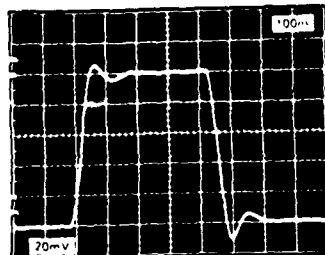


TYPICAL PERFORMANCE CHARACTERISTICS (OP-16)

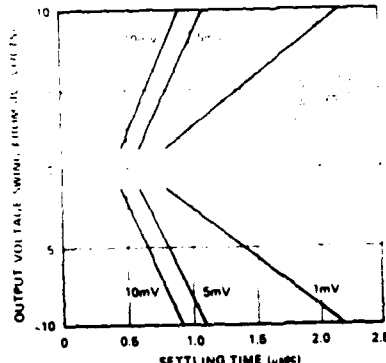
LARGE-SIGNAL TRANSIENT RESPONSE



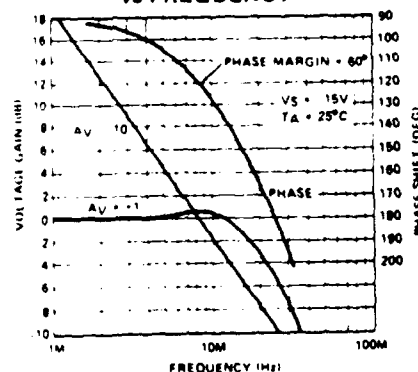
SMALL-SIGNAL TRANSIENT RESPONSE



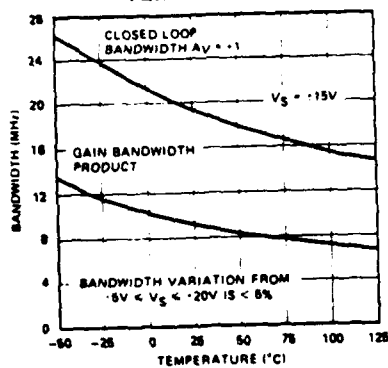
SETTLING TIME



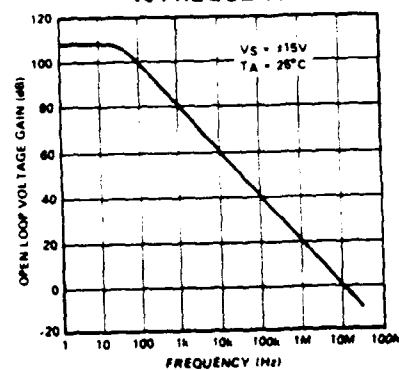
CLOSED-LOOP BANDWIDTH AND PHASE SHIFT vs FREQUENCY



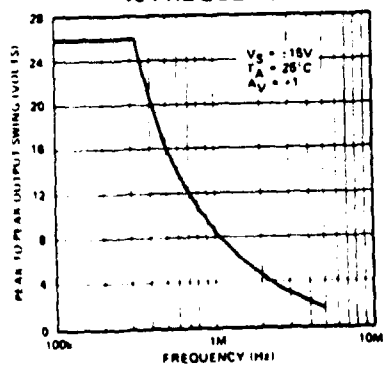
BANDWIDTH vs TEMPERATURE



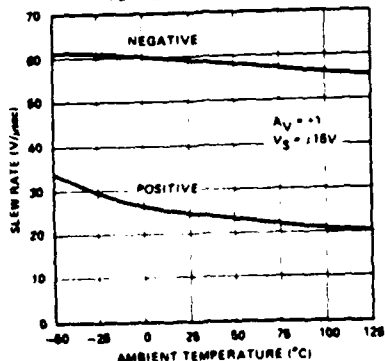
OPEN-LOOP GAIN vs FREQUENCY



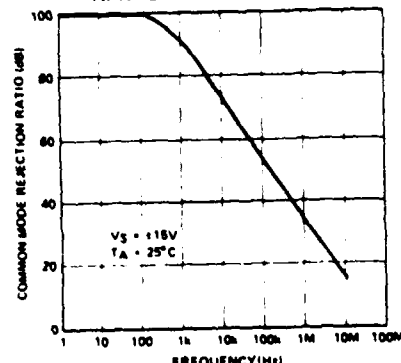
MAXIMUM OUTPUT SWING vs FREQUENCY



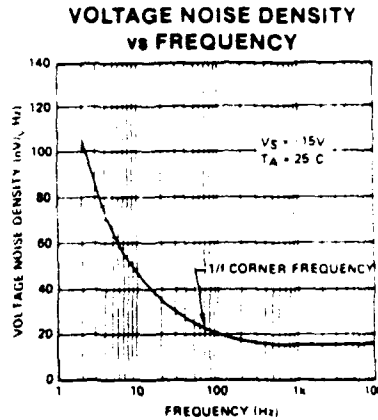
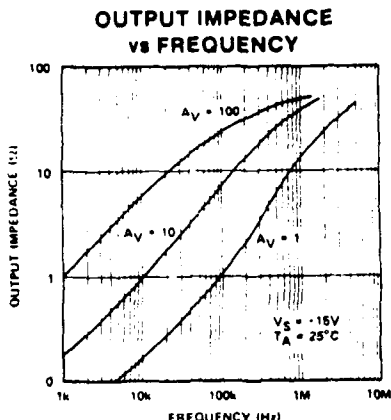
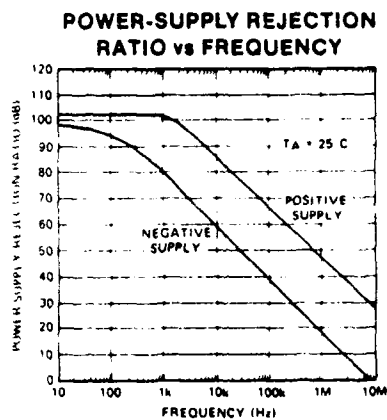
SLEW RATE vs TEMPERATURE



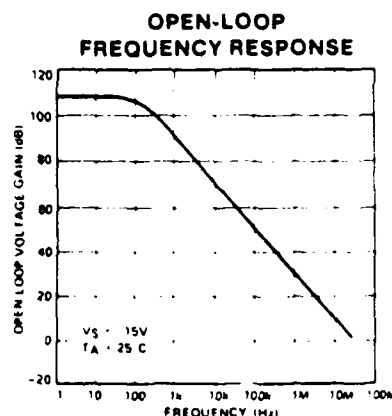
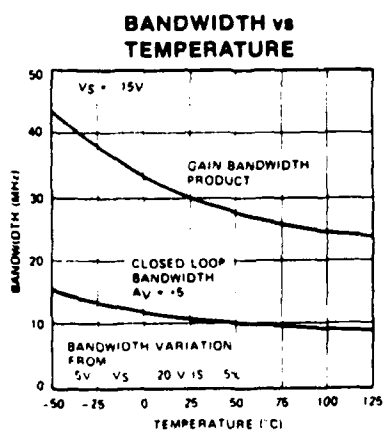
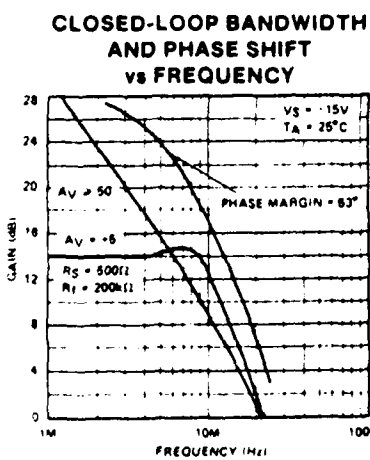
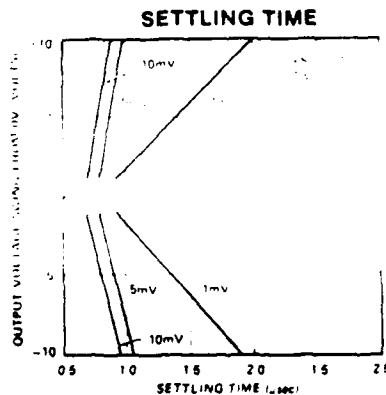
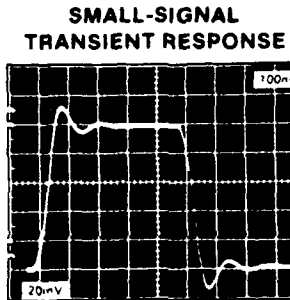
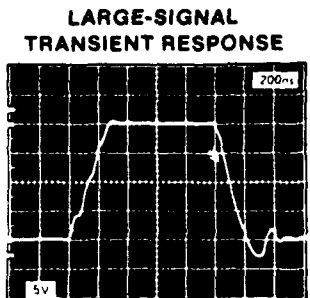
COMMON-MODE REJECTION RATIO vs FREQUENCY



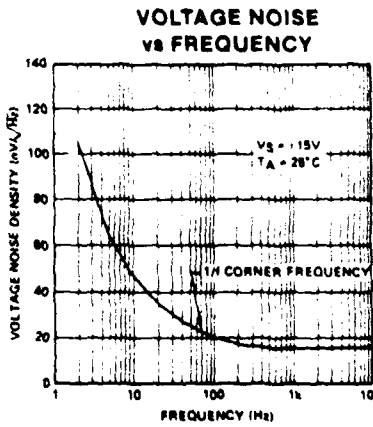
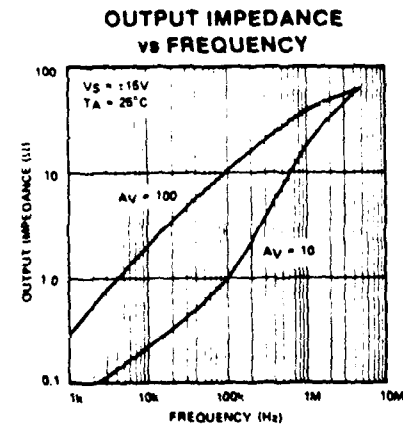
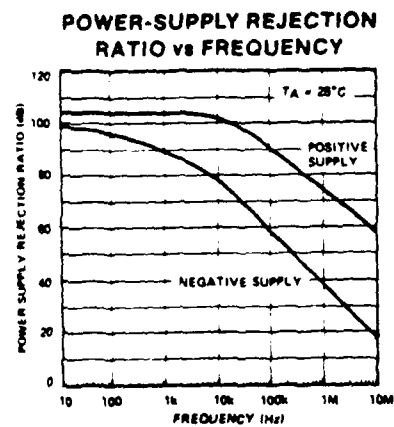
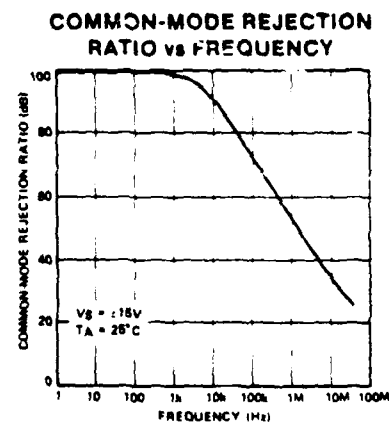
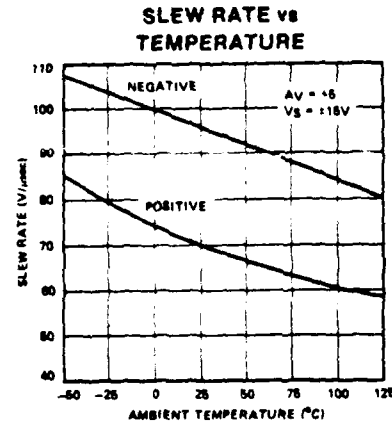
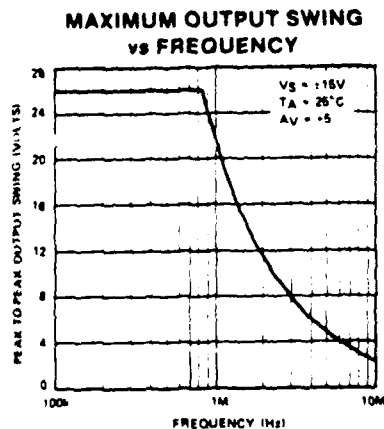
TYPICAL PERFORMANCE CHARACTERISTICS (OP-16)



TYPICAL PERFORMANCE CHARACTERISTICS (OP-17)

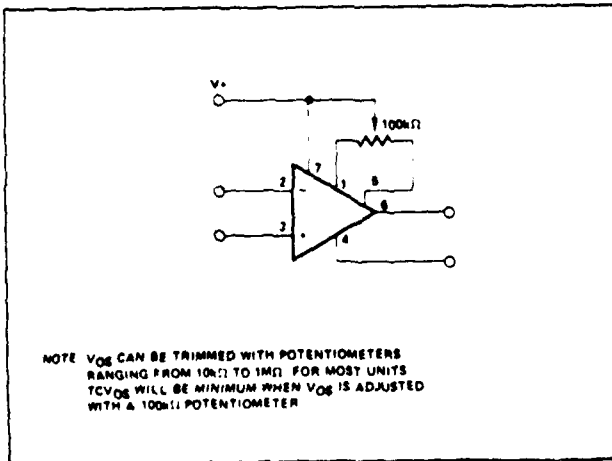


TYPICAL PERFORMANCE CHARACTERISTICS (OP-17)

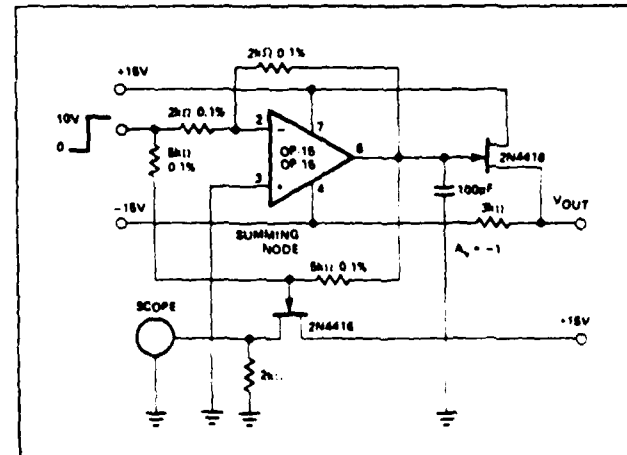


BASIC CONNECTIONS

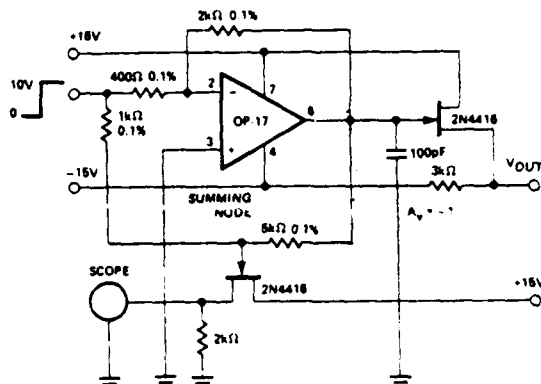
INPUT OFFSET VOLTAGE NULLING



SETTLING-TIME TEST CIRCUIT — OP-15/OP-16

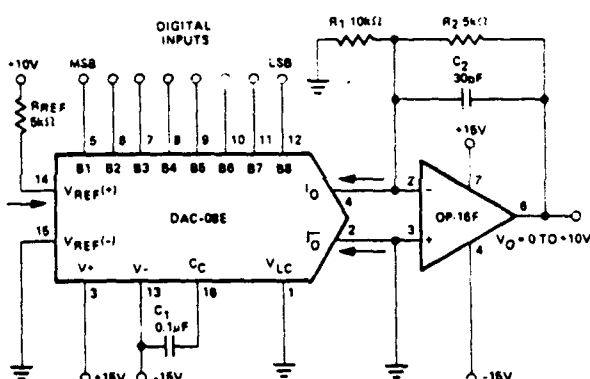


SETTLING-TIME TEST CIRCUIT — OP-17



TYPICAL APPLICATIONS

CURRENT-TO-VOLTAGE AMPLIFIER OUTPUT



APPLICATIONS INFORMATION

DYNAMIC OPERATING CONSIDERATIONS

As with most amplifiers, care should be taken with lead dress, component placement, and supply decoupling in order to ensure stability. For example, resistors from the output to an input should be placed with the body close to the input to minimize "pick-up" and maximize the frequency of the feedback pole by minimizing the capacitance from the input to ground.

A feedback pole is created when the feedback around any amplifier is resistive. The parallel resistance and capacitance

from the input of the device (usually the inverting input to AC ground) set the frequency of the pole. In many instances the frequency of this pole is much greater than the expected 3dB frequency of the closed-loop gain and consequently there is negligible effect on stability margin. However, if the feedback pole is less than approximately six times the expected 3dB frequency, a lead capacitor should be placed from the output to the negative input of the op amp. The value of the added capacitor should be such that the RC time-constant of this capacitor and the resistance it parallels is greater than, or equal to, the original feedback pole time constant.

TNO-rapport

BIJLAGE 4

PML 233492012

Pagina

1

BIJLAGE 4 SPECIFICATIONSHEET DYMEC 5711/5712

DYMECA Subsidiary of
SILICON TRANSISTOR CORP

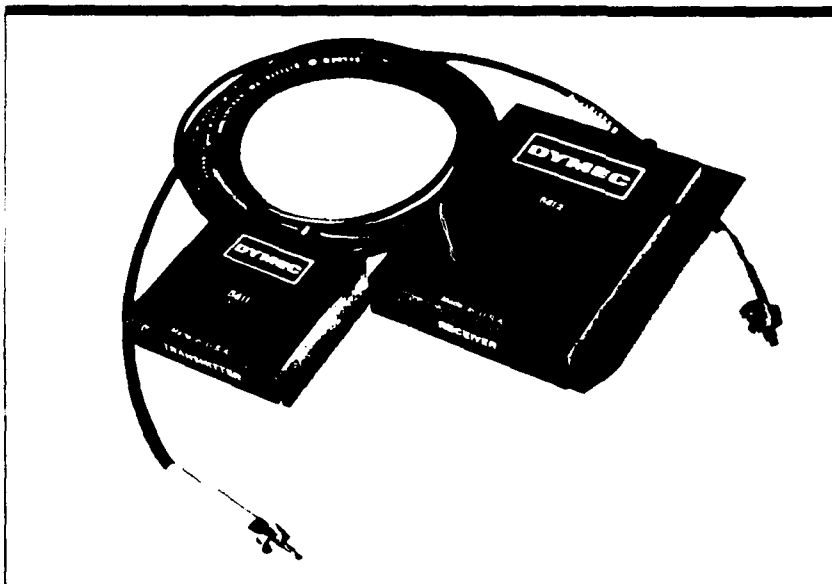
MODELS

Transmitters: S.E. - 5711, 5714, 57

Diff. - 5719, 5720, 57

Receivers: - 5712, 5715, 57

5710 Series of Instrumentation-Grade, 1MHz Bandwidth Analog Fiber Optic Data Links



Description

The **5710 Series** are instrumentation-grade analog data links designed to allow precision transmission of analog signals over moderate distances with no degradation due to EMI or RFI, ground loops, transients or other error-inducing sources. A link is comprised of an analog transmitter and receiver, interconnected by a fiber optic cable up to 1KM (0.62 mile) in length. Analog voltage ranges of $\pm 1V$, $\pm 5V$, or $\pm 10V$ may be independently selected for the transmitter input or receiver output. Link linearity is 0.1% typical, 0.2% maximum.

The analog input to the transmitter, which can be either single-ended or differential depending on model, is used to frequency modulate the optical carrier that is coupled to the fiber, and subsequently demodulated at the receiver.

to recover the analog signal. This FM transmission technique is insensitive to link length or optical component aging, thus making frequent recalibration of link gain and offset unnecessary. The use of optical fiber as the transmission medium insures data integrity at the receiver due to its inherent immunity to EMI and RFI, lightning, motor transients, or other interference.

Physically, the **5710 Series** of analog fiber optic transmitters and receivers are pc board-mounted modules measuring 3.0" x 2.5" x 0.5". Electrical connection is made through pins on the bottom of the module; optical connection is by Amphenol 905-type SMA connector mounted on one end. Power dissipation is less than 2.2 watts. Operation to rated performance is over a -25°C to +70°C temperature range.

Features

- 1MHz Analog Bandwidth
- Single-ended or Differential Inputs
- User-specified Analog I/O Ranges
 $\pm 1V$, $\pm 5V$, or $\pm 10V$ standard
- Fiber Optic Transmission
Impervious to EMI/RFI
- FM Transmission Technique
Insensitive to Link Length or Component Aging
- Excellent Link Linearity
0.1% end-to-end
- Excellent Stability
100ppm FS/°C

Applications

- Process Control
- Power Monitoring
- Medical Instrumentation
- Voice-grade Data Links

Specifications

All Specifications Guaranteed at 25°C Unless Otherwise Noted

TRANSMITTERS			RECEIVERS		
Analog Input			Spectral Line Half-width		
Input Range			35nm		
5711, 5719	5714, 5720	5717, 5721	Numerical Aperture (NA)		
±1.0V	±5.0V	±10.0V	0.50		
OVERRANGE			Total Output Power (P_o)		
5%			500μW minimum		
Input Impedance			Optical Pulse Response (t_r, t_f)		
5711			12ns typical		
7kΩ nominal					
5714					
35kΩ nominal					
5717					
70kΩ nominal					
5719, 5720, 5721					
Differential, 40kΩ					
Offset Adjustment Range			Power Requirements		
±0.03% FS maximum			+15V, ±3% (+V _s)	-15V, ±3% (-V _s)	
Oversupply Protection			50mA maximum	25mA maximum	
±V _s without damage			+5V, ±5% (+V _{cc})		
CMRR (5719-21 only)			150mA maximum		
80dB typical.					
70dB minimum					
FM Output			Environmental and Mechanical		
Frequency Range			Operating Temperature		
9MHz ±1MHz			-25°C to +70°C		
OVERRANGE			Storage Temperature		
5%			-30°C to +100°C		
Transfer Characteristic			Dimensions		
8MHz = +V _{FS}			2.50" x 3.00" x 0.50"		
9MHz = 0V			(63.5 x 76.2 x 12.7 mm)		
10MHz = -V _{FS}			Optical Connector		
Output Pulse Width			Amphenol 905-135-5000		
50ns ±10ns					
Fanout					
10 TTL loads					
Transfer Characteristics					
Analog Bandwidth (-3dB)					
5711, 5714, 5717, 5719					
dc to 1MHz					
5720					
dc to 500kHz					
5721					
dc to 250kHz					
Non-linearity					
±0.05% FS typical, 0.1% FS maximum					
Tempco					
±100ppm/°C of Full Scale span					
Power Supply Sensitivity					
±200ppm FS/ 1% change in supply					
voltage, maximum					
Warm-up Time					
10 minutes to rated performance					
Optical Output					
Optical Port Core Diameter					
200μm					
Peak Wavelength (λ)					
820nm					

Specifications (continued)

All Specifications Guaranteed at 25°C Unless Otherwise Noted

Transfer Characteristics	Environmental and Mechanical
Analog Bandwidth (-3dB) dc to 1MHz	Operating Temperature -25°C to +70°C
Non-linearity ±0.05% FS typical, ±0.1% FS maximum	Storage Temperature -30°C to +100°C
Tempco ±100ppm FS/°C of Full Scale span	Dimensions 2.50" x 3.00" x 0.50" (63.5 x 76.2 x 12.7 mm.)
Power Supply Sensitivity ±200ppm FS/1% change in supply voltage	Optical Connector Amphenol 905-135-5000
Warm-up Time 10 minutes to rated performance	
Optical Input	LINK
Optical Port Core Diameter 200μm	Signal-to-Noise Ratio 40dB minimum, 55dB typical
Peak Wavelength (λ) 820nm	Optical Budget 10dB minimum, 16dB typical
Numerical Aperture (NA) 0.70	Link Length 1KM (0.62 miles) maximum
Minimum Input Power 5μW	Recommended Cable DYMEC Model 5751-xxxx or equiv 100/140 micron (core/cladding), glass. <4dB/km loss at 820nm; 100MHz BW (see Model 5751 data sheet for more information)
Maximum Input Power •20μW	
Optical Pulse Response (t_r, t_f) 10ns typical	Transmitters with voltage follower input ($10^9 \Omega$) are available; please consult factory
Power Requirements +15V, ±3% (+V _s) -15V, ±3% (-V _s) 65mA maximum 50mA maximum +5V, ±5% (+V _{cc}) 85mA maximum	

Using the 5710 Series of Analog Data Links

Configuring the Link

All transmitters and receivers in the **5710 Series** are interchangeable to allow the maximum flexibility in configuring an optimum link for the particular applications. Different full scale voltages may be used on the input and output, i.e. a ±1V differential input transmitter may be used with a ±10V output receiver, with no performance penalties.

Transmitter Input Considerations

The input impedance of the **5710 Series** data links is moderately low, at 7kΩ single-ended and 40kΩ differential. A low source

impedance is therefore necessary in order to preserve the full dynamic range of the input signal and the signal-to-noise ratio of the link. Typically, the signal to the transmitter can be supplied from the output of a buffer amplifier or gain stage depending upon the particular system that precedes the link.

Receiver Output Considerations

Each of the receivers will drive 10mA single-ended into a load at their rated output voltage. The output impedance of the receivers is less than 0.1Ω. A 2-pole low-pass filter is provided to reduce the carrier frequency output ripple voltage down to the levels listed in the

specification for the particular receiver. An additional low-pass filter may be necessary to reduce this ripple voltage to a level appropriate for the device being supplied by the receiver. However, as the number of poles of filtering are increased, the response time of the link will increase.

Connecting the Link

The fiber optic cable is connected to the transmitter and receiver via SMA-type connectors at the optical ports. **It is critical that these connectors be hand tightened only.** If a wrench or other tool is used to

Using the 5710 Series of Analog Data Links (continued)

torque the connectors down, the lenses of the **optical components will be damaged** and the link will not operate and the **warranty will be voided**.

DYMEC Model 5751-xxxx fiber optic cable or equivalent is recommended. With the length xxxx is specified in meters up to 1KM. Please see the ordering guide on the last page of this data sheet, and the separate data sheet for Model 5751-xxxx table for more information.

Normal Operation

Normal operation of the link is accomplished with a fiber optic cable connected between the optical ports of the transmitter and receiver. It is important to note that **pin E (Channel Select)** on the receiver must be at a TTL "high" (>2.4V) for normal operation.

Verifying Link Operation

The operation of the non-optical portions of the link transmitter and receiver may be verified in a laboratory or field service

facility by supplying a normal input signal to the transmitter, monitoring the output of the receiver, and replacing the optical path with an electrical connection between the transmitter and receiver. To do this, connect **pin E (FM Output)** on the transmitter to **pin J (Frequency Input)** on the receiver with a short piece of wire. Jumper pin **E (Channel Select)** on the receiver to ground or TTL "low" (<0.8V). A direct connection between the transmitter and receiver is now established and voltages applied to the transmitter input within its full scale range should appear at the receiver output, scaled to its full scale range. This verifies all of the transmitter and receiver electronics except the optical driver and receiver components. If this connection produces the appropriate voltages at the receiver output, verify the integrity of the fiber optic cable, connectors, and any splices or bulkhead feedthroughs in the optical

path. If all of these check out and the link still does not function properly, please consult the factory.

Link Calibration

Calibration of the link is accomplished after the transmitter and receiver are connected together via the fiber optic cable. Equipment required to calibrate the link is: a frequency counter capable of reading a 10.0000MHz, TTL input and an accurate voltage source at the transmitter, and an accurate voltmeter at the receiver.

To the transmitter, connect the input of the counter to **pin E (FM Out)** and **pin B (Common)**. Connect the output of the voltage source to the **Analog Input (pin F)** and **Analog Reference (pin G)**. With the voltage source set to 0V, adjust the **OFFSET** potentiometer on the transmitter until the counter reads 9.0000MHz. With the voltage

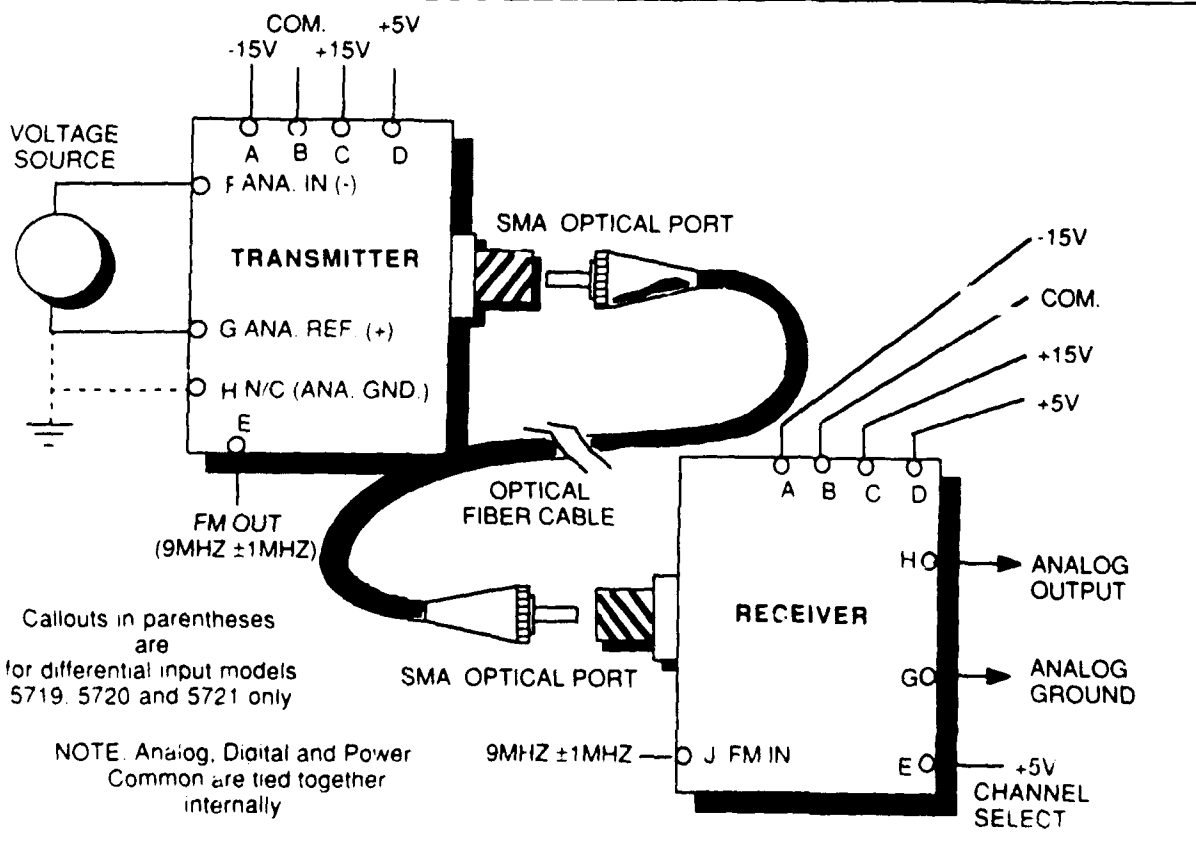


Figure 1. Typical Interconnection Scheme

Using the 5710 Series of Analog Data Links (continued)

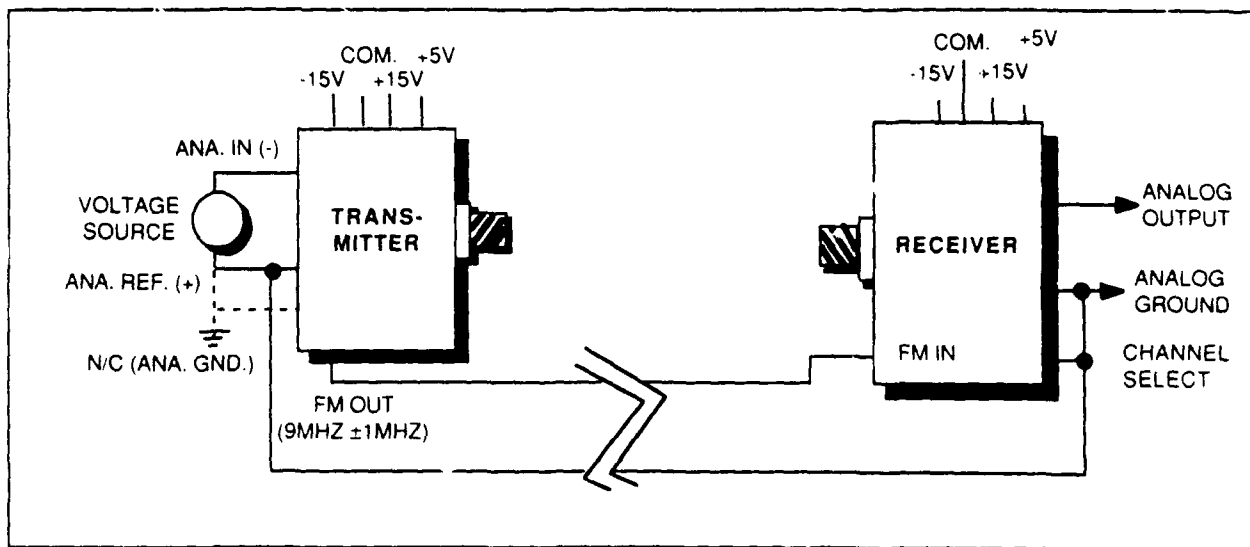


Figure 2. Link Verification

source set at $+V_{FS}$, adjust the **GAIN** potentiometer on the transmitter until the counter measures the same deviation in frequency ($\approx 1\text{MHz}$) from 0V (9MHz) input as when $-V_{FS}$ is applied to the input. The gain adjust may affect the offset adjustment; it may be necessary to readjust the offset. The transmitter is now calibrated.

At the receiver, connect the input of the voltmeter to the receiver output, pin H (Analog Output) and pin G (Analog Ground). Apply $-V_{FS}$ to the input of the transmitter, then $+V_{FS}$, noting the output voltage of the receiver each time. Adjust the receiver OFFSET potentiometer such that the deviation is equal from 0V when $-V_{FS}$ and

$+V_{FS}$ are alternately applied to the transmitter input. After the offset has been calibrated, use the **GAIN** potentiometer to adjust the output to $+V_{FS}$ and $-V_{FS}$ when the same voltages are applied to the transmitter input. The link is now calibrated.

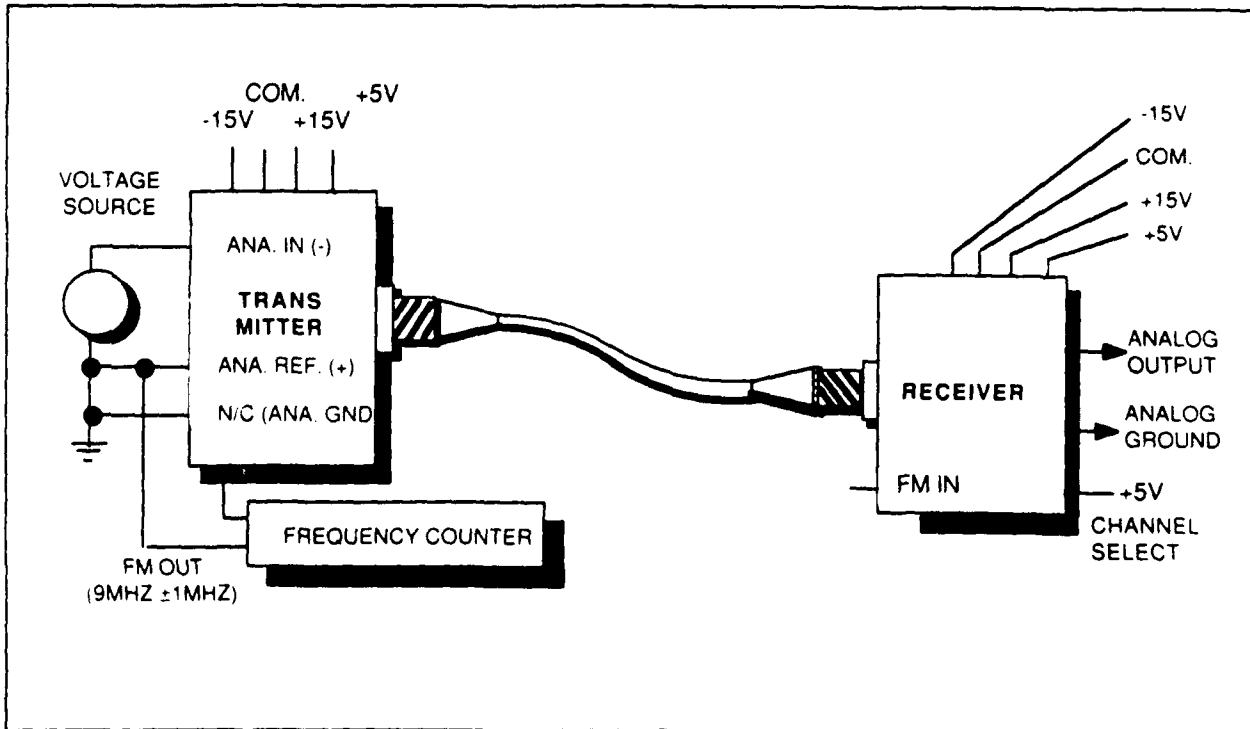


Figure 3. Link Calibration

TNO-rapport

PML 233492012

BIJLAGE 5

Pagina

1

BIJLAGE 5 DATA SHEET CALEX DC/DC CONVERTER 12T5.15UW

8.5 Watt Triple Output DC/DC Converters

3355 Vincent Road, Pleasant Hill, CA 94523-4389 600-542-3355 Telephone (415)932-3911 FAX (415)932-6017



FEATURES

- Wide 4:1 Input Voltage Range (9-36 or 18-72 VDC)
- Triple Low Noise, Highly Regulated Outputs
- Efficiency 70% for All Line Conditions
- No Derating to 80°C Case Temperature
- Six-Sided Shielded Low Thermal Gradient Copper Case
- 500 VDC Minimum Input to Output Isolation
- Overvoltage Protected Outputs
- Pulse by Pulse Digital Current Limiting
- 5 Year Warranty

SELECTION CHART

MODEL	INPUT RANGE VDC		OUTPUTS VDC	OUTPUTS mA	CASE
	MIN	MAX			
12T5.12UW	9.00	36.00	5.±12	800.±185	XC
12T5.15UW	9.00	36.00	5.±15	800.±150	XC
48T5.12UW	18.00	72.00	5.±12	800.±185	XC
48T5.15UW	18.00	72.00	5.±15	800.±150	XC

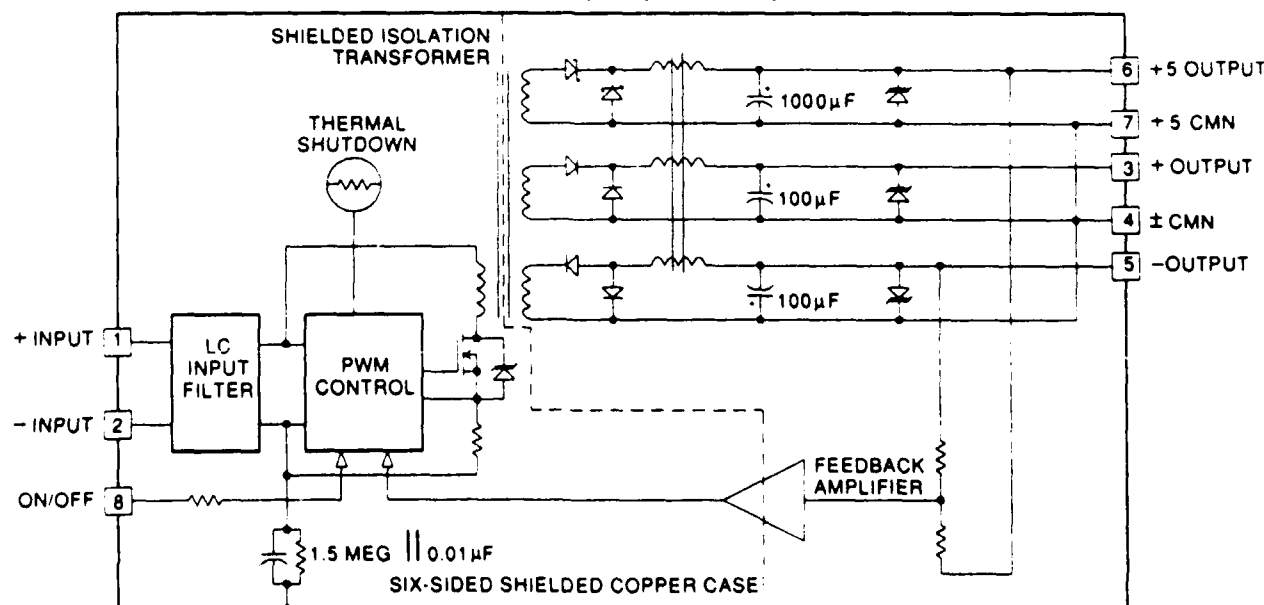
DESCRIPTION

The 8.5 Watt Triple Output DC/DC converters are ideal for wide (4:1) input range applications. These units are particularly well suited for solar powered RTUs and instruments.

They are designed with a high accuracy feedback control circuit and coupled inductor magnetics. Each converter has both a logic shut down pin and thermal overload protection circuitry. All outputs and the power switch are overvoltage protected.

These converters are encased in a six-sided, completely shielded copper case. The UW Triple Series is covered under the CALEX 5 Year Warranty.

8.5 WATT TRIPLE SERIES BLOCK DIAGRAM

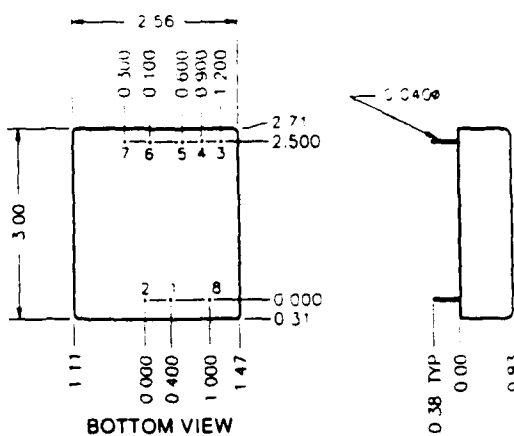


8.5 Watt Triple Output DC/DC Converters

3355 Vincent Road, Pleasant Hill, CA 94523-4389 800-542-3355 Telephone (415)932-3911 FAX: (415)932-6017



GENERAL SPECIFICATIONS (1)			
MODEL	ALL MODELS		UNITS
LOGIC SHUTDOWN (9)			
On Logic Level or leave pin open	MIN	2.4	VDC
OFF Logic Level	MAX	1.2	VDC
Input Resistance	TYP	10	kOhms
Converter Idle Current, Shut Down Pin Low	TYP	6.0	mA
ISOLATION			
Isolation Voltage Input-Output 10 μ A Leakage	MIN	500	VDC
Input to Output Capacitance	TYP	190	pF
ENVIRONMENTAL			
Case Operating Range, No Derating	MIN	-25	°C
	MAX	80	
Case Functional Range (10)	MIN	-40	°C
	MAX	90	
Storage Range	MIN	-55	°C
	MAX	100	
Thermal Impedance (11)	TYP	4.4	°C/Watt
Thermal Shutdown Case Temperature	TYP	90	°C
Unit Weight	TYP	7.0	oz
Case		XC	
Mounting Kit		MS9	



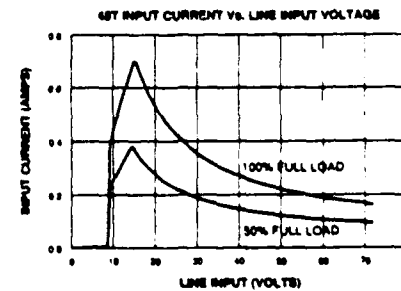
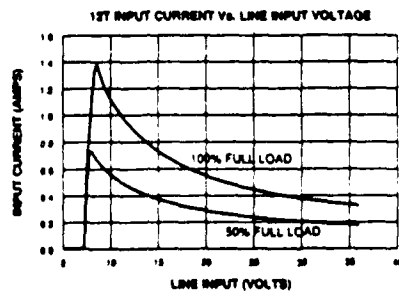
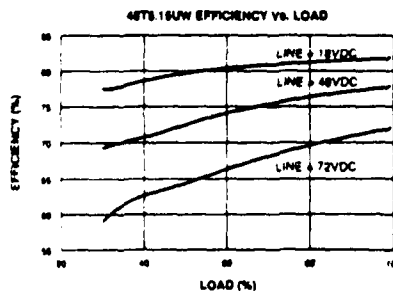
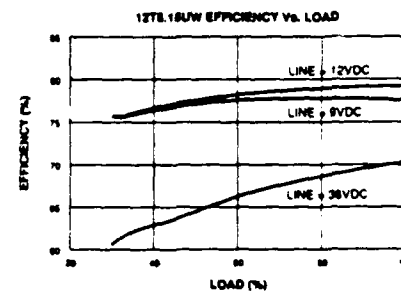
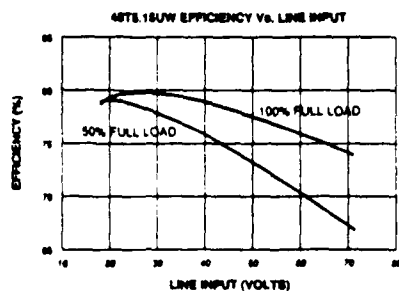
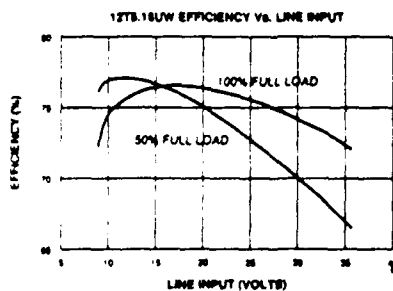
Mechanical tolerances unless otherwise noted:

X.XX dimensions: ± 0.020 inches

X.XXX dimensions: ± 0.005 inches

Seal around terminals is not hermetic. Do not immerse units in any liquid.

PIN NUMBER & FUNCTION	
1	+INPUT
2	-INPUT
3	+12/+15 OUTPUT
4	\pm OUTPUT CMN
5	-12/-15 OUTPUT
6	+5 OUTPUT
7	+5 CMN
8	ON/OFF



*Curves are applicable to both outputs ± 12 and ± 15 VDC.



3355 Vincent Road, Pleasant Hill, CA 94523-4389 800-542-3355 Telephone (415)932-3911 FAX: (415)932-6017

8.5 Watt Triple Output DC/DC Converters

INPUT PARAMETERS (1)					
MODEL		12T5.12UW	12T5.15UW	48T5.12UW	48T5.15UW UNITS
Voltage Range	MIN MAX	9.00 36.00		18.00 72.00	VDC
Reflected Ripple, 0-20MHz BW	TYP MAX		30 60		mA p-p
Input Current, Full Load No Load	TYP TYP	908 19	908 19	230 15	230 15 mA
Efficiency	TYP		78		%
Switching Frequency	TYP		55		KHz
Maximum Input Over Voltage, 100mS No Damage	MAX		45	85	VDC
Turn-on Time, 1% Output Error	TYP		120		μSec
Recommended Fuse			(2)		

OUTPUT PARAMETERS (1)					
MODEL		12T5.12UW 48T5.12 UW	12T5.15UW 48T5.15UW	12T5.12UW 48T5.12UW	12T5.15UW 48T5.15UW UNITS
Output Voltage		5	±12	±15	VDC
Rated Current (3)	MIN MAX	200 800	50 185	50 150	mA
Voltage Range 100% Load	MIN TYP MAX	4.900 5.000 5.100	11.760 12.000 12.240	14.550 15.000 15.450	VDC
Load Regulation 0-100% Load	TYP MAX	2.0 3.5	2.0 3.0	2.0 3.0	%
Line Regulation Vin = Min-Max VDC	TYP MAX	0.5 1.5	0.5 1.0	0.5 1.0	%
Short Term Stability (4)	TYP		0.02		%
Long Term Stability	TYP		0.2		%/kHrs
Transient Response (5)	TYP		40		μSec
Dynamic Response (6)	TYP	75	70	50	mV peak
Input Ripple Rejection (7)	TYP		35		dB
Noise, 0-20MHz BW	TYP MAX		20 50		mV p-p
Temperature Coefficient	TYP MAX		120 200		ppm/°C
Overvoltage Clamp (8)	TYP	6.8	15.0	18.0	VDC
Short Circuit Protection to Common for all Outputs		Continuous, 8 Hours Minimum Current Limit and Thermal Overload			

NOTES:

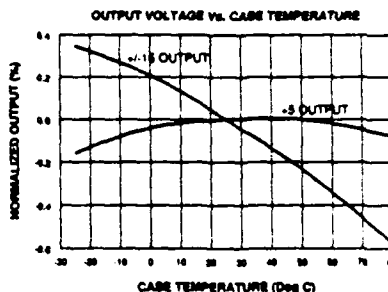
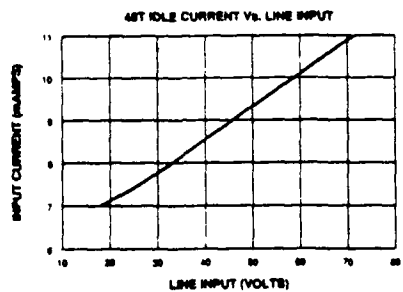
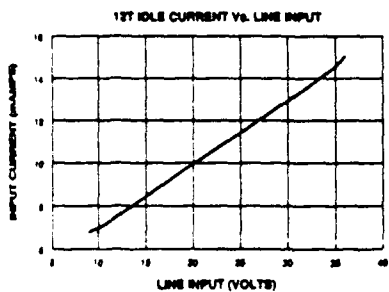
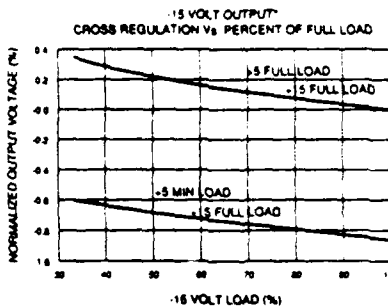
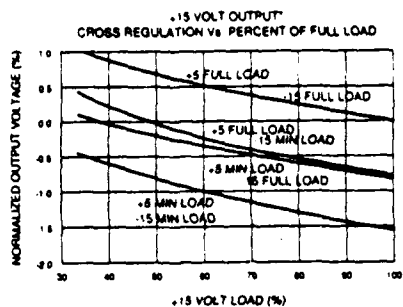
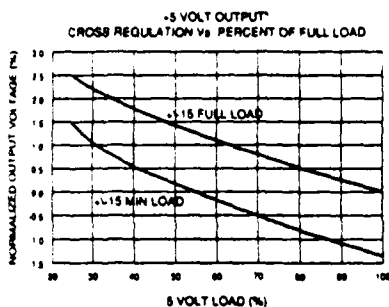
- (1) All parameters measured at 25 °C, nominal input voltage and full rated load unless otherwise noted. Refer to the CALEX Application Notes for the definition of terms, measurement circuits and other information.
- (2) Determine the correct fuse size by calculating the maximum DC current drain at low line input, maximum load and then adding 20 to 25 percent.
- (3) The module will not be damaged if run at less than minimum load. Regulation can degrade with less than minimum load or substantial load imbalance.
- (4) Short term stability is specified after a 30 minute warm-up at full load, and with constant line, load and ambient conditions.
- (5) The transient response is specified as the time required to settle from 25 to 75% step load change (rise time of step = 2μSec.) to a 1% error band.
- (6) Dynamic response is the peak overshoot voltage during the transient response time defined in note 5 above.
- (7) The input ripple rejection is specified for DC to 120Hz ripple with a modulation amplitude of 1% Vin.
- (8) For module protection only, see also note 2.
- (9) The logic shutdown pin is Open Collector TTL, CMOS, and relay compatible. The input to this pin is referenced to input minus.
- (10) The functional temperature range is intended to give an additional data point for use in evaluating this power supply. At the low functional temperature the power supply will function with no side effects, however, sustained operation at the high functional temperature will reduce expected operational life. The data sheet specifications are not guaranteed over the functional temperature range.
- (11) The case thermal impedance is specified as the case temperature rise over ambient per package watt dissipated.



3355 Vincent Road, Pleasant Hill, CA 94523-4389 800-542-3355 Telephone (415)932-3911 FAX: (415)932-6017

8.5 Watt Triple Output DC/DC Converters

Typical Performance ($T_c=25^\circ\text{C}$; Full Rated Load).



*Curves are applicable to both outputs ± 12 and $\pm 15\text{VDC}$.

TNO-rapport

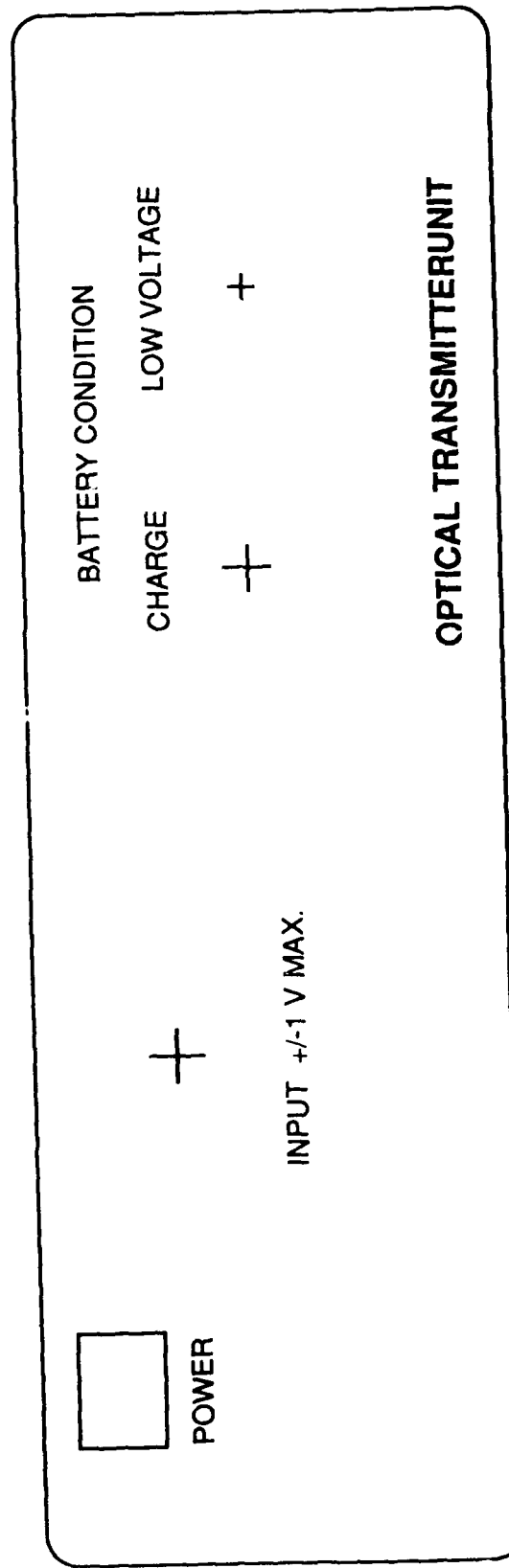
PML 233492012

BIJLAGE 6

Pagina

1

BIJLAGE 6 FRONT LAYOUT OPTICAL TRANSMITTER UNIT (SCHAAL 1:1)



TNO-rapport

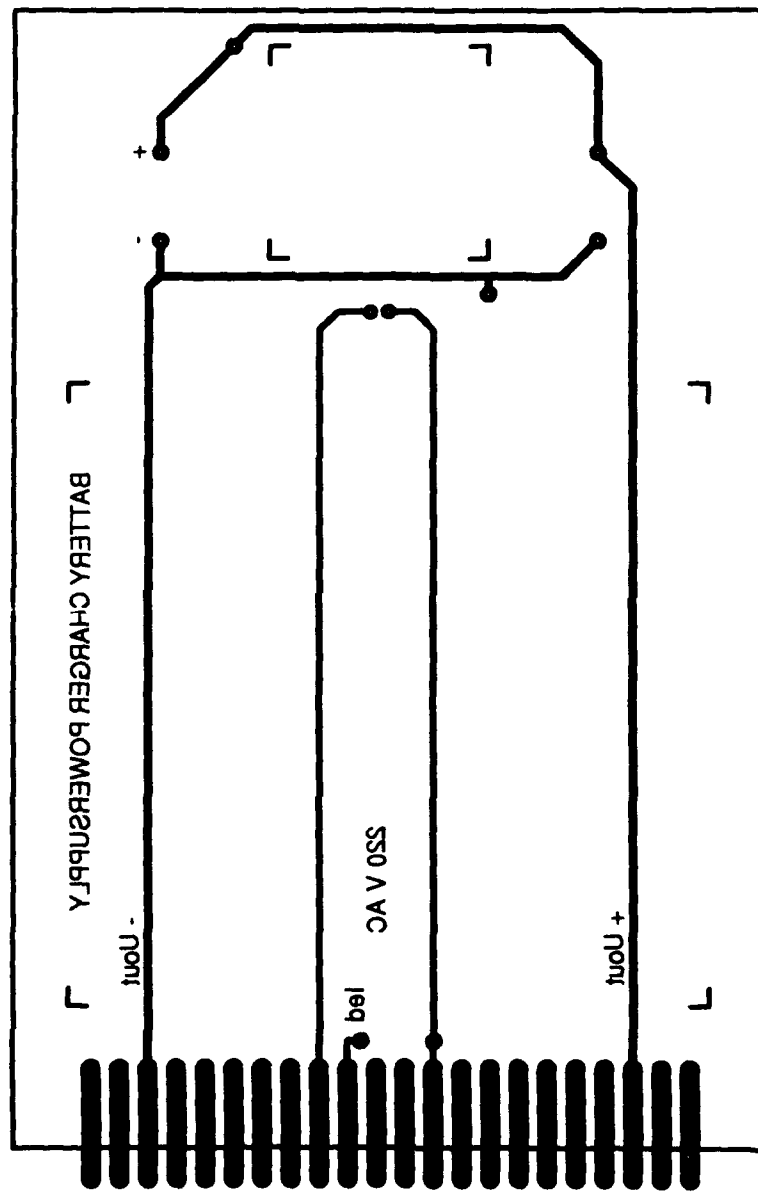
PML 233492012

BIJLAGE 7

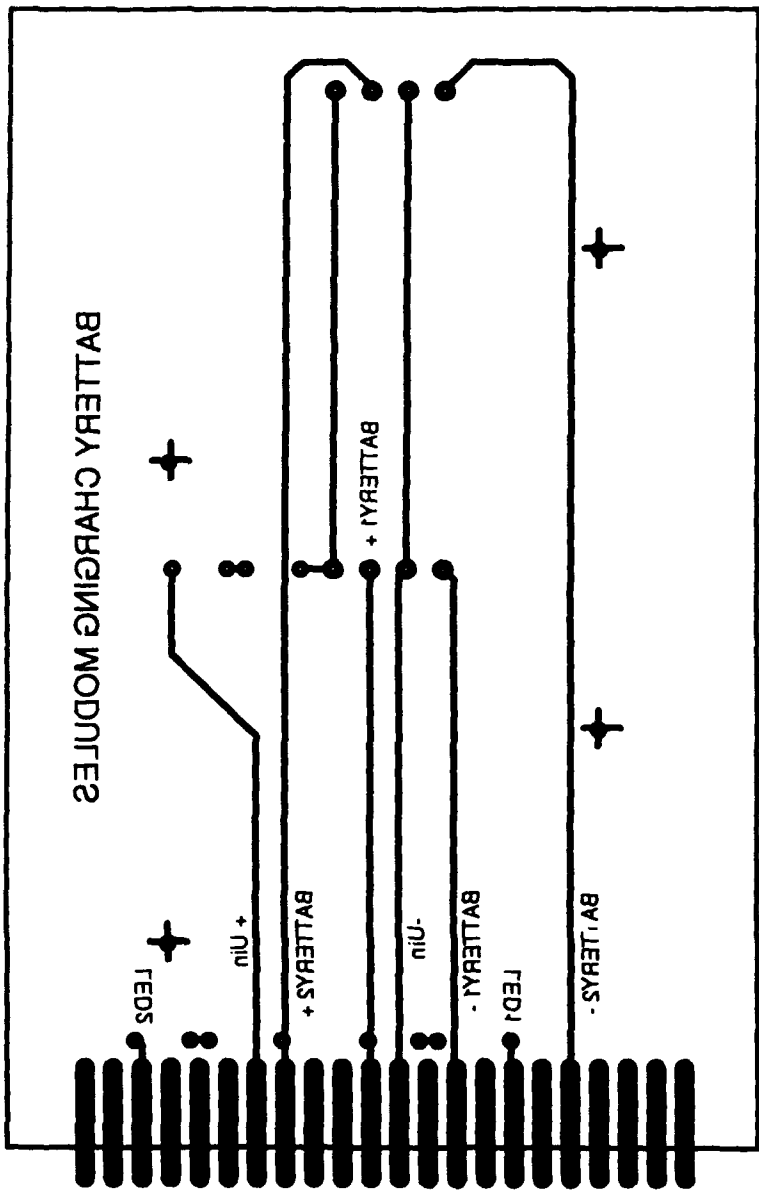
Pagina

1

BIJLAGE 7 BATTERY CHARGER (PRINT LAYOUTS)



BATTERIES CHARGING MODES



TNO-rapport

PML 233492012

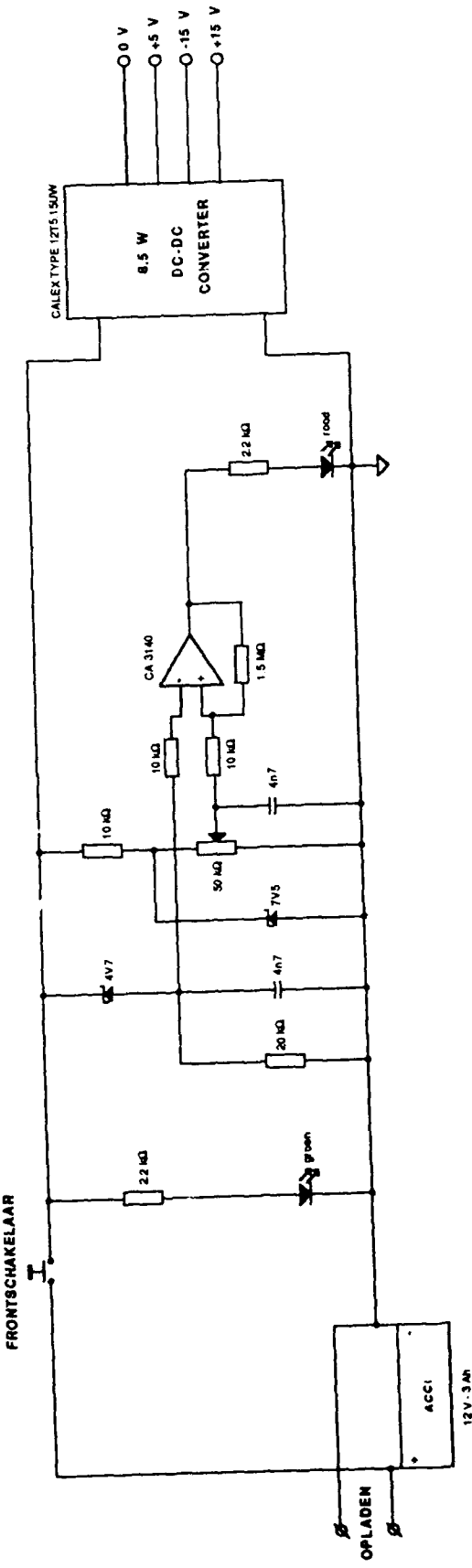
BIJLAGE 8

Pagina

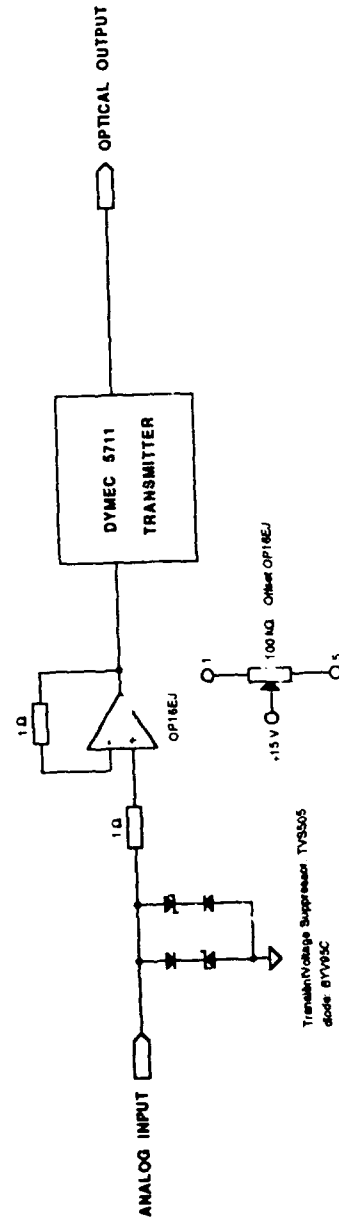
1

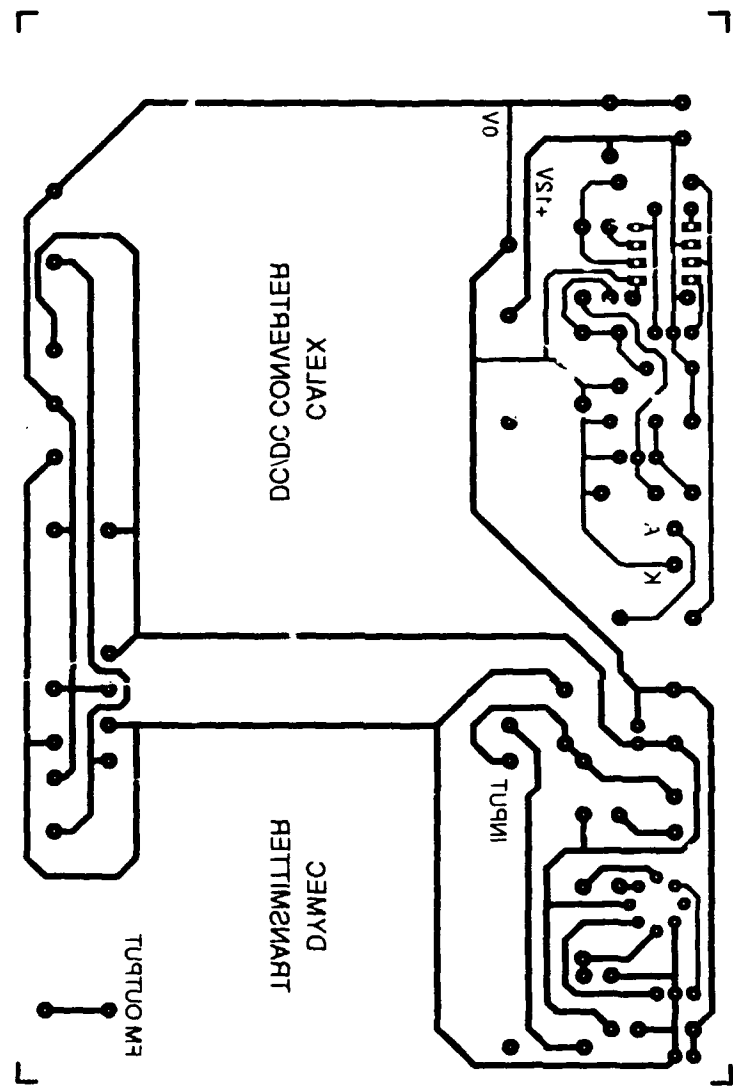
**BIJLAGE 8 OPTICAL TRANSMITTER UNIT (ELEKTRISCH SCHEMA, PRINT
LAYOUT EN COMPONENTENLIJST)**

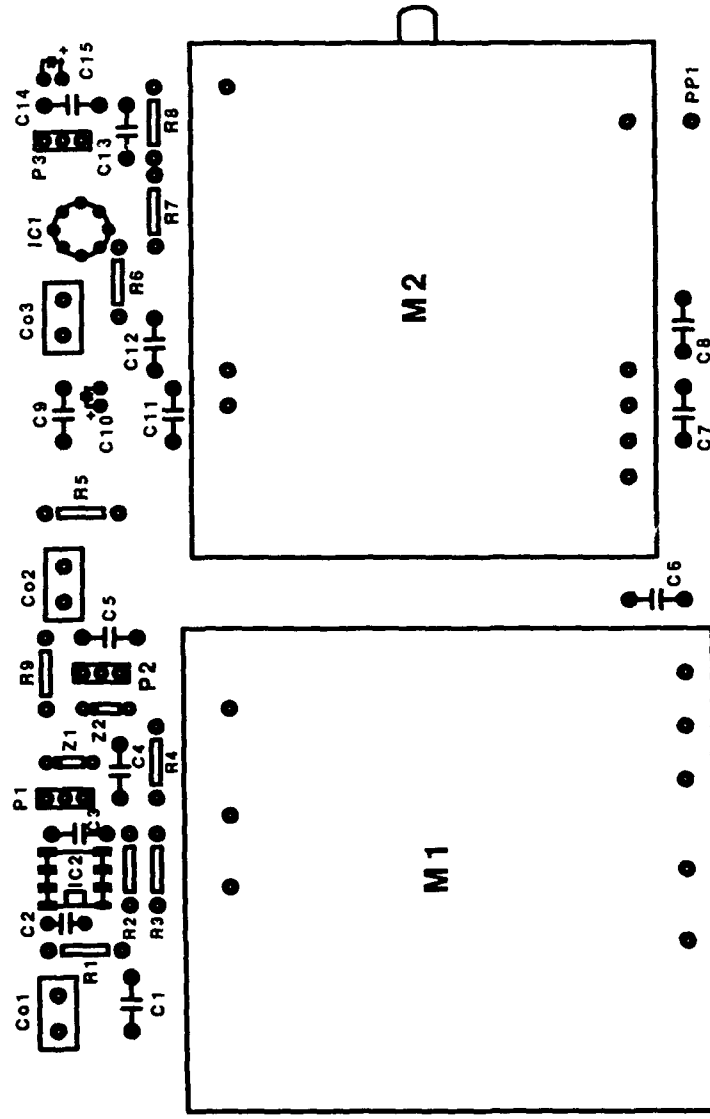
BATTERIJ CONDITIE CIRCUIT



TRANSMITTER CIRCUIT







Componentenlijst zendmodule

<u>CODE COMPONENT</u>	<u>OMSCHRIJVING</u>
M1	CALEX DC/DC CONVERTER 12T5.15UW
M2	DYMEC OPTICAL TRANSMITTER 5711
IC1	OPAMP, CA3140E
IC2	OPAMP, PMI OP16EJ
Z1	ZENERDIODE 4V7, 400 mW
Z2	ZENERDIODE 7V5, 400 mW
R1	WEERSTAND, 1.5MΩ
R2	WEERSTAND, 10 kΩ
R3	WEERSTAND, 10 kΩ
R4	WEERSTAND, 20 kΩ
R5	WEERSTAND, 2.2 kΩ
R6	WEERSTAND, 1 Ω, tolerantie 1%
R7	WEERSTAND, 1 Ω, tolerantie 1%
R8	DRAADBRUG
R9	WEERSTAND, 10 kΩ
P1	POTENTIOMETER, Bourns, 100 kΩ, vert. instel.
P2	POTENTIOMETER, Bourns, 50 kΩ, vert. instel.
P3	POTENTIOMETER, Bourns, 100 kΩ, vert. instel.
C1	CONDENSATOR, Siemens, MKT, 100 nF, 100 V
C2	CONDENSATOR, 100 pF, 63 V
C3	CONDENSATOR, Siemens, MKT, 100 nF, 100 V
C4	CONDENSATOR, Siemens, MKT, 4.7 nF, 100 V
C5	CONDENSATOR, Siemens, MKT, 4.7nF, 100 V
C6, C7, C8, C9	CONDENSATOR, Siemens, MKT, 100 nF, 100 V
C10	CONDENSATOR, tantaal, 1 μF, 35 V
C11, C12, C13, C14	CONDENSATOR, Siemens, MKT, 100 nF, 100 V
C15	CONDENSATOR, tantaal, 1 μF, 35 V
Co1, Co2, Co3	PRINTKROONSTEEN, 2-polig
PP1	PRINTPEN

TNO-rapport

PML. 233492012

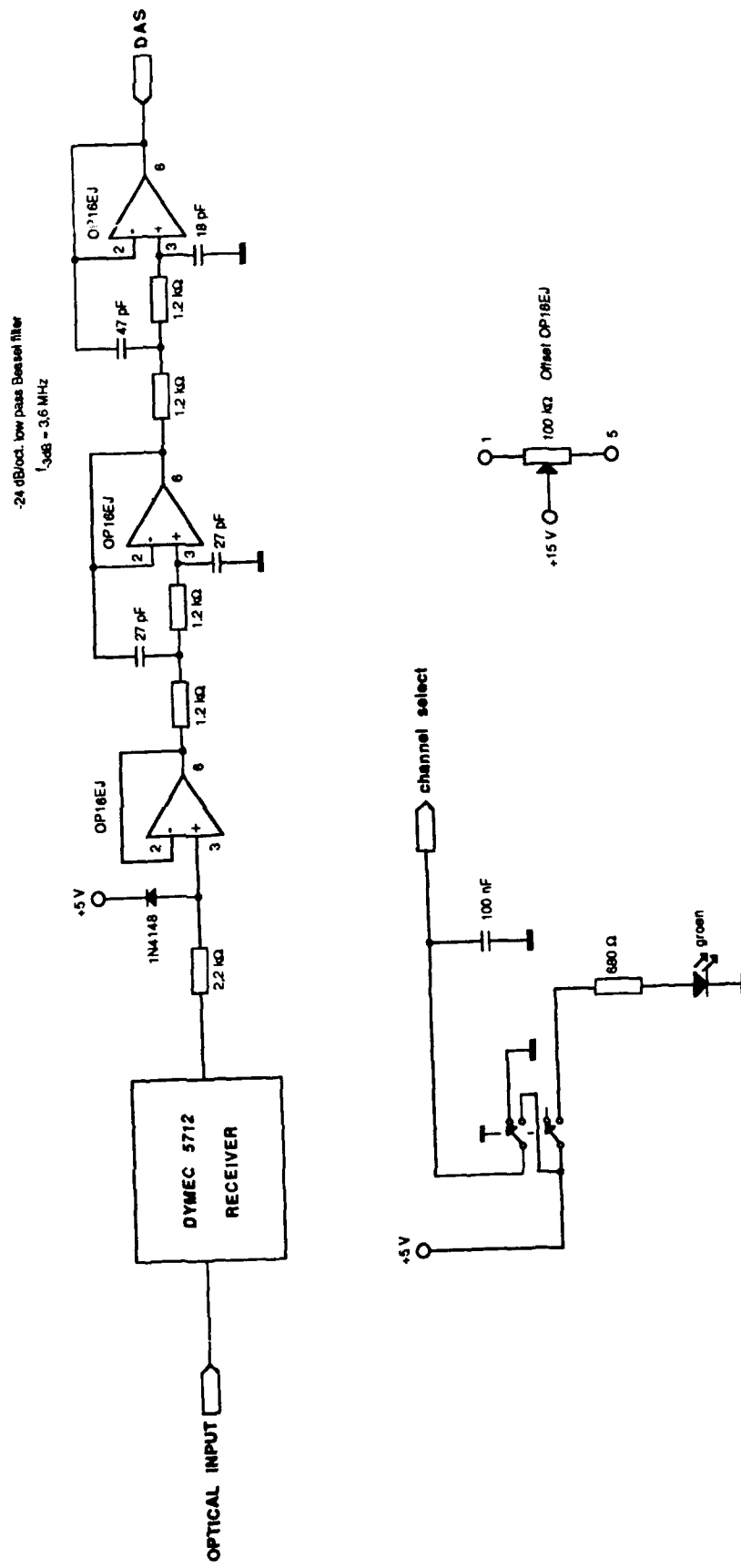
BIJLAGE 9

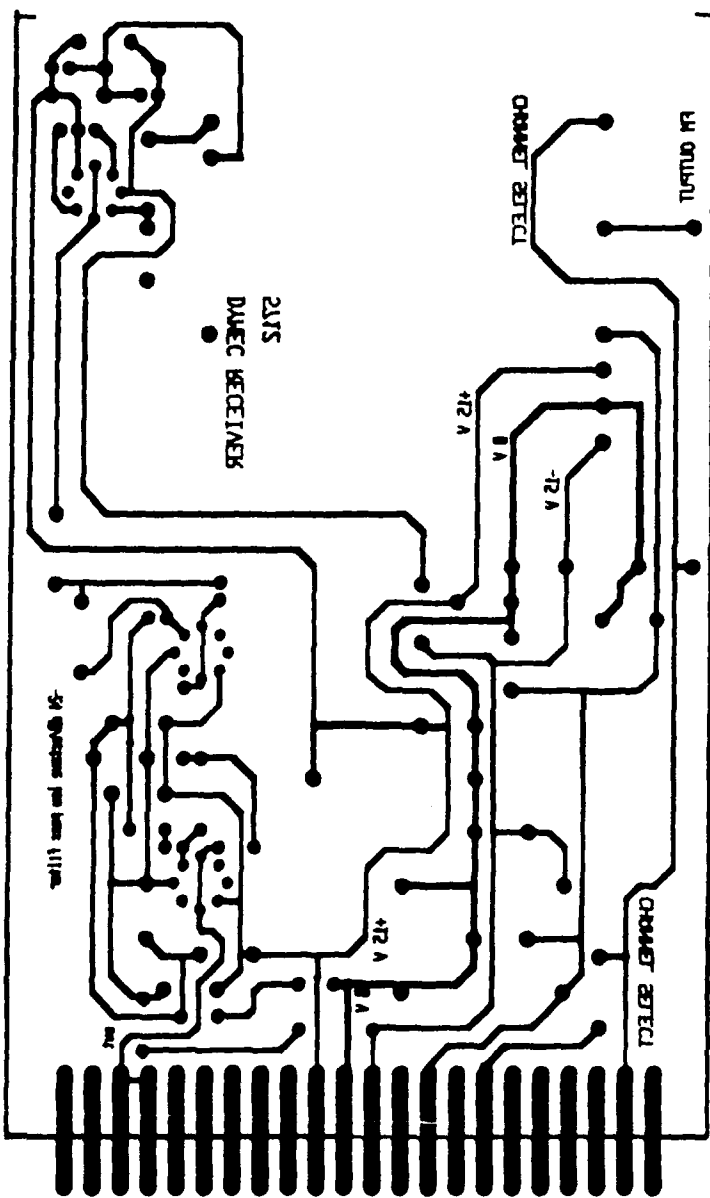
Pagina

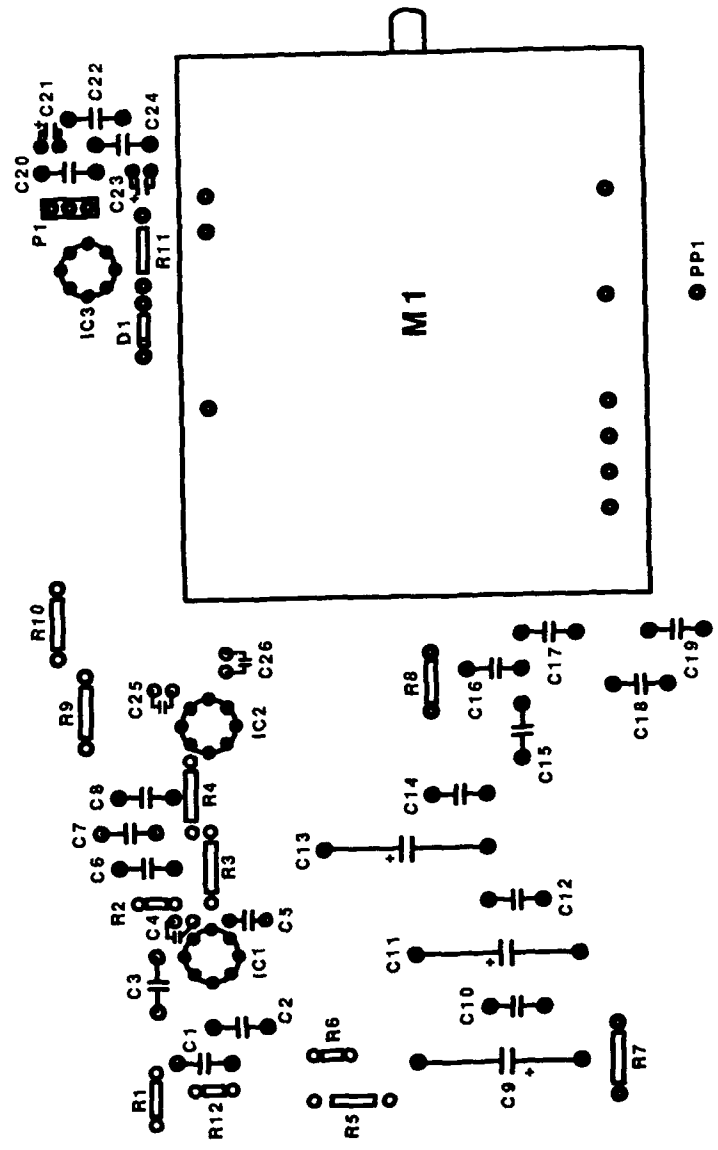
1

**BIJLAGE 9 OPTICAL RECEIVER UNIT (ELEKTRISCHE SCHEMA'S, PRINT
LAYOUTS EN COMPONENTENLIJSTEN)**

RECEIVER MODULE





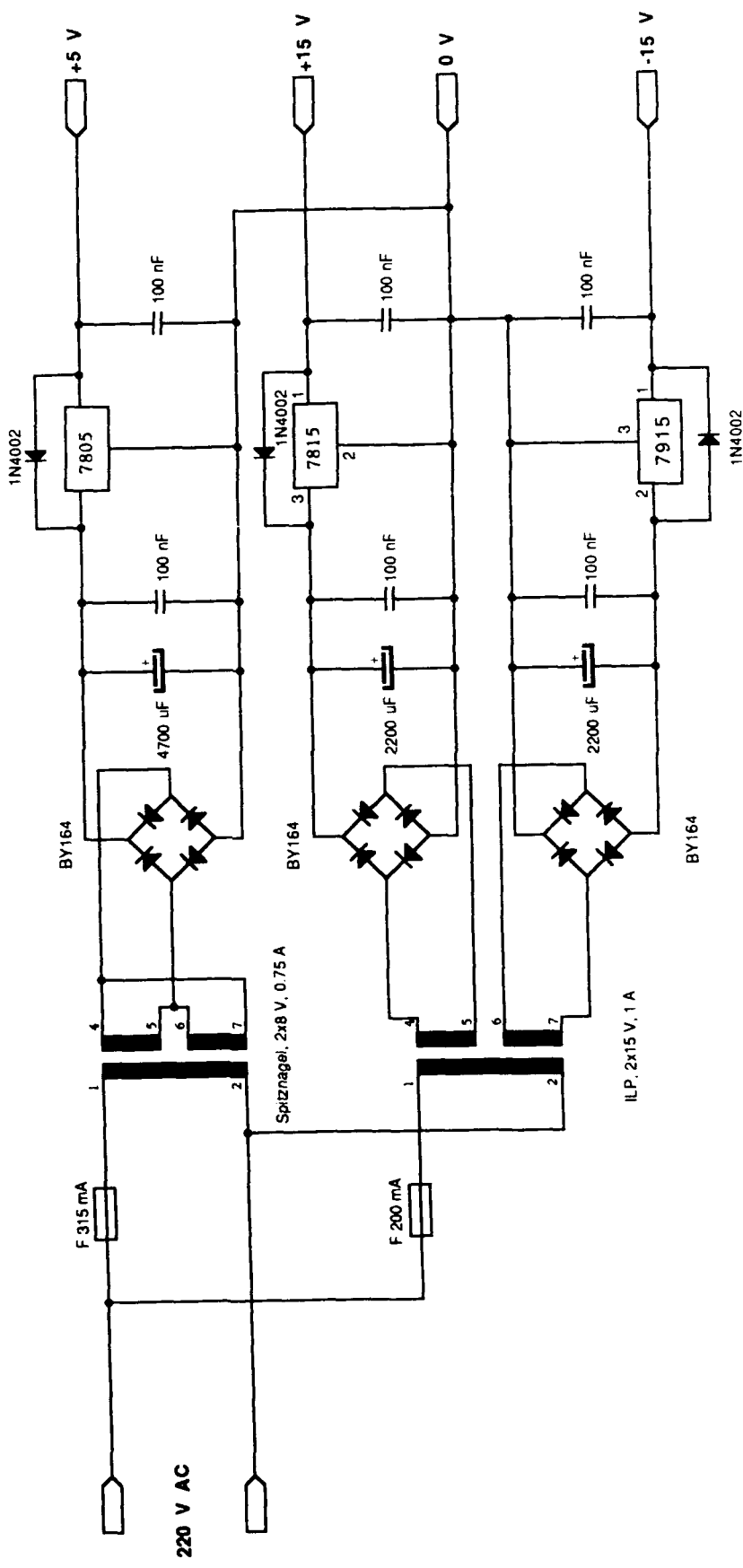


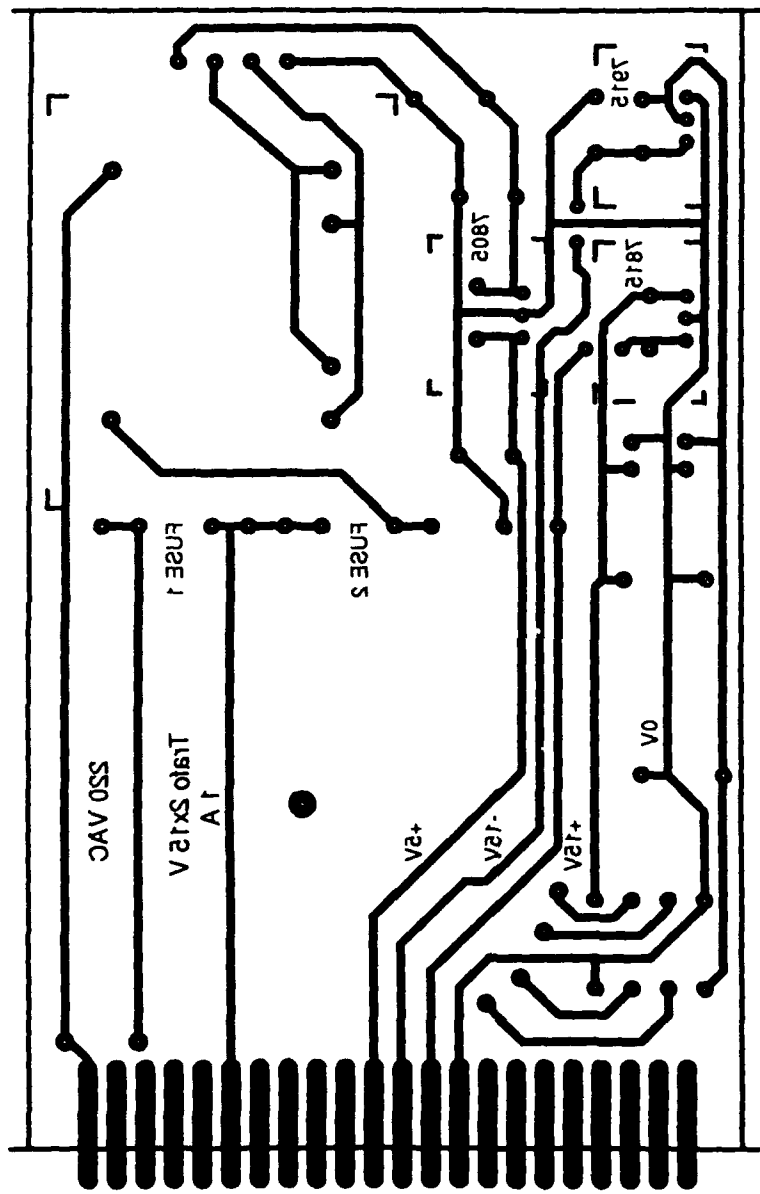
Componentenlijst ontvangermodule

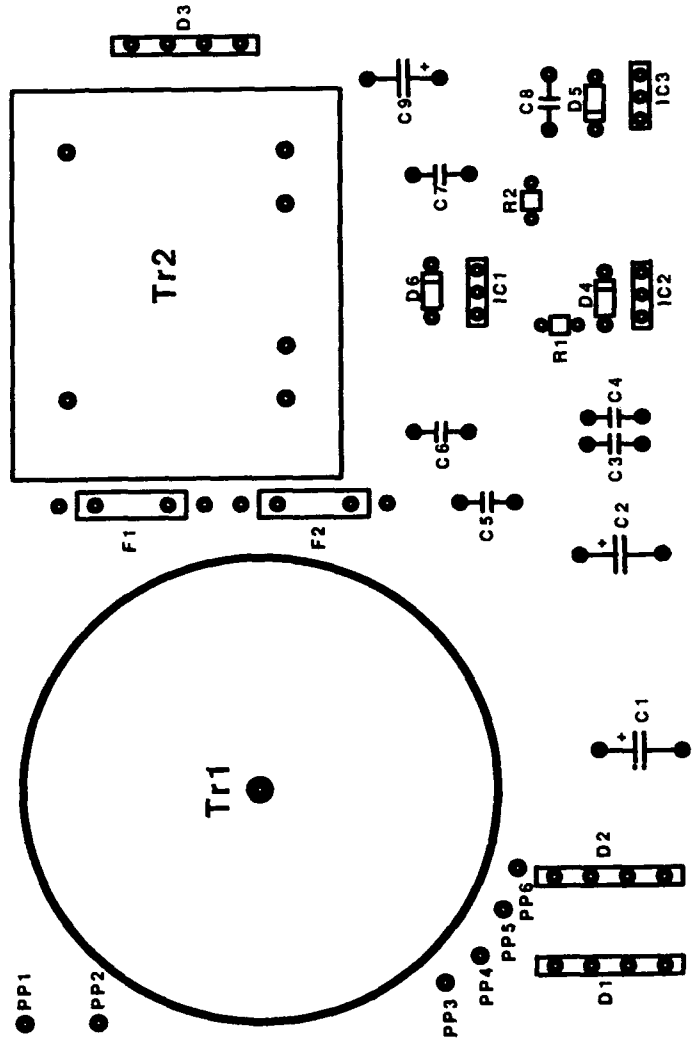
<u>CODE COMPONENT</u>	<u>OMSCHRIJVING</u>
M1	DYMEC OPTICAL RECEIVER 5712
IC1, IC2, IC3	OPAMP, PMI OP16EJ
D1	DIODE, 1N4148
P1	POTENTIOMETER, bourns, 100 kΩ, vert. instel
R1, R2, R5, R6, R8	DRAADBRUG
R3, R4, R9, R10	WEERSTAND 1,2 kΩ, +/- 1%
R7	WEERSTAND 680 Ω, +/- 1%
R11	WEERSTAND 2,2 kΩ, +/- 1%
C1, C2, C3, C6, C7, C8, C10, C12, C14, C15, C16, C17, C18, C19, C20, C22, C24	CONDENSATOR, Siemens, MKT, 100 nF, 100 V
C9, C11, C13	CONDENSATOR, Philips, elko, 100 µF, 40 V
C21, C23	CONDENSATOR, tantaal, 1 µF, 35 V
C4	CONDENSATOR, keramisch, 18 pF, 63 V
C5	CONDENSATOR, keramisch, 47 pF, 63 V
C25	CONDENSATOR, keramisch, 27 pF, 63 V
C26	CONDENSATOR, keramisch, 27 pF, 63 V
PP1	PRINTPEN

**BIJLAGE 10 POWER SUPPLY RECEIVER UNITS (ELEKTRISCH SCHEMA, PRINT
LAYOUT EN COMPONENTENLIJST)**

POWERSUPPLY ONTVANGERMODULES







Componentenlijst powersupply ontvangermodules

<u>CODE COMPONENT</u>	<u>OMSCHRIJVING</u>
Tr 1	RINGKERNTRANSFORMATOR, ILP, 2x15 V, 1A
Tr 2	TRANSFORMATOR, Spitznagel, 2x8 V, 0.75 A
F 1	ZEKERING F 315 mA
F2	ZEKERING F 200 mA
IC 1	SPANNINGSREGELAAR +5 V, 1 A, type 7805
IC 2	SPANNINGSREGELAAR +15 V, 1 A, type 7815
IC 3	SPANNINGSREGELAAR -15 V, 1 A, type 7915
D1, D2, D3	GELIJKRICHTBRUG, type BY164
D4, D5, D6	DIODE, type 1N4002
R1	DRAADBRUG
R2	DRAADBRUG
C1, C2	CONDENSATOR, Siemens, 2200 µF, 40 V
C9	CONDENSATOR, Siemens, 4700 µF, 16 V
C3, C4, C5, C6, C7, C8	CONDENSATOR, Siemens, MKT, 100 nF, 100 V
PP1, PP2, PP3, PP4, PP5, PP6	PRINTPEN

TNO-rapport

PML 233492012

BIJLAGE 11

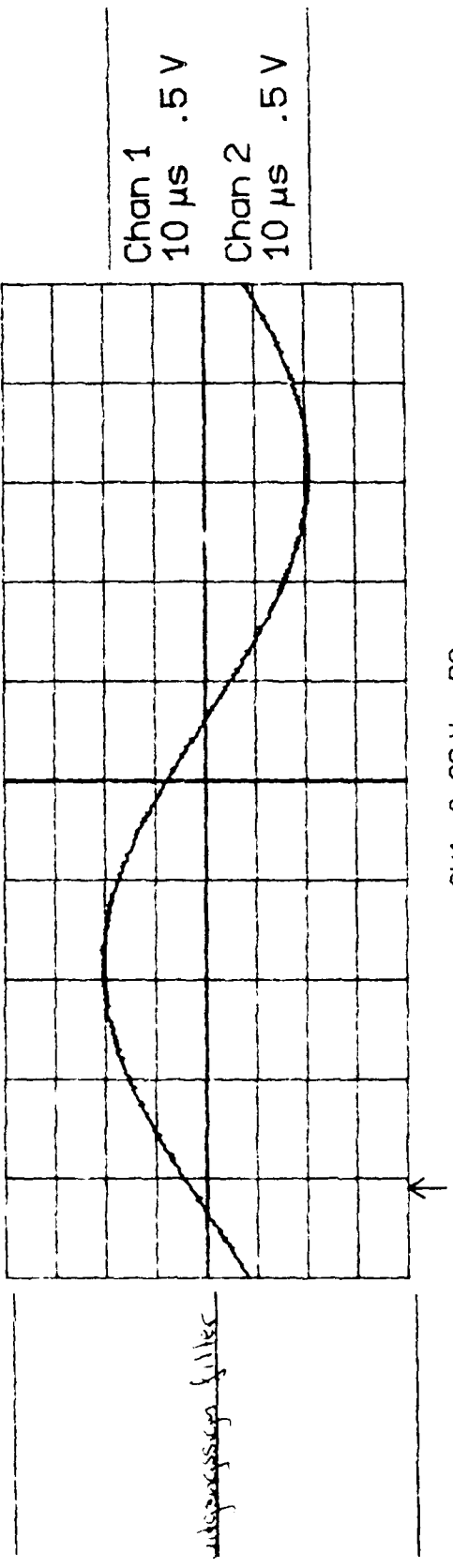
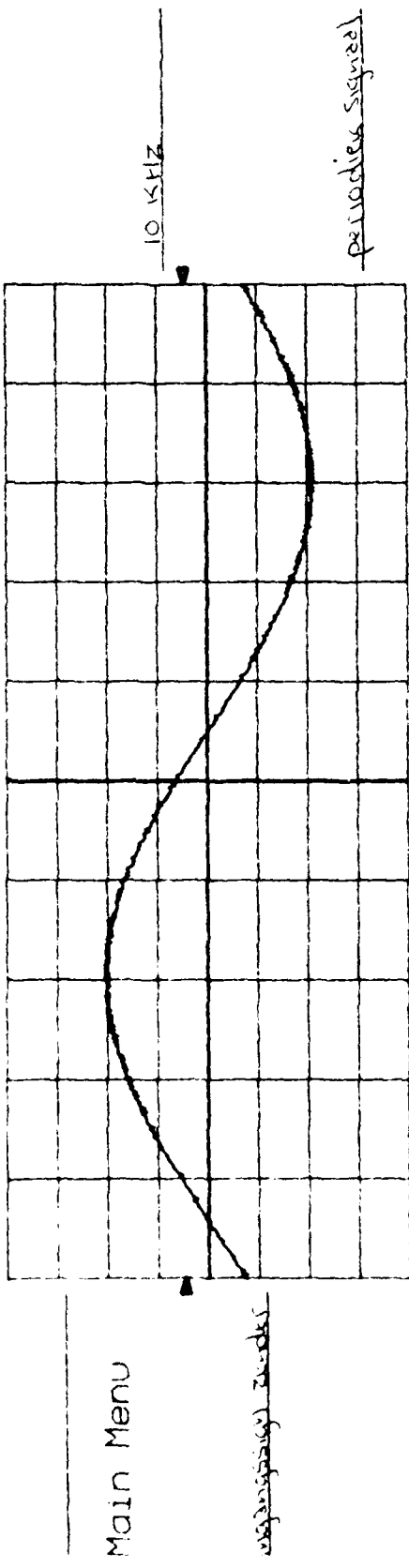
Pagina

1

BIJLAGE 11 MEETRESULTATEN VAN HET OPTISCHE MEETSSTEEEM

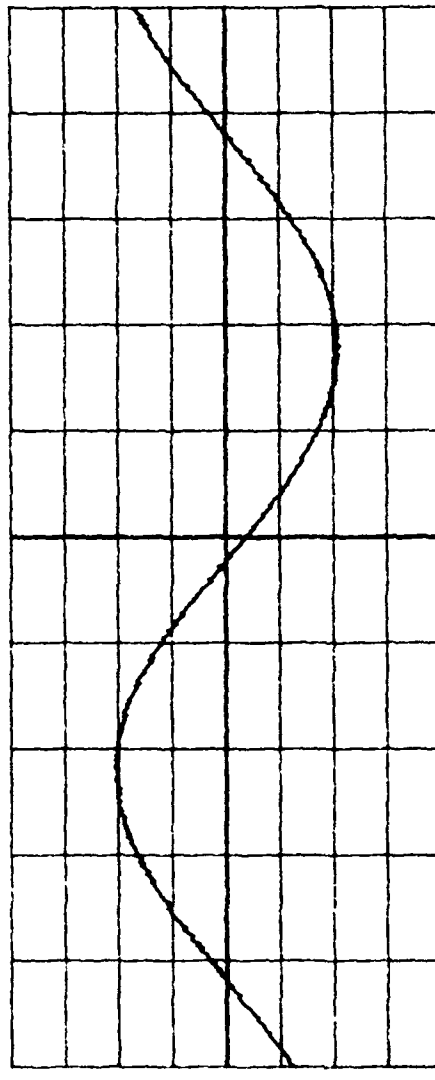
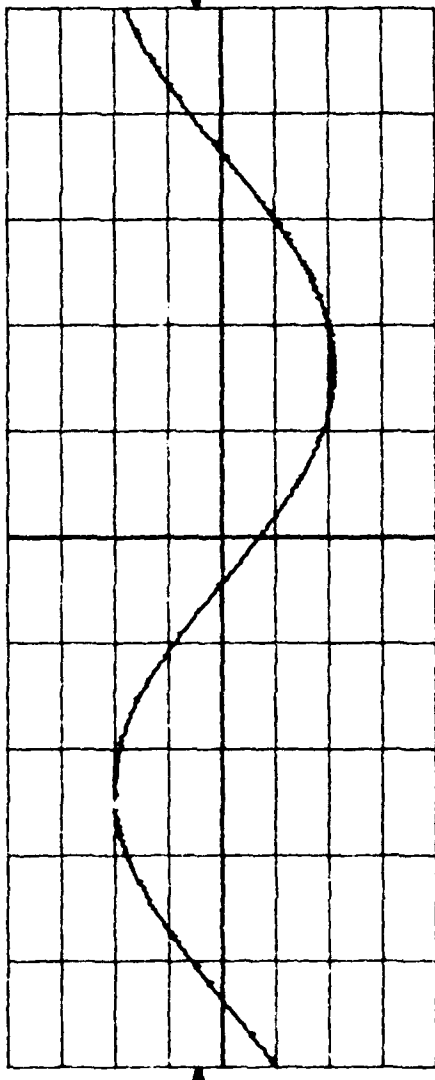
11-Sep-92
12:53:14

LeCroy



11-Sep-92
12:57:20

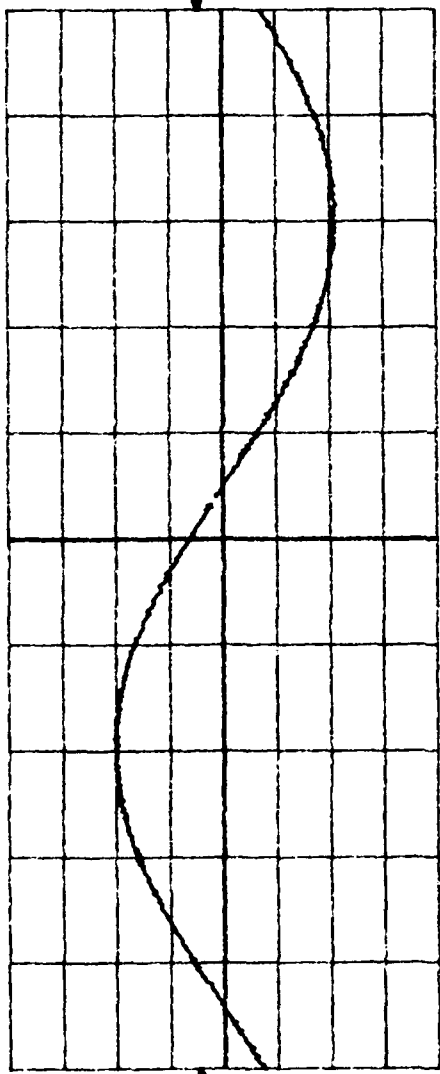
LeCROY



CH1 .5 V =
CH2 .5 V =
CH3 20 mV =
CH4 50 mV =
T/div 5 μs

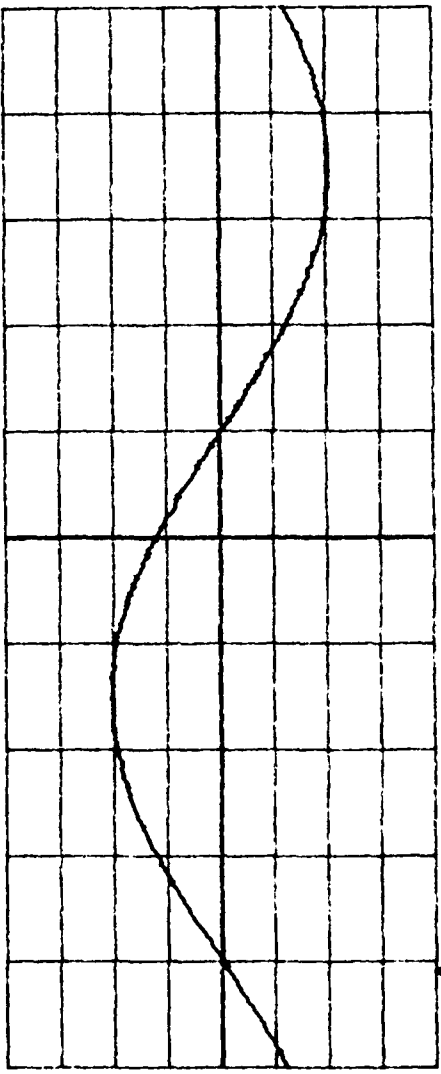
11-Sep-92
12:59:45

LeCroy



Main Menu

Ingress signal



Reflected signal

Chan 1
2 μ s . 5 V

Chan 2
2 μ s . 5 V

CH1 0.26 V DC



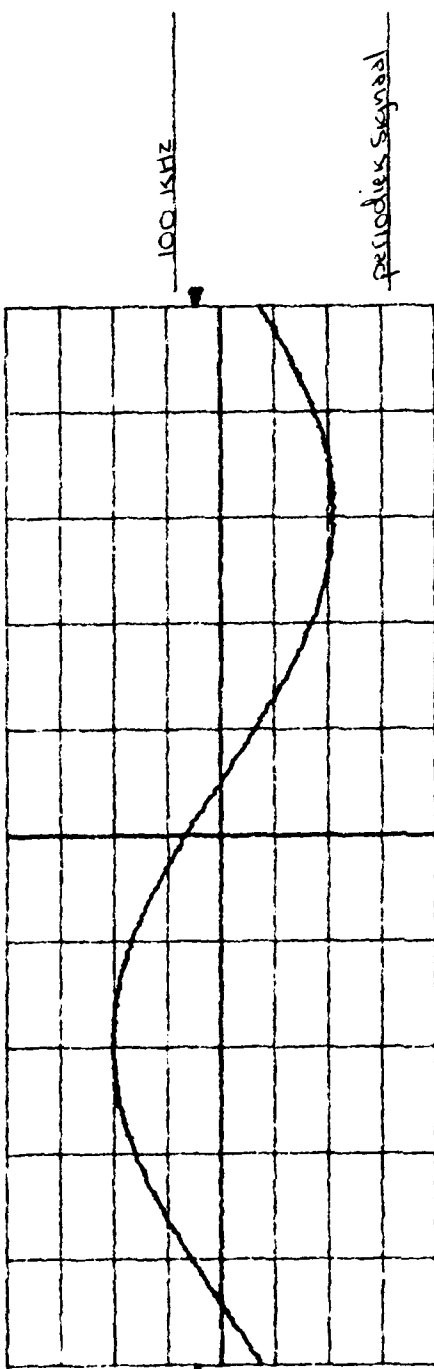
CH1 .5 V =
CH2 .5 V =
CH3 20 mV =
CH4 50 mV = T/div 2 μ s

11-Sep-92
13:05:32

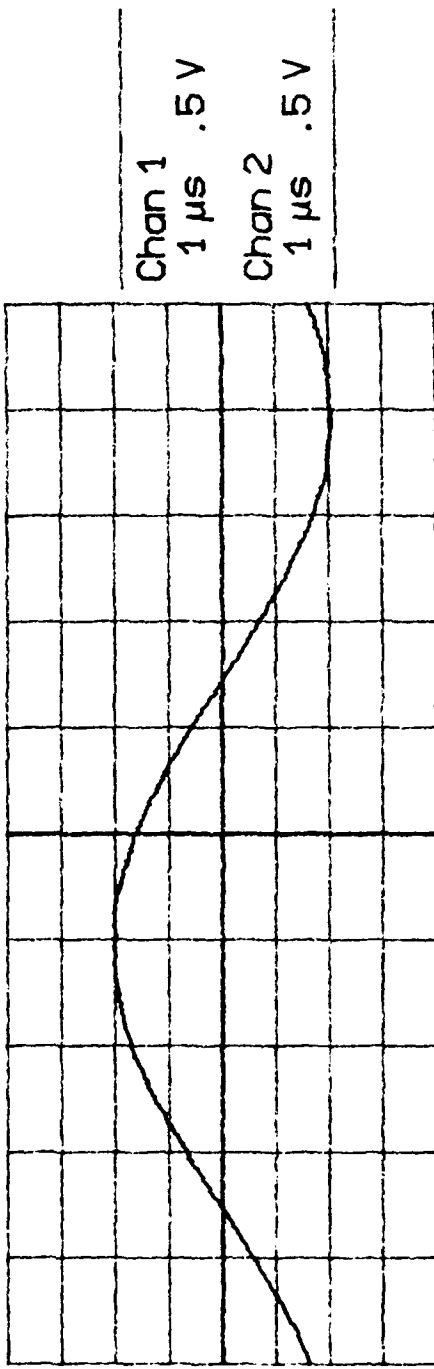
LeCroy

Main Menu

ingress signal reader



periodic signal



waveform viewer

CH1 0.26 V DC

CH1 .5 V =

CH2 .5 V =

CH3 20 mV =

CH4 50 mV =

T/div 1 us



Chan 1
1 μ s .5 V

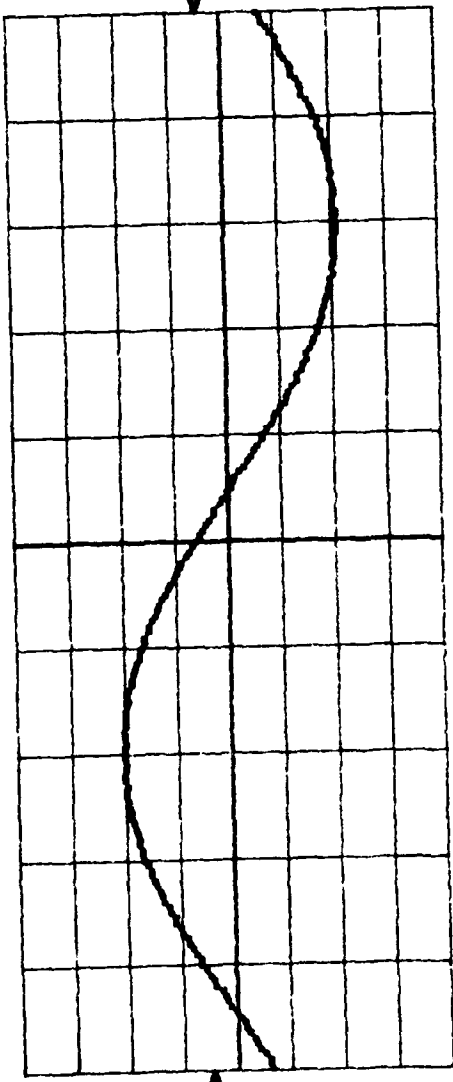
Chan 2
1 μ s .5 V

11-Sep-92
13:07:30

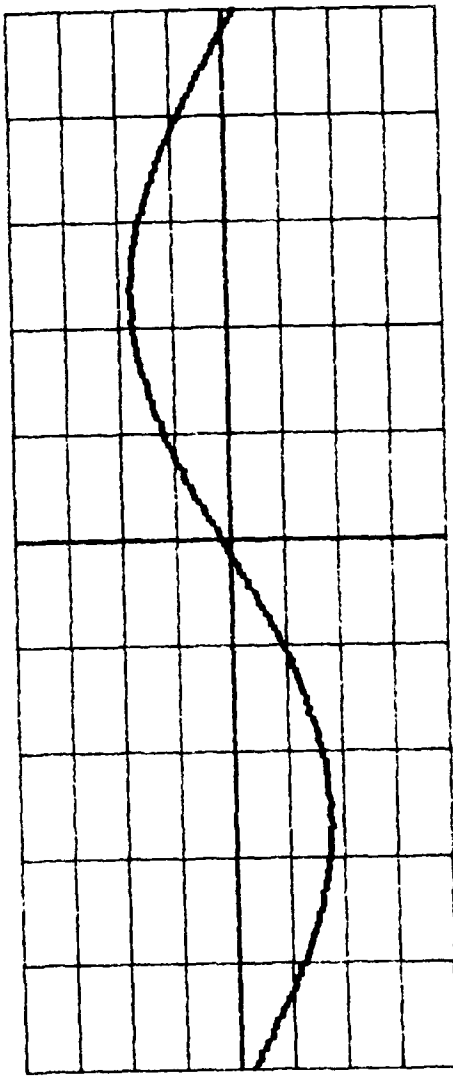
LeCroy

Main Menu

measuring scales



periodic signal

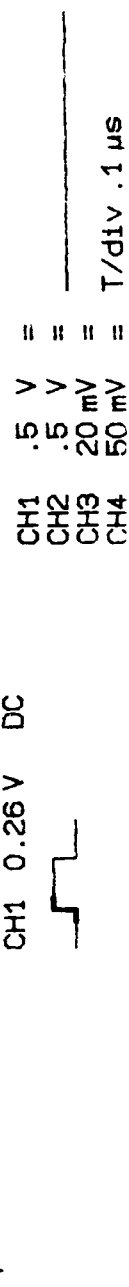
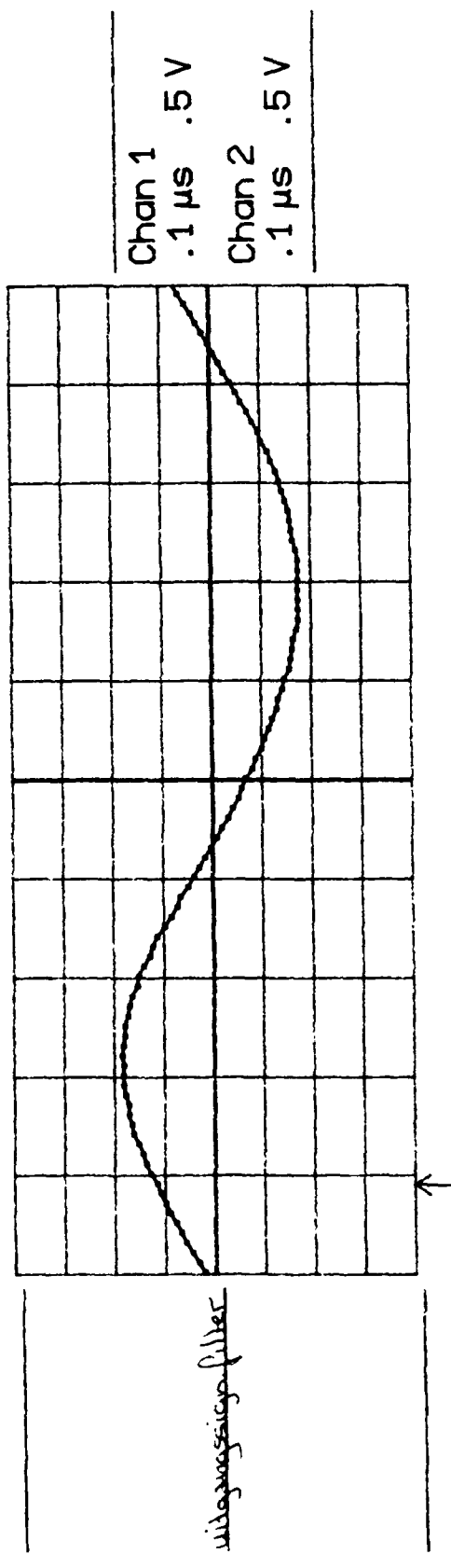
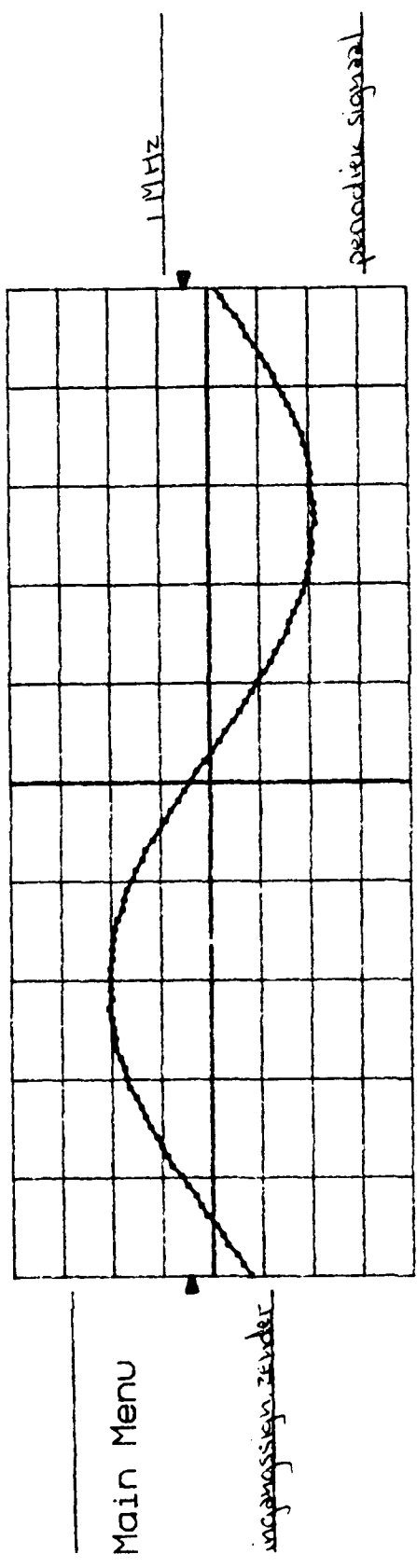


single biphasic

CH1 0.26 V DC
CH1 .5 V =
CH2 .5 V =
CH3 20 mV =
CH4 50 mV =
T/div .2 μs

11-Sep-92
13:12:41

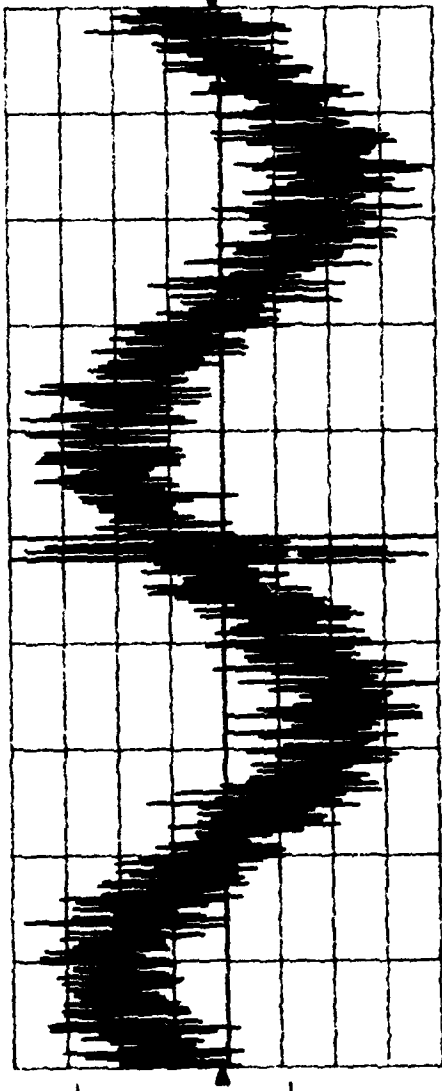
LeCroy



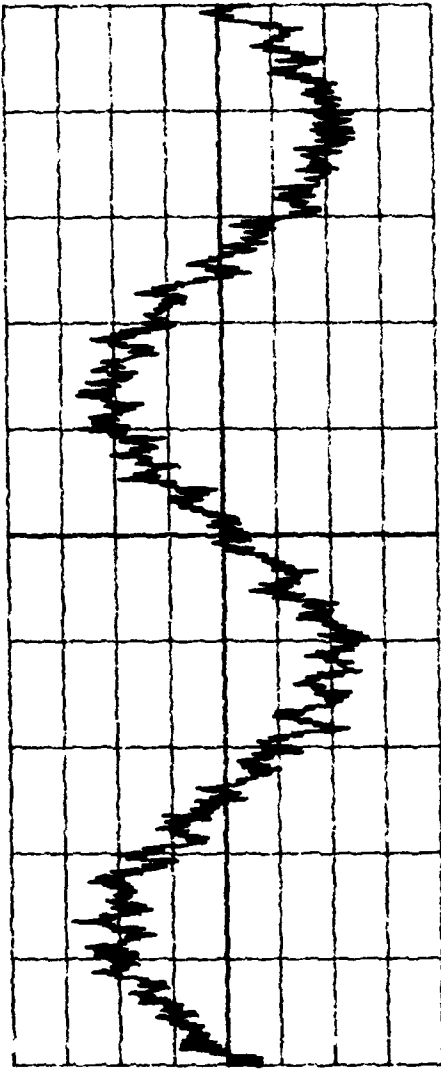
15-Sep-92
9:02:40

LeCroy

Main Menu



periodic signal



Chan 1
2 μ s 10 mV
Chan 2
2 μ s 10 mV

CH1 1.2 mV HF REJ

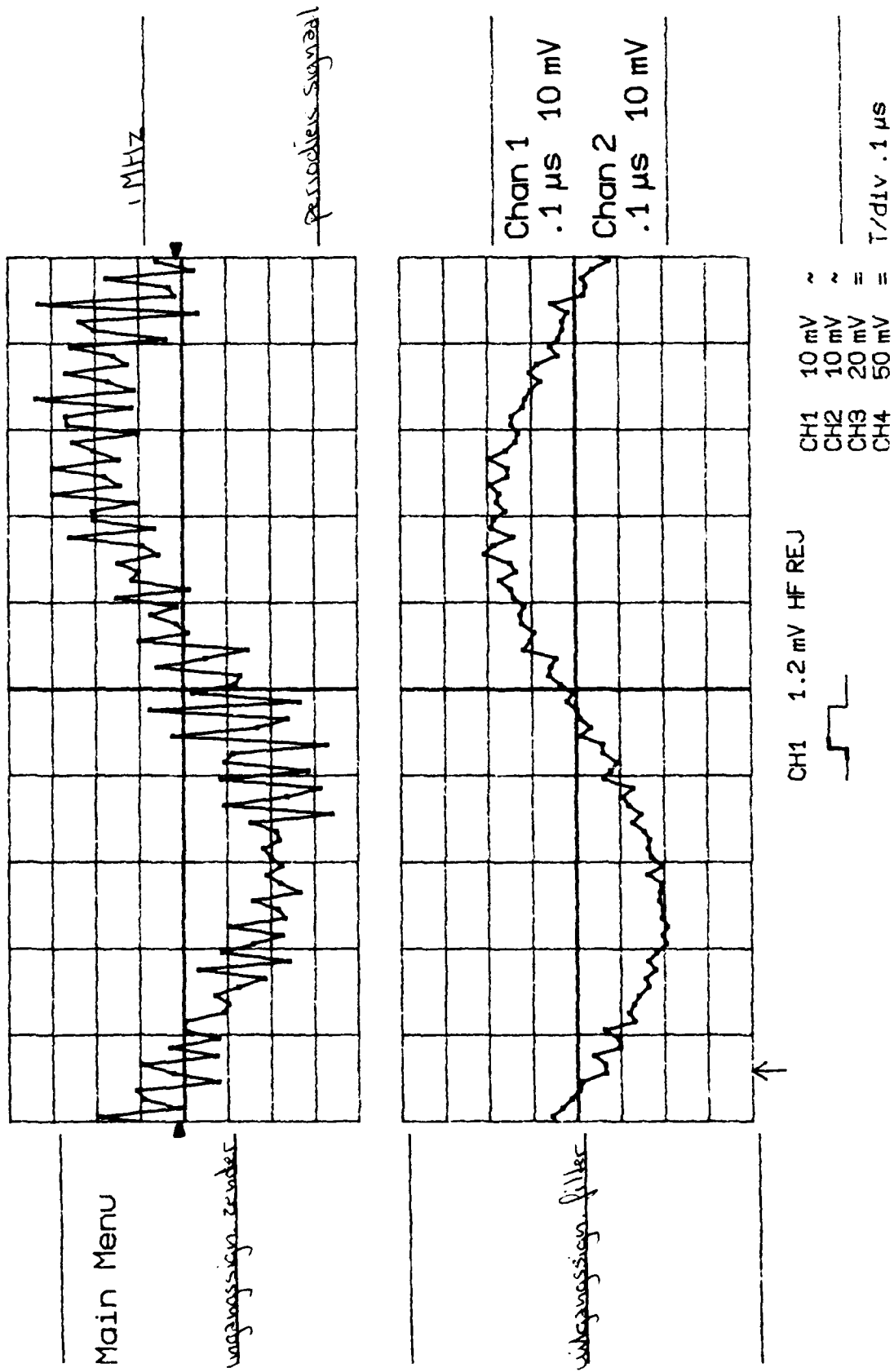


CH1 10 mV ~
CH2 10 mV ~
CH3 20 mV =
CH4 50 mV =

T/div 2 μ s

15-Sep-92
9:07:12

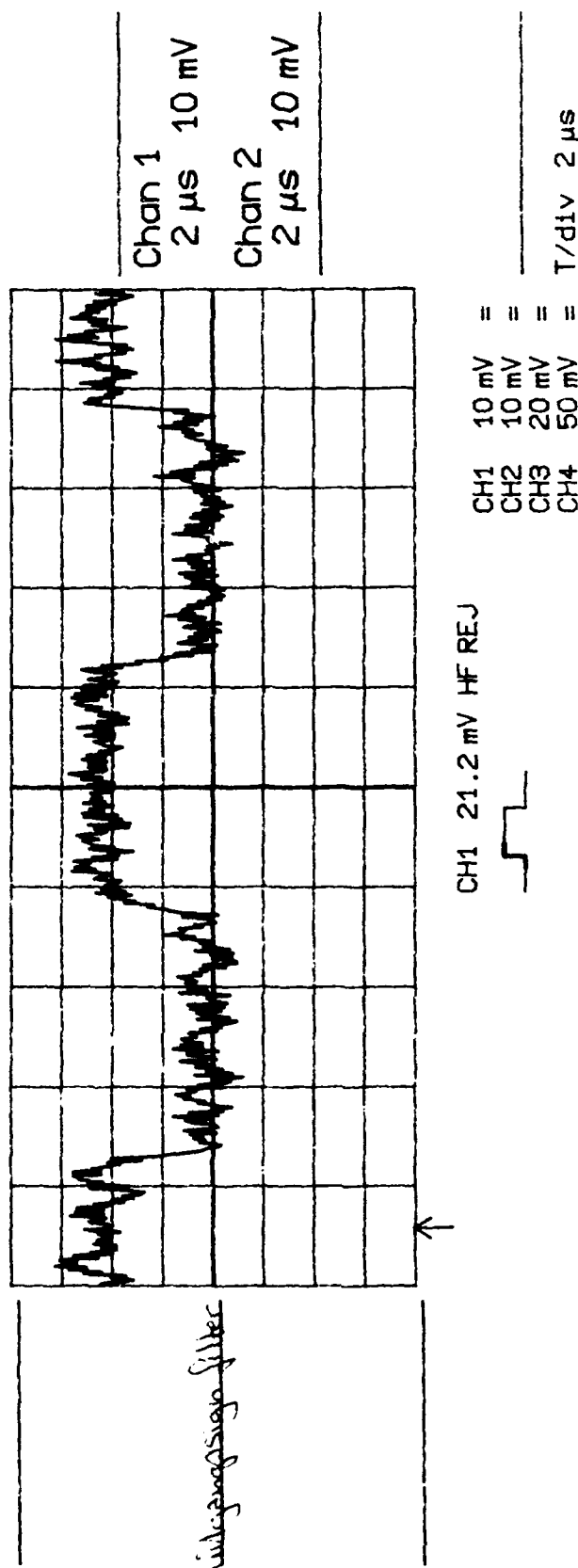
LeCroy



15-Sep-92
9:17:33

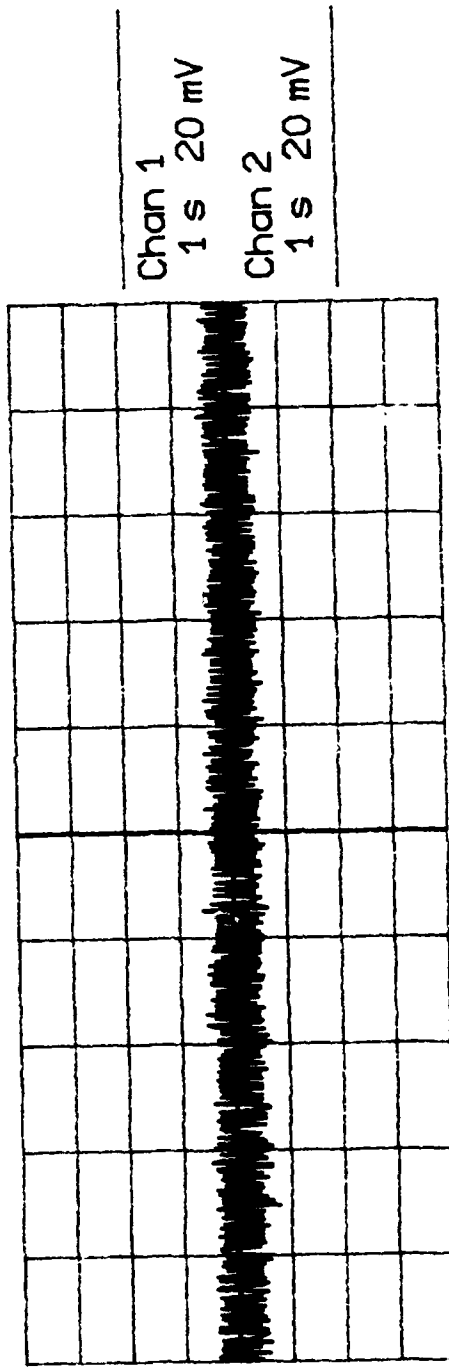
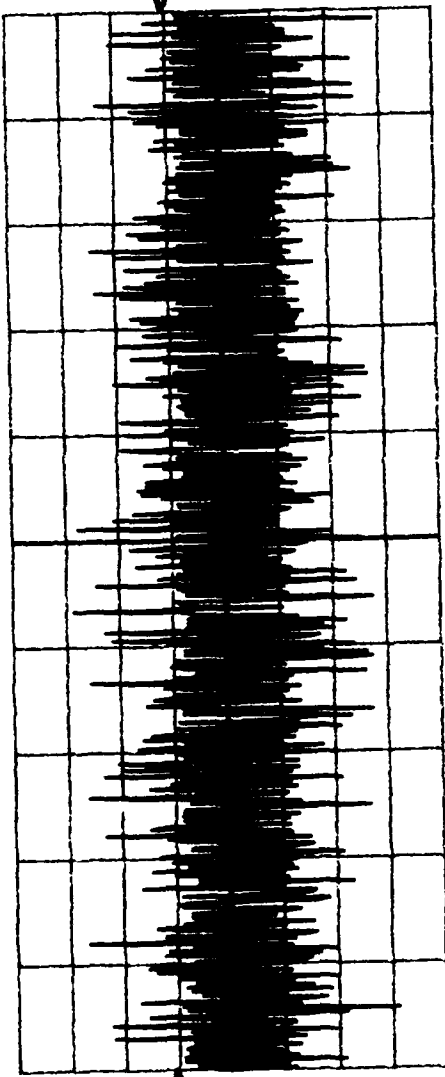
NO or SLOW TRIGGER

LeCroy



15-Sep-92
9:22:48

LeCroy



CH1 21.2 mV HF REJ

↓

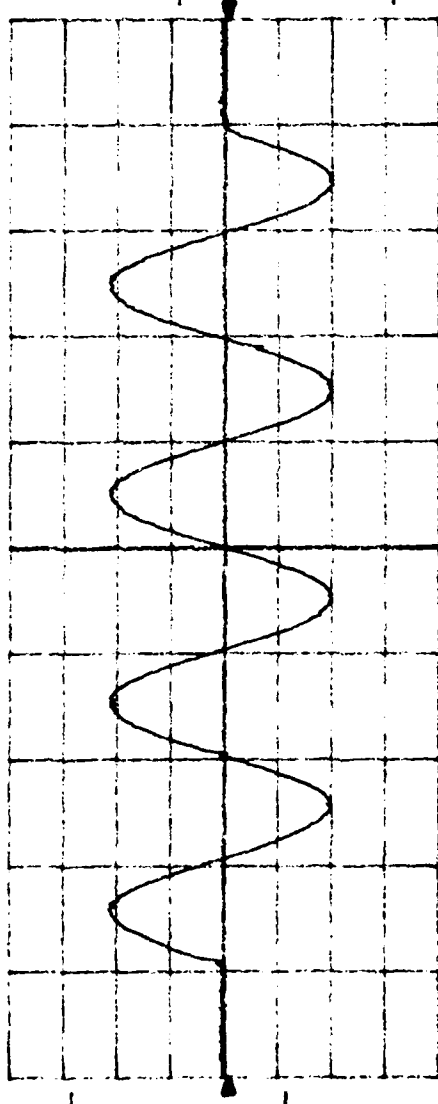
CH1 20 mV =
CH2 20 mV =
CH3 20 mV =
CH4 50 mV =
T/div 1 s

17-Sep-92
15:16:32

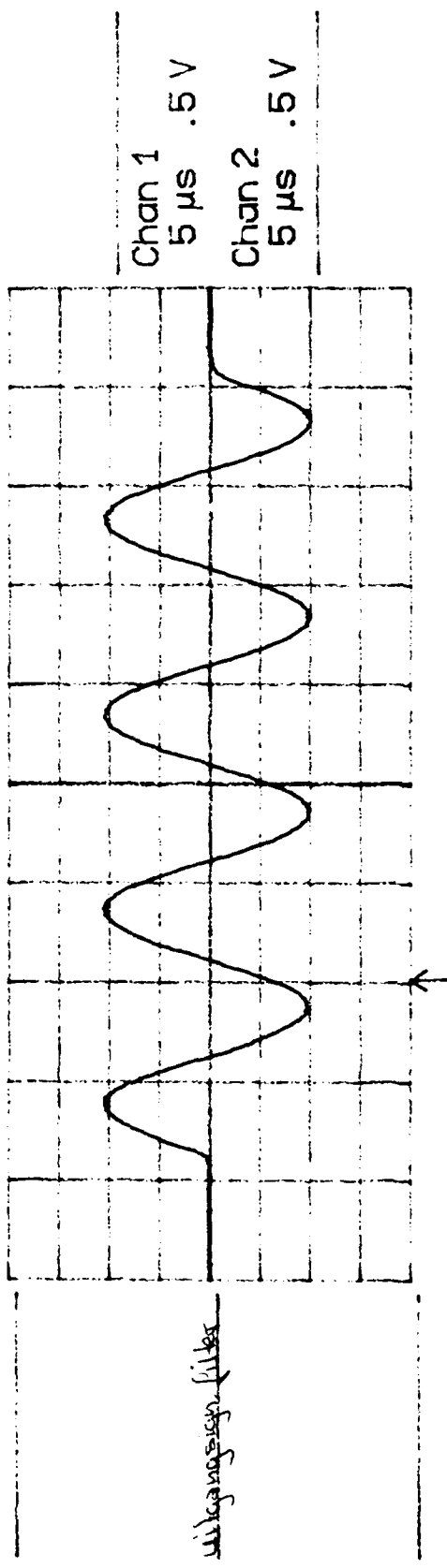
LeCroy

Main Menu

Welligensignal-Zeitdose



Pulsation... N=41



Chan 1
5 μs .5 V

Chan 2
5 μs .5 V

CH1 -0.05 V DC

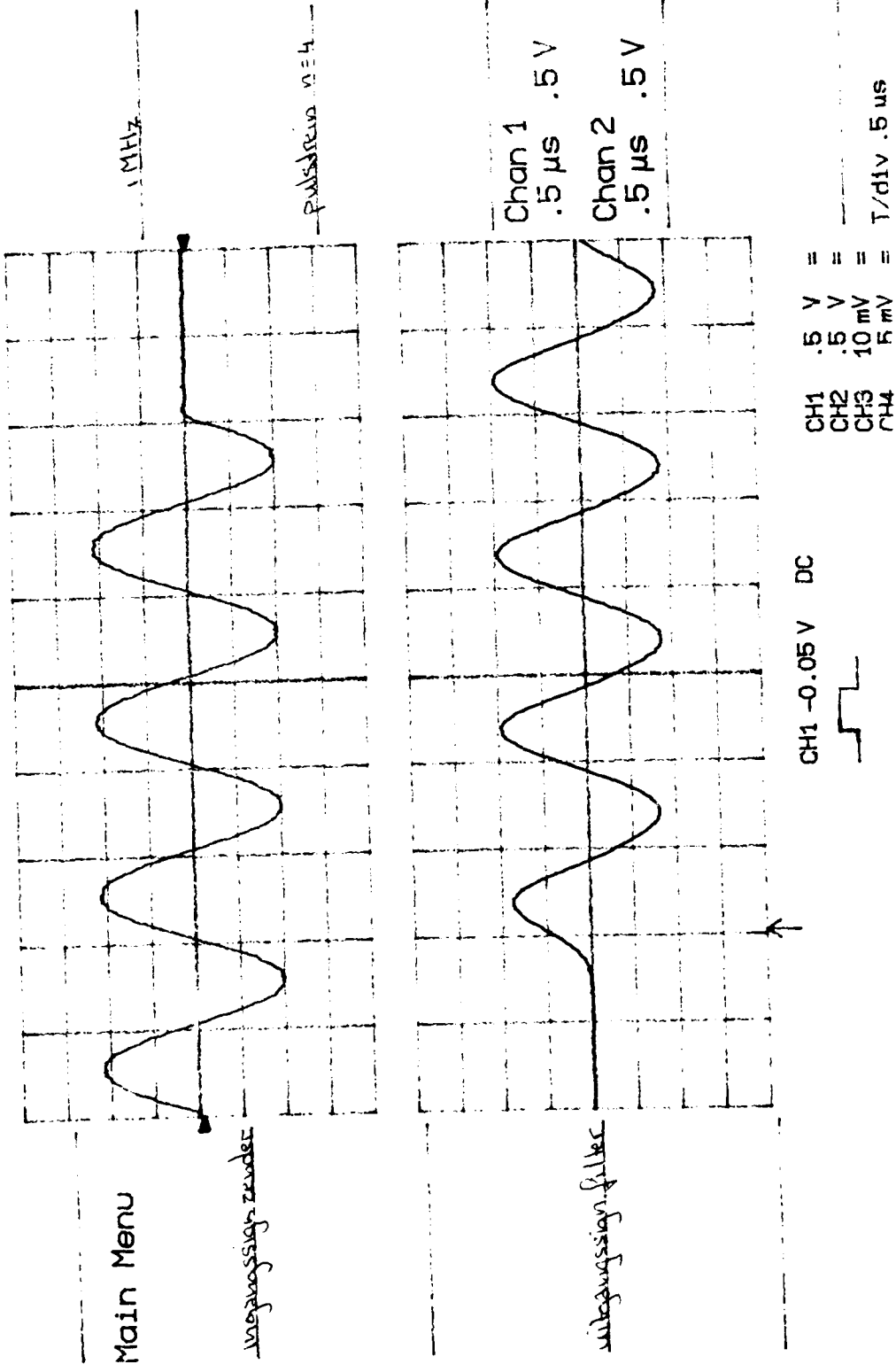


CH1 .5 V =
CH2 .5 V =
CH3 10 mV =
CH4 5 mV =

T/div 1 μs

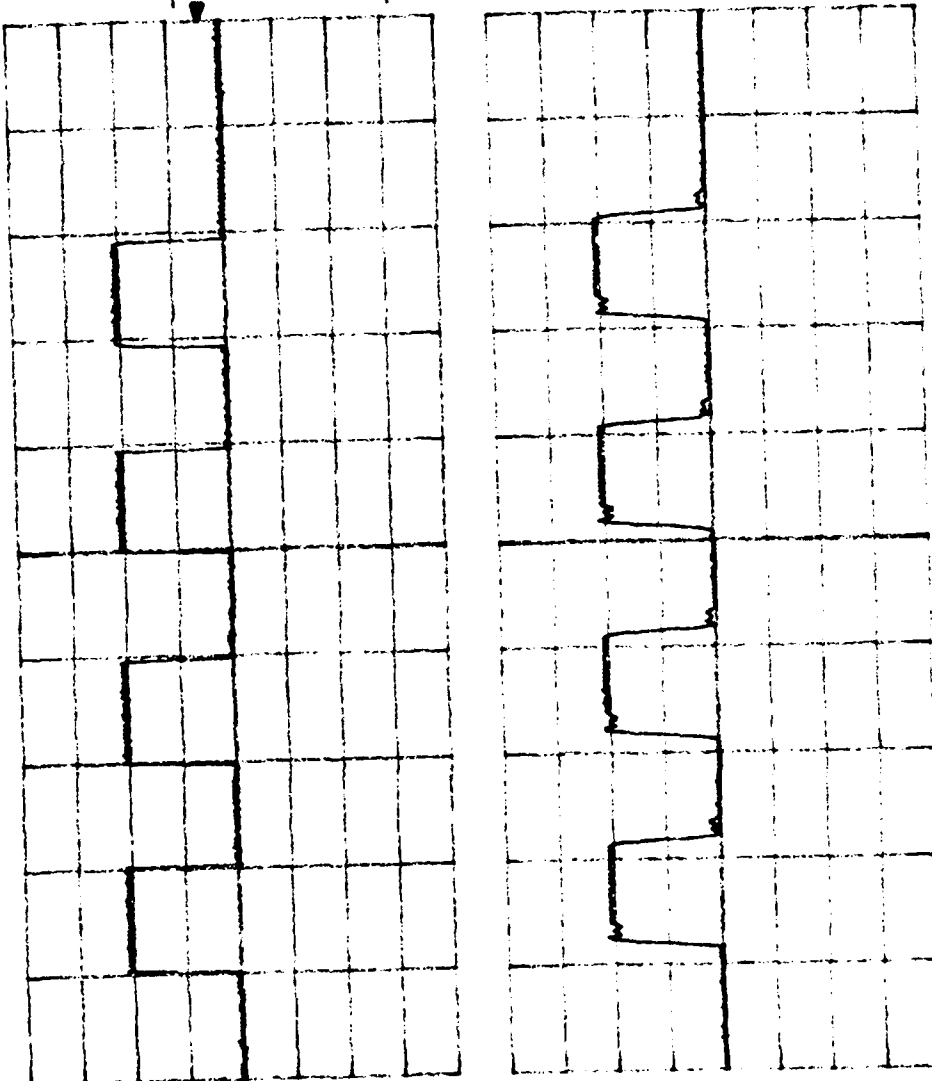
17-Sep-92
15:23:05

LeCroy



CH1 0.19 V DC CH1 5 V = T/HV 5 ns
CH2 5 mV = CH2 5 V =
CH3 10 mV = CH3 5 V =

Chan 1 5 ns .5 V
Chan 2 5 ns .5 V

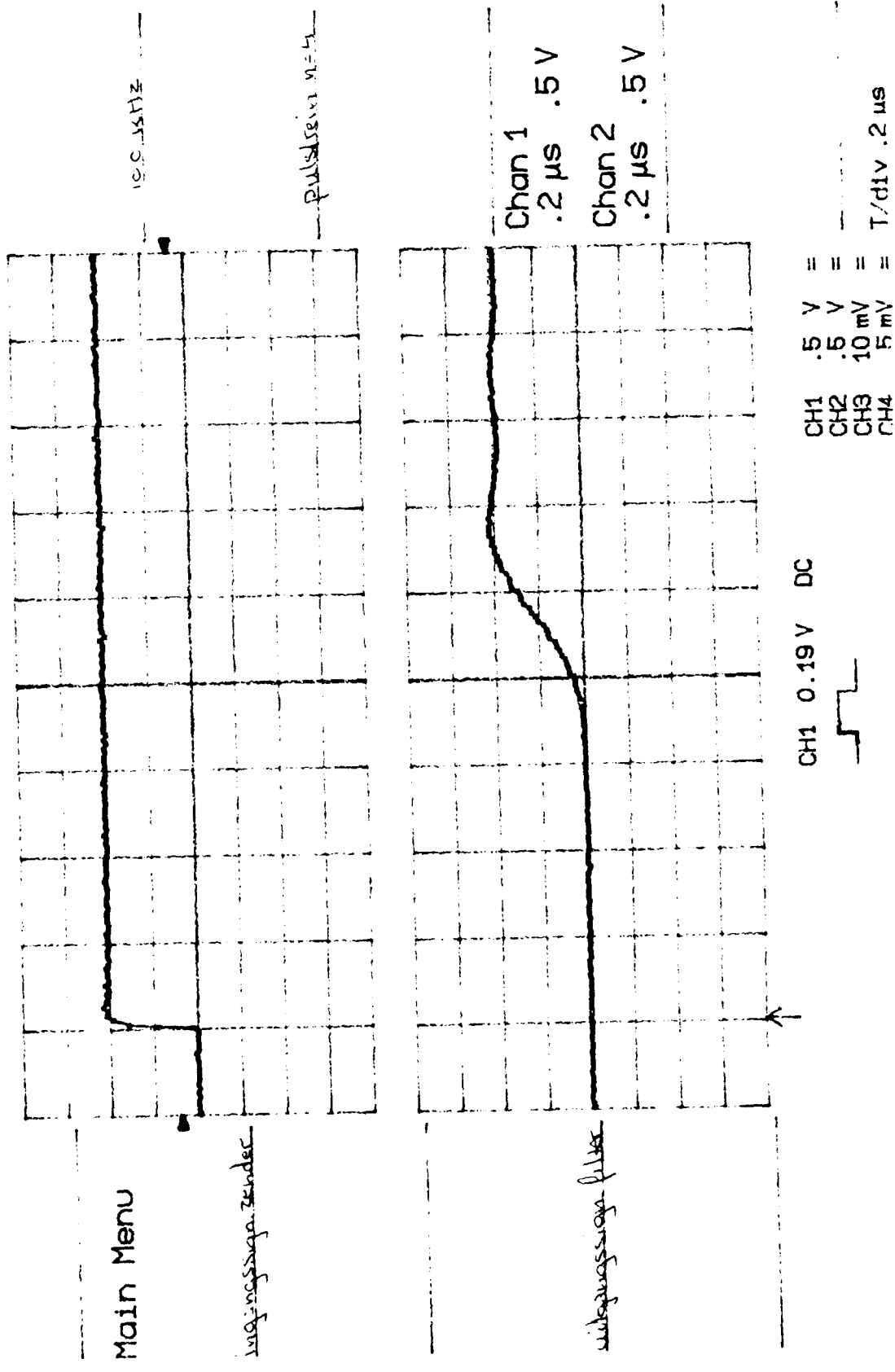


البيانات المنشورة في الملف

Main Menu

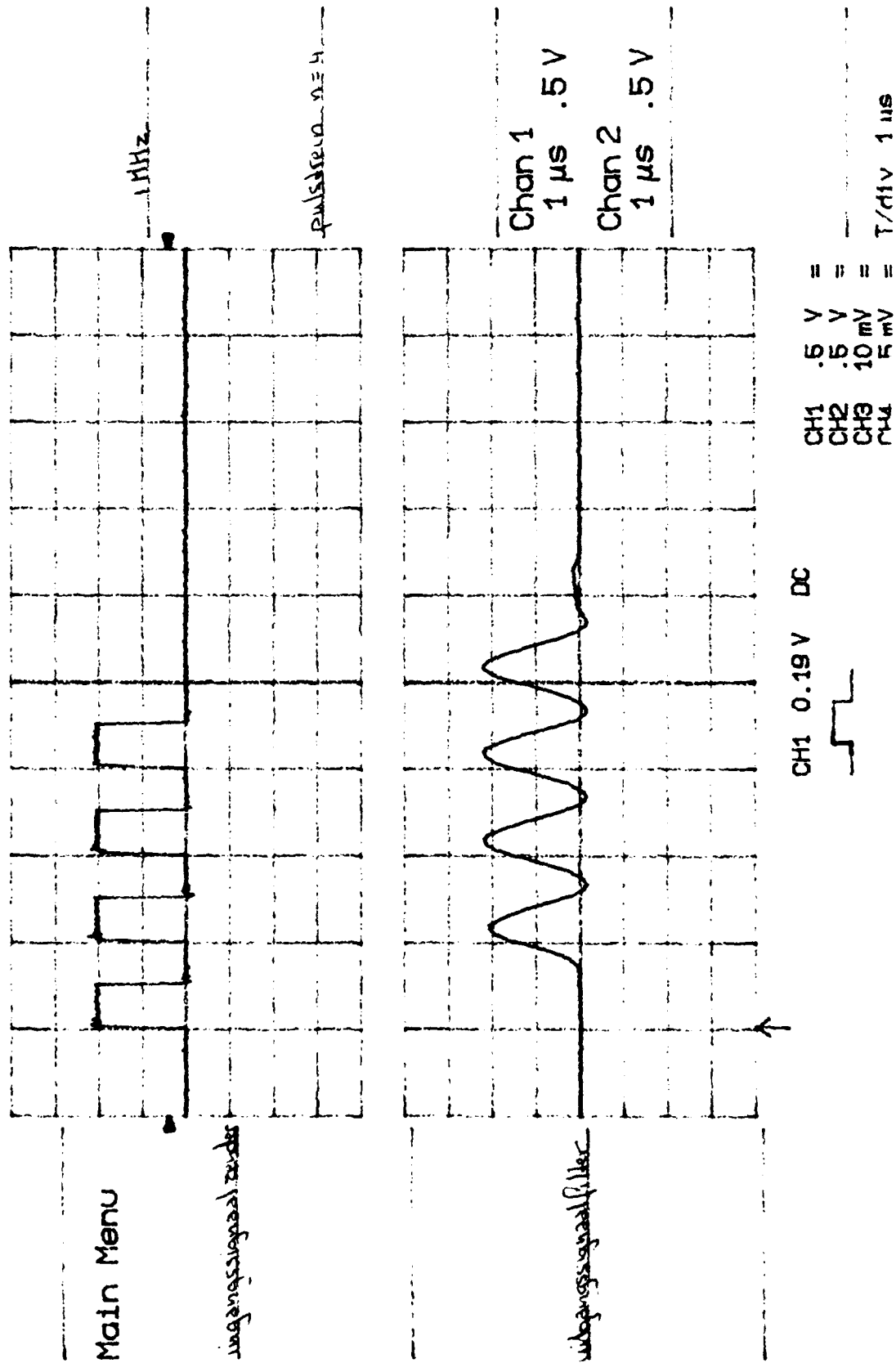
17-Sep-92
15:35:01

17-Sep-92
15:31:56



17-Sep-92
15:37:57

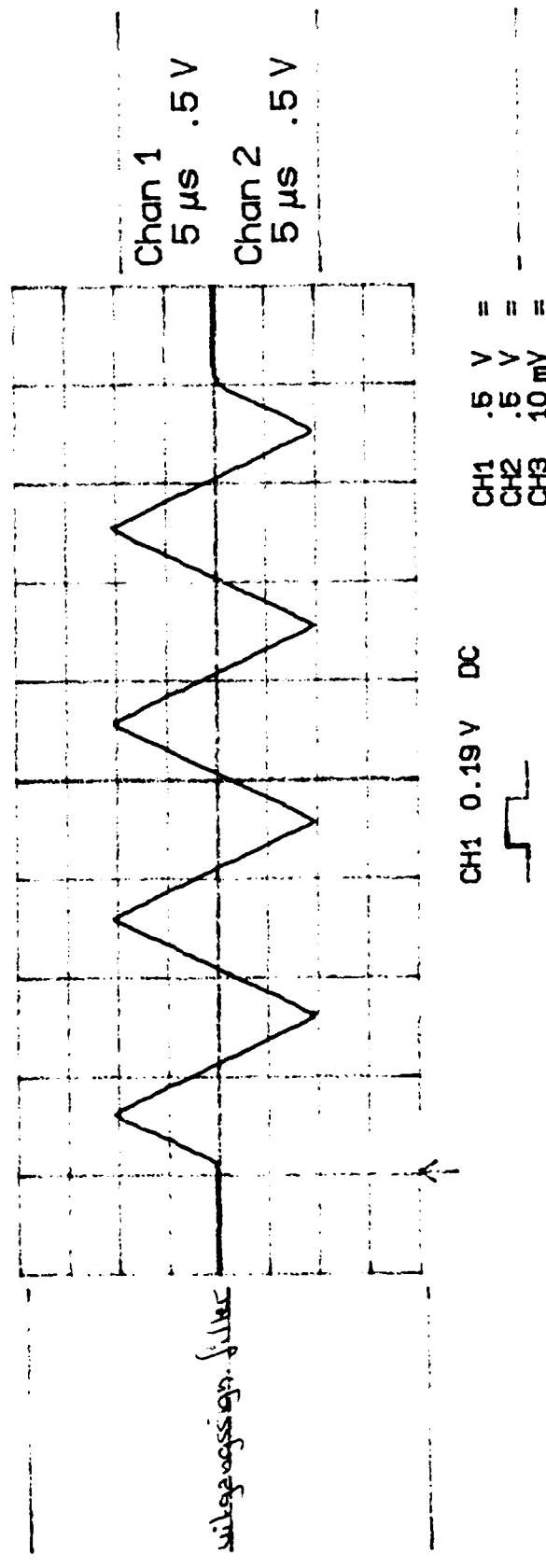
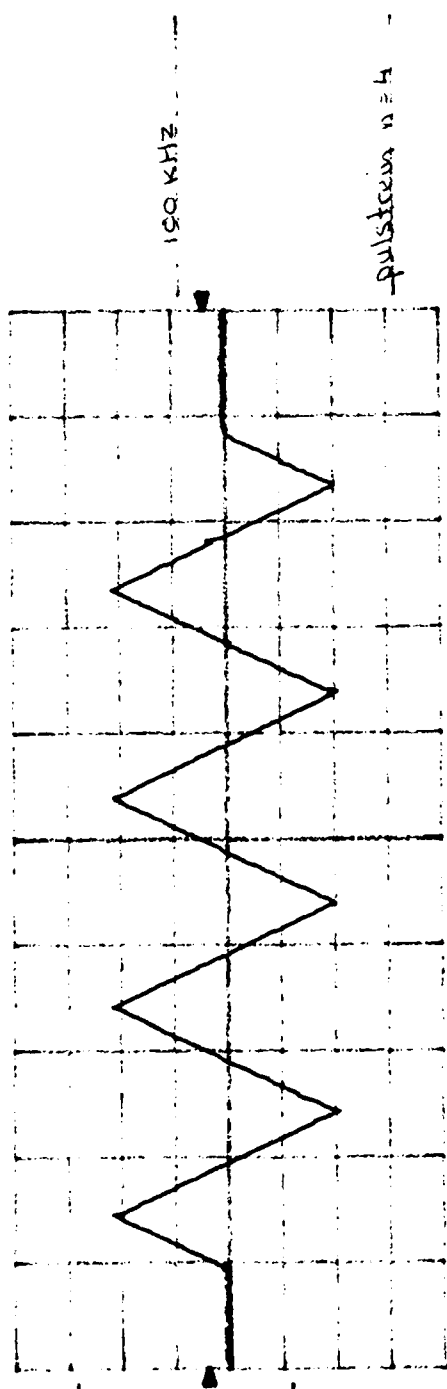
Main Menu



17-Sep-92
15:39:40

Main Menu

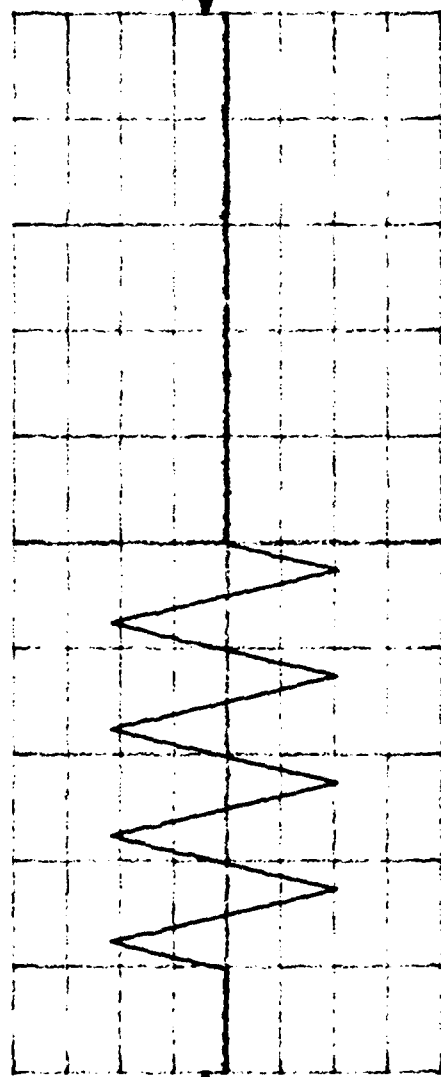
analog signal reader



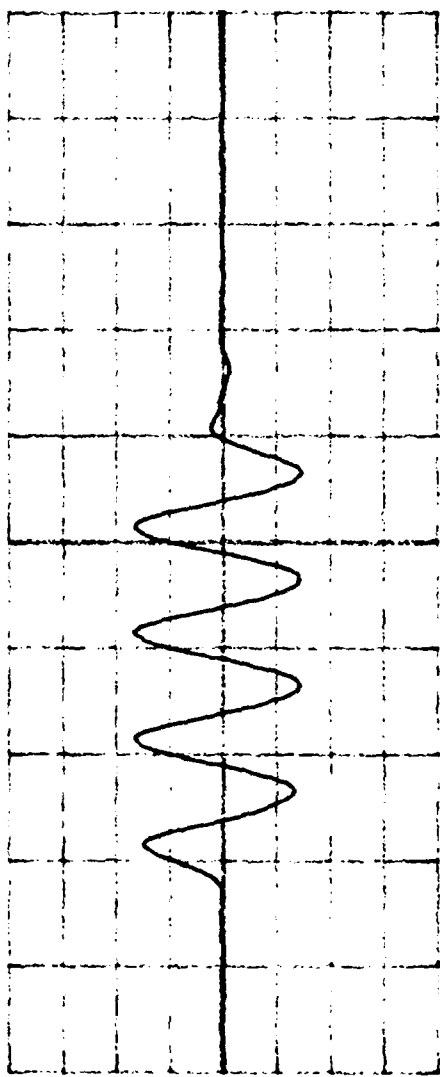
17-Sep-92
15:41:18

Main Menu

measuring signal selection



Measuring signal selection



Measuring signal selection

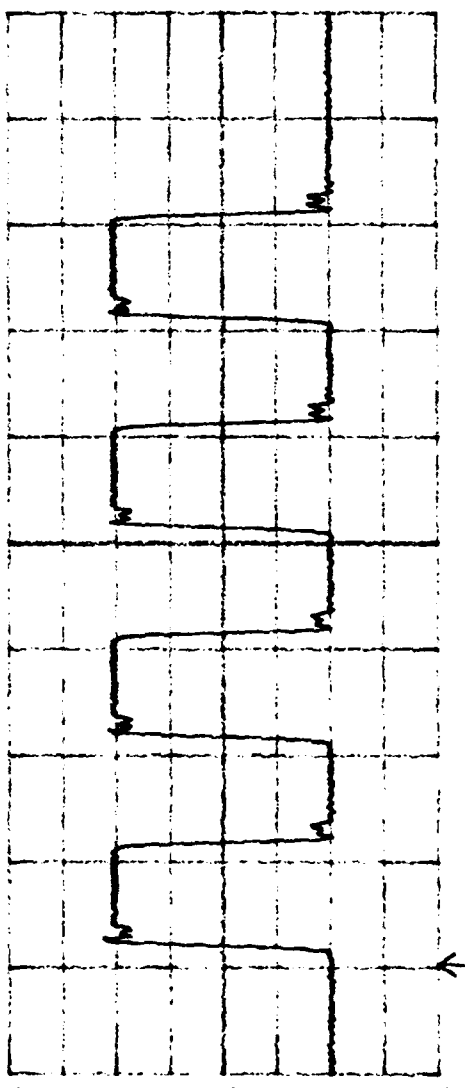
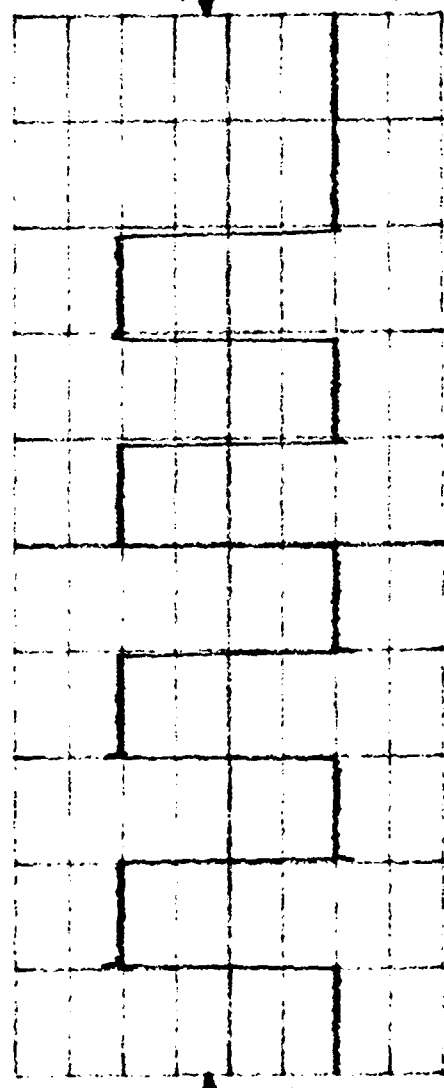
Chan 1 .5 V =
1 μs .5 V
Chan 2 .5 V =
1 μs .5 V

CH1 0.19 V DC
CH2 .5 V =
CH3 10 mV =
CH4 5 mV = T/div 1 μs

17-Sep-92
15:43:25

Main Menu

magazessign.zender



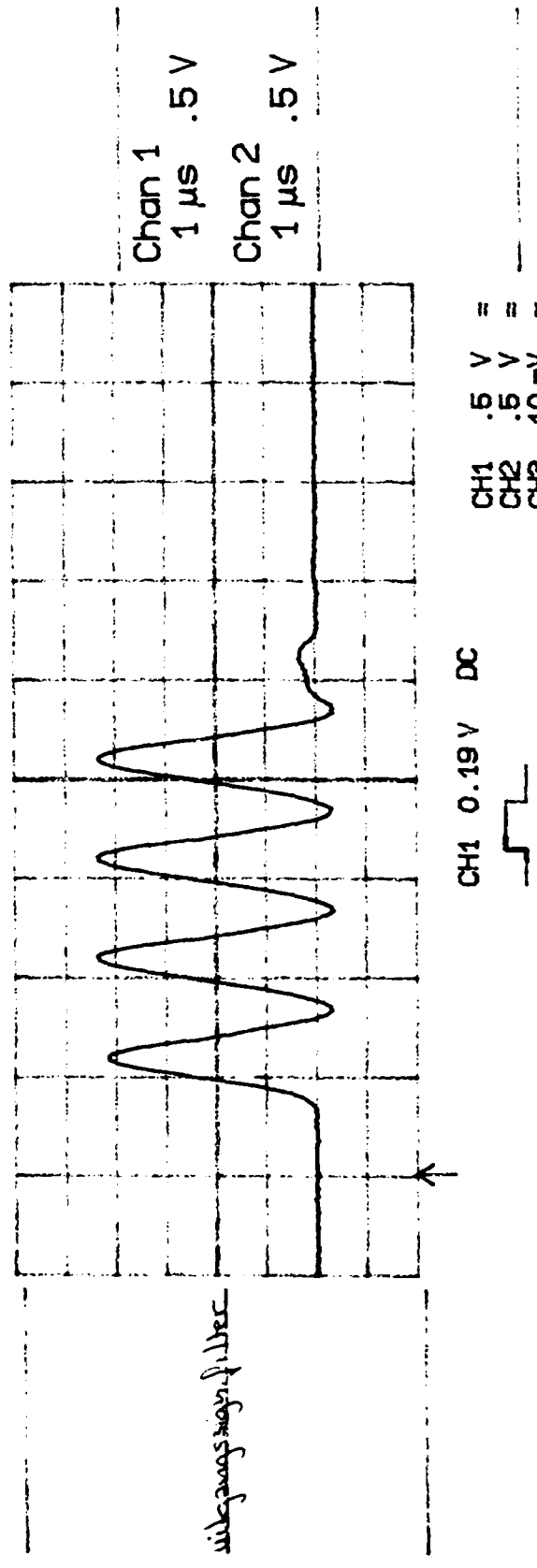
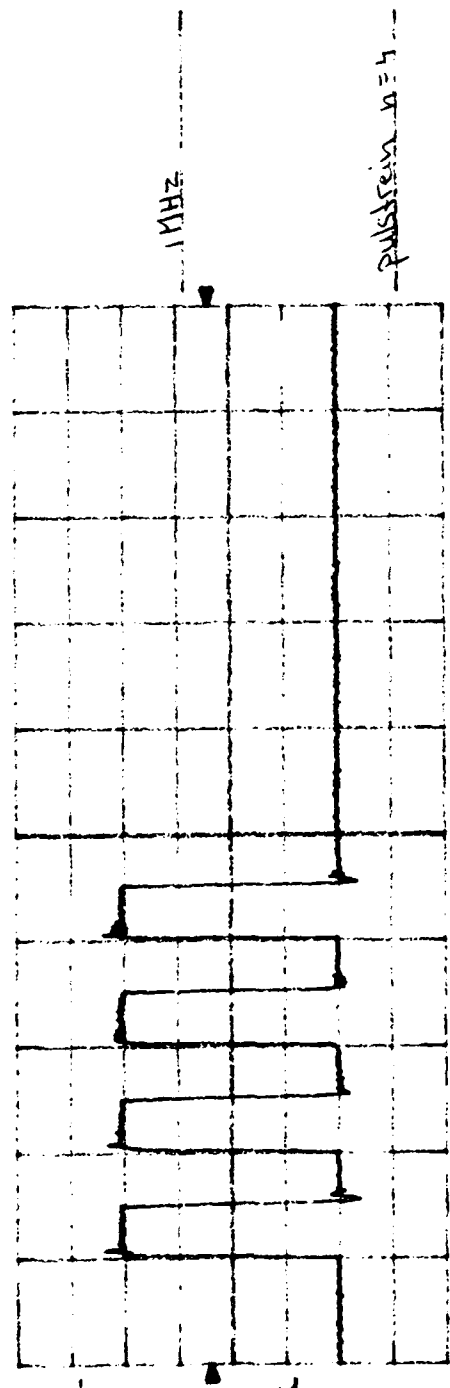
Chan 1
5 μs .5 V
Chan 2
5 μs .5 V

CH1 0.19 V DC CH1 .5 V =
CH2 .5 V = CH2 10 mV =
CH3 10 mV = CH3 5 mV =
CH4 5 mV = CH4 5 mV =
T/div 5 ms

17-Sep-92
15:45:56

Main Menu

Acquisition parameters



TNO-rapport

PML 233492012

BIJLAGE 12

Pagina

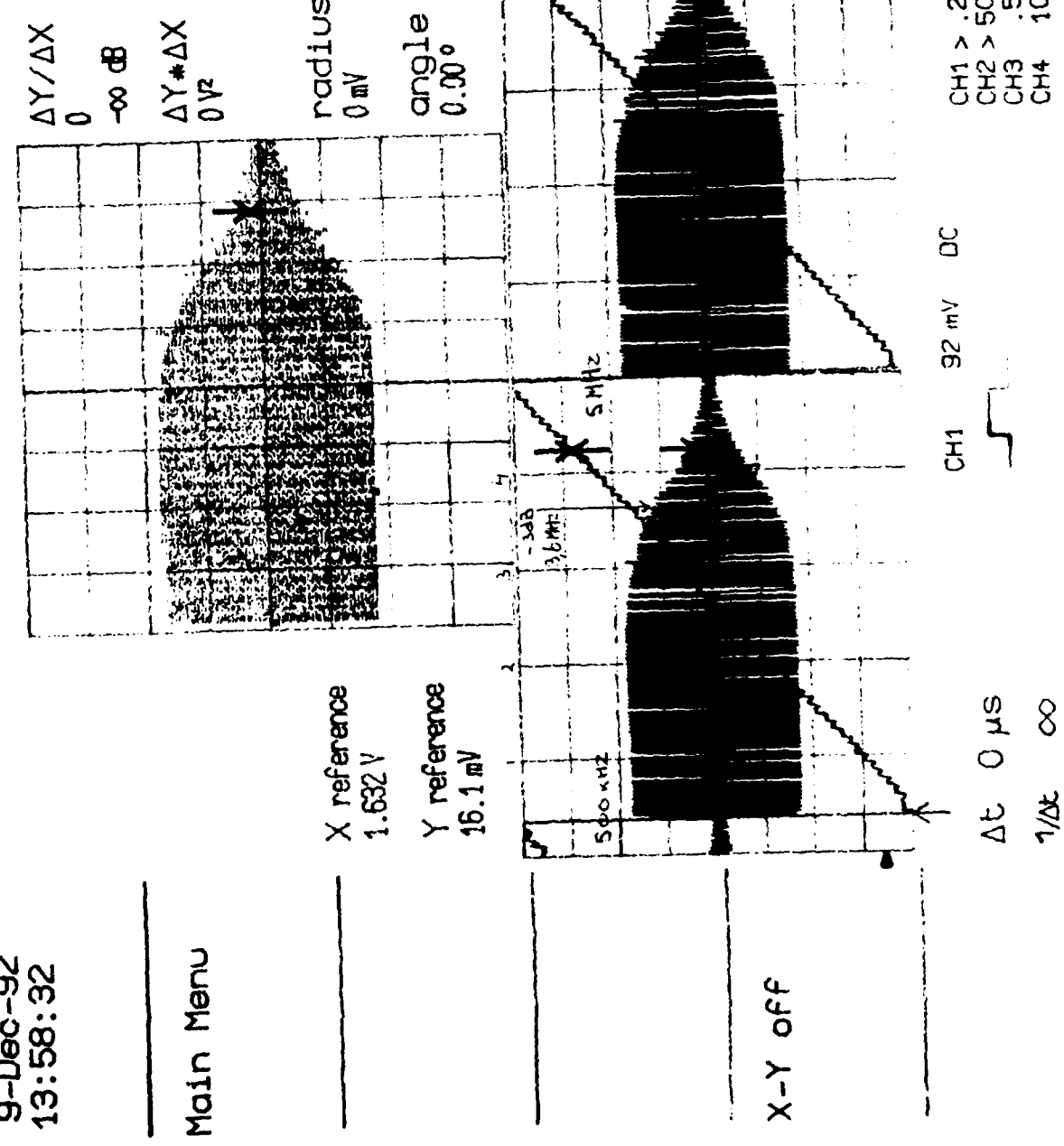
1

BIJLAGE 12 AMPLITUDEKARAKTERISTIEK 4E ORDE BESEL FILTER

9-Dec-92
13:58:32

LeCroy

Main Menu



TNO-rapport

PML 233492012

BIJLAGE 13

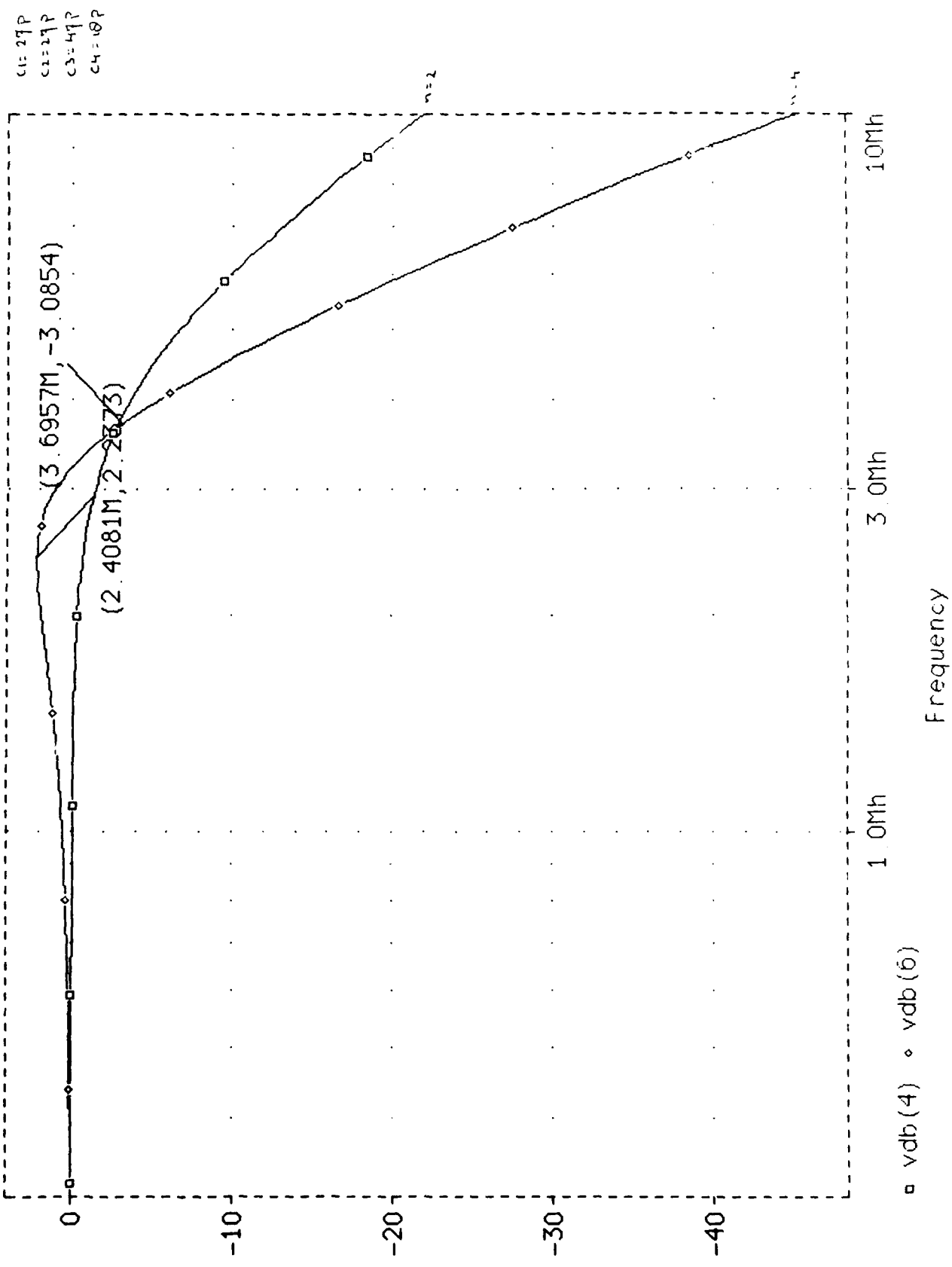
Pagina

1

BIJLAGE 13 PSPICE SIMULATIE 4E ORDE BESEL FILTER

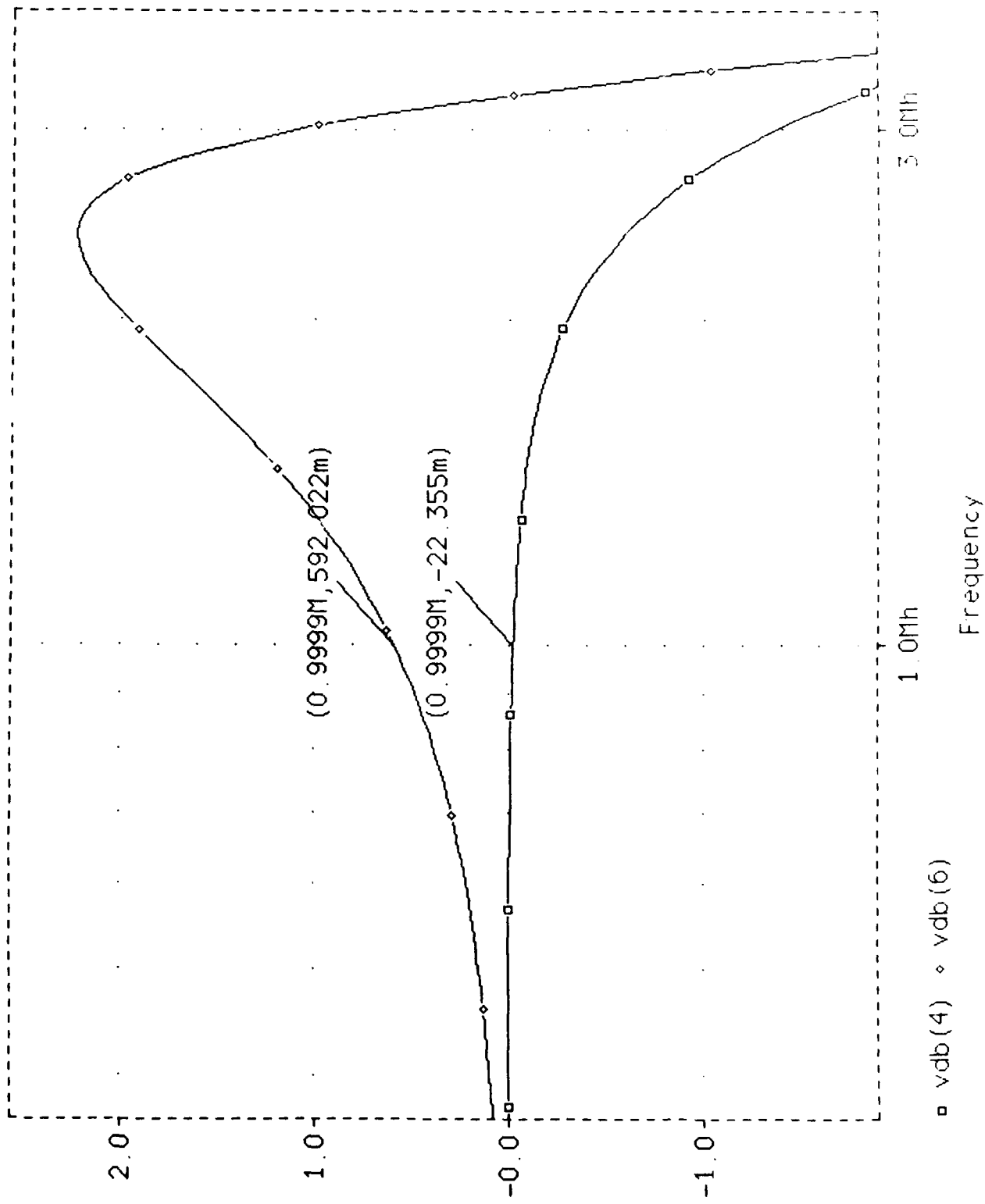
Date/Time run: 11/30/92 10:00:21 4e UKUT BESSIE FILTEK/UP-16t
 $f_{-3dB} = 3.9 \text{ kHz}$

Temperature: 27.0

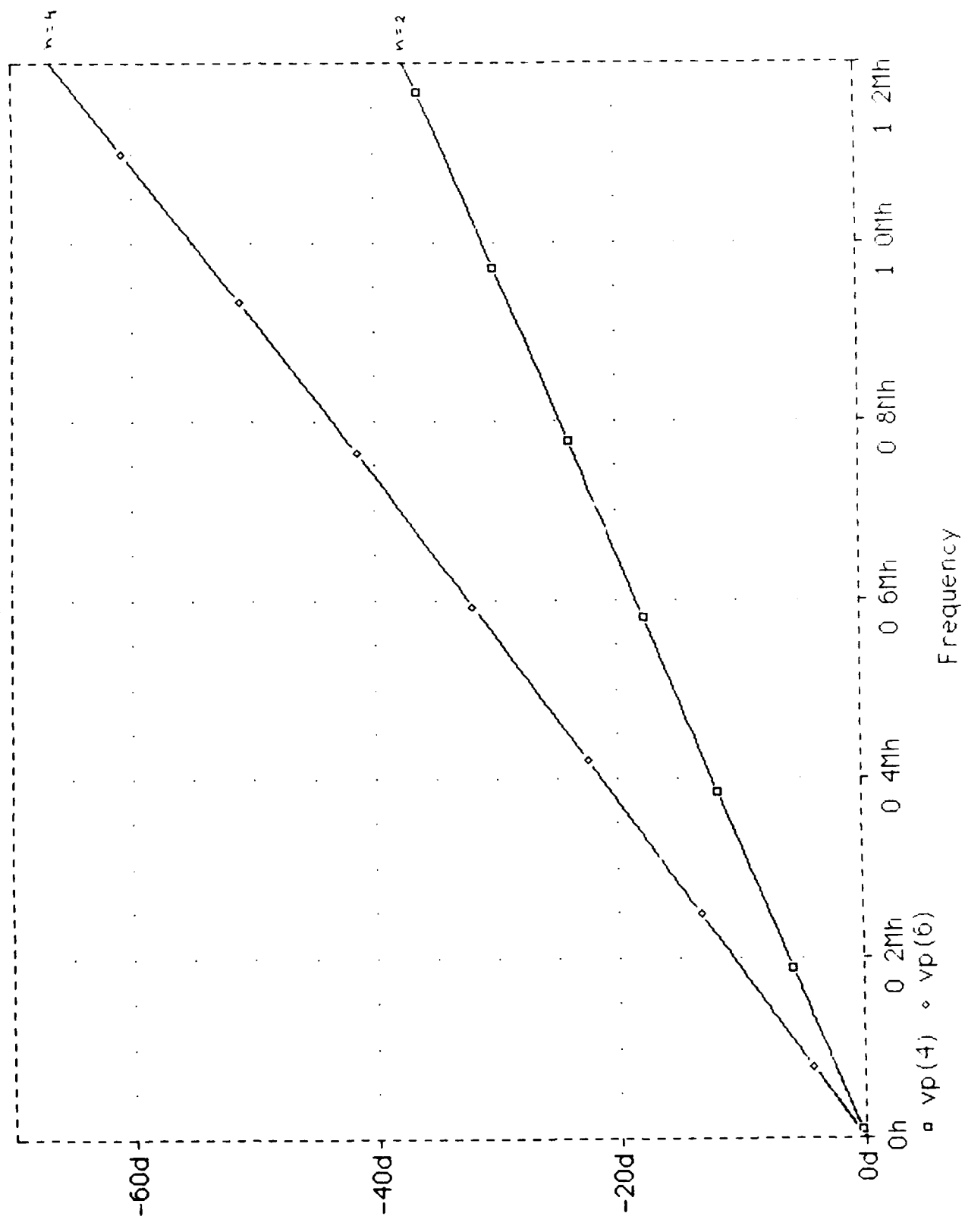


Date/Time run: 12/10/92 09:13:01 4e UKUE BESSEL FILTER/UP-LOT 1-AB-111111

Temperature: 27.0



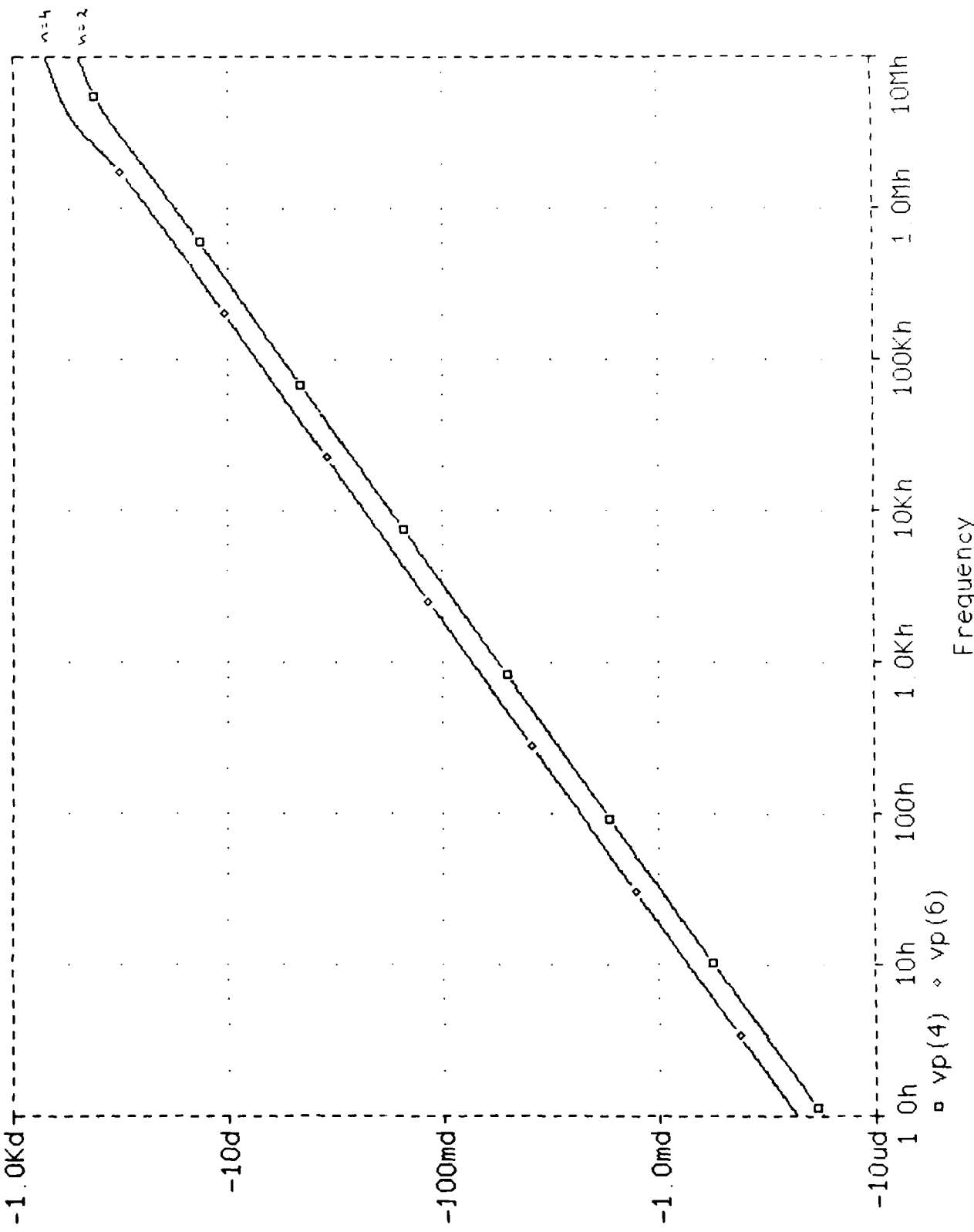
Date/Time run 12/10/92 08:50:56 4e UKUT BESSL FILTER/ UP-16t
 $\Delta_{\text{SIS}} = 3.7 \text{ MHz}$



Date/Time run: 12/09/92 09:28:00
4e UKUT BESSEL FILTER/UF-10t

Temperature: 27.0

$f_{-3dB} = 3.1 \text{ MHz}$



REPORT DOCUMENTATION PAGE

(MOD NL)

1 DEFENSE REPORT NUMBER (MOD-NL) TD92-2752	2. RECIPIENTS ACCESSION NUMBER 	3 PERFORMING ORGANIZATION REPORT NUMBER PML1992-114
4. PROJECT/TASK/WORKUNIT NO. 233492012	5. CONTRACT NUMBER A87/K/045	6 REPORT DATE March 1993
7 NUMBER OF PAGES 101 (11 Annexes)	8. NUMBER OF REFERENCES 2	9 TYPE OF REPORT AND DATES COVERED Final
10. TITLE AND SUBTITLE A 27 channels, 1 MHz fibre-optic measuring system (Een 27-kanaals, 1MHz optisch meetstelsel)		
11. AUTHOR(S) M.A.M. Kaanders		
12. PERFORMING ORGANIZATION NAME(S) AND ADDRESS(ES) TNO PML-Pulse Physics Laboratory P.O. Box 45, 2280 AA Rijswijk, The Netherlands visiting address: Schoemakerstraat 97, 2628 VK Delft, The Netherlands		
13. SPONSORING AGENCY NAME(S) AND ADDRESS(ES) DWO, Plein 4, 2511 CR The Hague, The Netherlands DO-TNO, P.O. Box 6006, 2600 JA Delft, The Netherlands US Department of Defense, SDIO, The Pentagon, Washington DC, USA		
14. SUPPLEMENTARY NOTES The classification designation: ONGERUBRICEERD is equivalent to: UNCLASSIFIED		
15 ABSTRACT (MAXIMUM 200 WORDS (1044 BYTE)) The Kapitza facility is a pulse forming network consisting of an energy source, semiconductor opening switch, pulse transformer and a load. To characterize the Kapitza facility, there is a need for a measuring system where the sensors are completely separated electrically from the Data Acquisition System. A measuring system based upon fibre-optic data transmission was finally chosen. This fibre-optic system, with a bandwidth of 1 MHz, uses FM transmission techniques; the data input is used to frequency modulate the optical carrier that is coupled to the fibre, and subsequently demodulated at the receiver to recover the analogue signal. In this report the operation of the optical measuring system, the components that have been used and the calibration of the transmitter/receiver units are some of the subjects that are discussed. In the appendix, schematics, print layouts, lists with the used components, wave forms of the input/output signals and specifications are given.		
16 DESCRIPTORS Optical Measuring Instruments		IDENTIFIERS
17A. SECURITY CLASSIFICATION (OF REPORT) ONGERUBRICEERD	17B. SECURITY CLASSIFICATION (OF PAGE) ONGERUBRICEERD	17C. SECURITY CLASSIFICATION (OF ABSTRACT) ONGERUBRICEERD
18. DISTRIBUTION AVAILABILITY STATEMENT Unlimited Distribution		17D. SECURITY CLASSIFICATION (OF TITLES) ONGERUBRICEERD

Distributielijst

- 1 DWOO
- 2 HWO-KL
- 3/4 HWO-KLu
- 5 HWO-KM
- 6 PHWO-KM
- 7 DMKM/PFS, Ir. B. v.d. Ploeg
- 8 DMKL/T & WO, Ir. J.B.J. Orbons
- 9 DMKLu/AWO/WO4, Vdg. M. Jehee
- 10 DMKM/WCS/COSPON, Drs. W. Pelt
- 11/13 TDCK
- 14 Voorzitter Raad voor het Defensieonderzoek TNO
- 15 Hoofddirecteur DO-TNO
- 16 Lid Instituuts Advies Raad PML
Prof. B. Scarlett, MSc.
- 17 Lid Instituuts Advies Raad PML
Prof. ir. M.A.W. Scheffelaar
- 18 Lid Instituuts Advies Raad PML
Prof. ir. K.F. Wakker
- 19 PML-TNO, Directeur; daarna reserve
- 20 PML-TNO, Directeur Programma; daarna reserve
- 21 PML-TNO-Pulsfysica, Hoofd
- 22 PML-TNO-Pulsfysica, Archief
- 23 PML-TNO-Pulsfysica, Documentatie
- 24 PML-TNO-Pulsfysica, EML
- 25 PML-TNO-Pulsfysica, PPR
- 26 PML-TNO, Documentatie
- 27 PML-TNO, Archief